

สำนักหอสมุดกลาง พระจอมเกล้าลาดกระบัง

การควบคุมอุปกรณ์ไฟฟ้าโดยใช้เสียง
Controlling Electrical Equipment
With Speech Recognition



เลขหมู่.....
เลขทะเบียน.....**62724**
วัน,เดือน,ปี.2.1 ส.ค. 2549

b. *speech*
i.

ปฏิญานិพนธ์นี้เป็นส่วนหนึ่งของการศึกษาตามหลักสูตรปริญญาวิศวกรรมศาสตรบัณฑิต
สาขาวิชาวิศวกรรมโทรคมนาคม
สถาบันเทคโนโลยีพระจอมเกล้าเจ้าคุณทหารลาดกระบัง
ปีการศึกษา 2548

เอกสารนี้เป็นเอกสารที่สงวนไว้สำหรับการใช้งานเพื่อการศึกษาเท่านั้น ไม่อนุญาตให้นำไป/ใช้ประโยชน์ด้านการค้า
ไม่ว่ากรณีใดๆ ทั้งสิ้น อีกทั้งห้ามมิให้ดัดแปลงเนื้อหา และต้องอ้างอิงถึงเจ้าของเอกสารทุกครั้งที่มีการนำไปใช้

การควบคุมอุปกรณ์ไฟฟ้าโดยใช้เสียง
Controlling Electrical Equipment
With Speech Recognition



นางสาวนนงนาอ เด่นเพชรกุล 45010362
นายนนทรัฐ บำรุงเกียรติ 45010365
นายนพเก้า โสธนกุล 45010368

อาจารย์ที่ปรึกษา
รศ.ดร.ไกรสิน ส่วงวัฒนา

ปริญญานิพนธ์นี้เป็นส่วนหนึ่งของการศึกษาตามหลักสูตรปริญญาวิศวกรรมศาสตรบัณฑิต
สาขาวิชาวิศวกรรมโทรคมนาคม
สถาบันเทคโนโลยีพระจอมเกล้าเจ้าคุณทหารลาดกระบัง
ปีการศึกษา 2548

ผ่านการตรวจชิ้นงานแล้ว
(ลงชื่อ).....ผู้ตรวจ

เอกสารนี้เป็นเอกสารที่สงวนไว้สำหรับการใช้งานเพื่อการศึกษาเท่านั้น ไม่อนุญาตให้นำไปใช้ประโยชน์ด้านการค้า
ไม่ว่ากรณีใดๆ ทั้งสิ้น อีกทั้งห้ามมิให้ดัดแปลงเนื้อหา และต้องอ้างอิงถึงเจ้าของเอกสารทุกครั้งที่มีการนำไปใช้
(ลงชื่อ).....ผู้ตรวจ

ปริญญาโทปีการศึกษา 2548

ภาควิชาวิศวกรรมโทรคมนาคม

คณะวิศวกรรมศาสตร์ สถาบันเทคโนโลยีพระจอมเกล้าเจ้าคุณทหารลาดกระบัง

เรื่อง **การควบคุมอุปกรณ์ไฟฟ้าโดยใช้เสียง**

CONTROLLING ELECTRICAL EQUIPMENT

WITH SPEECH RECOGNITION

ผู้จัดทำ

1. นางสาวนงนาจ เต็มเพชรกุล 45010362
2. นายณนทรัฐ บำรุงเกียรติ 45010365
3. นายณพเก้า โสธนกุล 45010368



(รศ.ดร.ไกรธิน สังวณกุล)

อาจารย์ที่ปรึกษา



เอกสารนี้เป็นเอกสารที่สงวนไว้สำหรับการใช้งานเพื่อการศึกษาเท่านั้น ไม่อนุญาตให้นำไปใช้ประโยชน์ด้านการค้า
ไม่ว่ากรณีใดๆ ทั้งสิ้น อีกทั้งห้ามมิให้ดัดแปลงเนื้อหา และต้องอ้างอิงถึงเจ้าของเอกสารทุกครั้งที่มีการนำไปใช้

การควบคุมอุปกรณ์ไฟฟ้าโดยใช้เสียง

ELECTRICAL EQUIPMENT CONTROLLING WITH SPEECH RECOGNITION

โดย	นางสาวนงนาจ	เด่นเพชรกุล	45010362
	นายนนทรรัฐ	บำรุงเกียรติ	45010365
	นายนพเก้า	โสธนกุล	45010368

อาจารย์ที่ปรึกษา รศ.ดร.ไกรสิน ส่วงวัฒนา

บทคัดย่อ

ปริญญานิพนธ์ฉบับนี้มีจุดประสงค์ เพื่อที่จะทำการศึกษาการควบคุมอุปกรณ์ไฟฟ้าโดยใช้เสียงพูด โดยใช้คอมพิวเตอร์ส่วนบุคคลในการรับเสียงนำไปประมวลผลเพื่อทำการแยกแยะคำสั่ง และผลที่ได้ส่งออกไปเป็นอินพุทของวงจร โซลิตสเตทรีเลย์เพื่อควบคุมอุปกรณ์ไฟฟ้า

ABSTRACT

This project studies a method of using human voice to command electrical appliance by using a personal computer to receive speeches, process and make decision. The result is used as input to relay circuit for controlling the electrical appliances.

เอกสารนี้เป็นเอกสารที่สงวนไว้สำหรับการใช้งานเพื่อการศึกษาเท่านั้น ไม่อนุญาตให้นำไปใช้ประโยชน์ด้านการค้า
ไม่ว่ากรณีใดๆ ทั้งสิ้น อีกทั้งห้ามมิให้ดัดแปลงเนื้อหา และต้องอ้างอิงถึงเจ้าของเอกสารทุกครั้งที่มีการนำไปใช้

กิตติกรรมประกาศ

วิทยานิพนธ์ฉบับนี้สำเร็จลุล่วงไปได้ด้วยดี ด้วยความกรุณาของ รศ.ดร. ไกรสิน ส่องวัฒนา อาจารย์ที่ปรึกษา ที่กรุณาแนะนำ ให้คำปรึกษาในการทำปริญญานิพนธ์ฉบับนี้ และให้ความเมตตาแก่ศิษย์ด้วยดีเสมอมา ผู้จัดทำรู้สึกซาบซึ้งในความกรุณาเป็นอย่างยิ่ง และขอกราบขอบพระคุณเป็นอย่างสูง

ขอขอบพระคุณอาจารย์ทุกท่านที่ได้ประสิทธิ์ประสาทวิชาความรู้ต่างๆ ให้คำแนะนำ คำปรึกษา ที่ได้มาโดยตลอดระยะเวลาที่ศึกษาอยู่ให้แก่ศิษย์

ขอขอบคุณ พี่ๆ เพื่อนๆ ทุกท่านทั้งที่ห้องวิจัย และที่เรียนด้วยกัน สำหรับความเป็นมิตร และความช่วยเหลือต่างๆ ที่มีให้กันระหว่างศึกษาอยู่

ขอขอบคุณเจ้าของเสียงต่างๆ ท่าน ที่ได้เสียสละเวลามานั่งทักเสียงให้
สุดท้ายขอกราบขอบพระคุณ บิดา มารดา และครอบครัว ที่ให้ทุกสิ่งทุกอย่าง กับลูก
ประโยชน์อันถึงมีจากวิทยานิพนธ์ฉบับนี้ ผู้จัดทำขอขอบแต่ผู้มีพระคุณทุกท่าน

ขอขอบคุณด้วยใจจริง
คณะผู้จัดทำ

เอกสารนี้เป็นเอกสารที่สงวนไว้สำหรับการใช้งานเพื่อการศึกษาเท่านั้น ไม่อนุญาตให้นำไปใช้ประโยชน์ด้านการค้า
ไม่ว่ากรณีใดๆ ทั้งสิ้น อีกทั้งห้ามมิให้ดัดแปลงเนื้อหา และต้องอ้างอิงถึงเจ้าของเอกสารทุกครั้งที่มีการนำไปใช้

สารบัญ

	หน้า
บทที่ 1 บทนำ	1
บทที่ 2 ทฤษฎีและหลักการ	3
2.1 ระบบการพูดและเสียงพูดของมนุษย์	3
2.1.1 กายวิภาคของระบบการเปล่งเสียงของมนุษย์	3
2.1.2 กระบวนการผลิตเสียงพูด	4
2.1.3 ความถี่ฟอร์แมนท์	5
2.1.4 แบบจำลองระบบกำเนิดเสียงพูด	6
2.2 รูปแบบการรู้จำเสียงพูด	7
2.3 การประมวลผลสัญญาณเบื้องต้น	7
2.3.1 การพรีเอมฟาซิส	8
2.3.2 การแบ่งช่วงสัญญาณ	9
2.3.3 การวินโดว์	10
2.4 การวิเคราะห์และวัดค่าลักษณะสำคัญ	11
2.4.1 สัมประสิทธิ์ของการประมาณพันระเชิงเส้น	12
2.4.2 การหาค่าสัมประสิทธิ์ LPC และอัตราขยาย	15
2.5 แถบความถี่วิกฤต และความเข้มสัญญาณในแถบความถี่วิกฤต	15
2.5.1 สเกลบาร์คหรือ Critical Band Rate Scale	16
2.5.2 Critical Band Intensity	18
2.6 การจำแนกรูปแบบด้วยแบบจำลองมาร์คอฟแบบซ่อนเร้น	18
2.6.1 ความหมายของแบบจำลองฮิดเดินมาร์คอฟ	19
2.6.2 กระบวนการแบบจำลองมาร์คอฟ แบบไม่ต่อเนื่องทางเวลา	19
2.6.3 ส่วนประกอบของแบบจำลองมาร์คอฟ	21
2.6.4 ชนิดของ HMM	21
2.6.5 ปัญหาพื้นฐานของแบบจำลองมาร์คอฟ	22
2.6.6 ระบบแบบจำลองมาร์คอฟ	23
2.7 โครงสร้างและสถาปัตยกรรมของไมโครคอนโทรลเลอร์ MCS-51	23
2.7.1 คุณสมบัติของไมโครคอนโทรลเลอร์ตระกูล MCS-51 อนุกรม	24
2.7.2 การจัดขาของไมโครคอนโทรลเลอร์ MCS-51	24
2.7.3 จังหวะการทำงานของไมโครคอนโทรลเลอร์ MCS-51	25
2.7.4 หลักการสื่อสารข้อมูลผ่านพอร์ตอนุกรม	26
2.7.5 รูปแบบของการสื่อสารข้อมูลอนุกรม	27

เอกสารนี้เป็นเอกสารที่สงวนไว้สำหรับการใช้งานเพื่อการศึกษาเท่านั้น ไม่อนุญาตให้นำไปใช้ประโยชน์ด้านการค้า
ไม่ว่ากรณีใดๆ ทั้งสิ้น อีกทั้งห้ามมิให้ดัดแปลงเนื้อหา และต้องอ้างอิงถึงเจ้าของเอกสารทุกครั้งที่มีการนำไปใช้

2.8	การเชื่อมต่อพอร์ตอนุกรมมาตรฐานRS-232	27
2.9	ไอซี MAX232 , L232	28
บทที่ 3	การออกแบบและการสร้าง	30
3.1	การออกแบบส่วนของฮาร์ดแวร์	30
3.1.1	วงจรสวิตช์เปิด-ปิด 4 ช่องควบคุมผ่านพอร์ตอนุกรม	30
3.1.2	ส่วนโปรแกรมของไมโครคอนโทรลเลอร์ควบคุมฮาร์ดแวร์	31
3.2	การออกแบบและการสร้างส่วนของการรู้จำเสียงพูด	33
3.2.1	การออกแบบสร้างคำค้นแบบอ้างอิงและคำทดสอบ	33
3.2.2	การเก็บข้อมูล	33
3.2.3	เครื่องมือและอุปกรณ์ในการวิเคราะห์สัญญาณเสียง	33
3.2.4	หลักการรู้จำเสียงพูดในปริภูมิพหุนัย	33
3.2.5	การหาค่าพารามิเตอร์ที่ใช้ในการแยกเสียงพูด	34
บทที่ 4	การทดลองและผลการทดลอง	36
4.1	การทดลองส่วนฮาร์ดแวร์เพื่อส่งข้อมูลผ่านพอร์ตอนุกรม	36
4.1.1	ทดสอบวงจร MAX 232	36
4.1.2	ทดสอบวงจรสวิตช์เปิดปิด 4 ช่องผ่านพอร์ตอนุกรม	36
4.2	ผลการทดลองส่วนฮาร์ดแวร์	37
4.2.1	ทดสอบวงจร MAX 232	37
4.2.2	ทดสอบวงจรสวิตช์เปิดปิด 4 ช่องผ่านพอร์ตอนุกรม	39
4.3	การทดลองส่วนการรู้จำเสียง	42
4.4	ผลการทดลองส่วนการรู้จำเสียง	43
บทที่ 5	บทสรุปและวิจารณ์	51
	ภาคผนวก	52

เอกสารนี้เป็นเอกสารที่สงวนไว้สำหรับการใช้งานเพื่อการศึกษาเท่านั้น ไม่อนุญาตให้นำไปใช้ประโยชน์ด้านการค้า
ไม่ว่ากรณีใดๆ ทั้งสิ้น อีกทั้งห้ามมิให้ดัดแปลงเนื้อหา และต้องอ้างอิงถึงเจ้าของเอกสารทุกครั้งที่มีการนำไปใช้

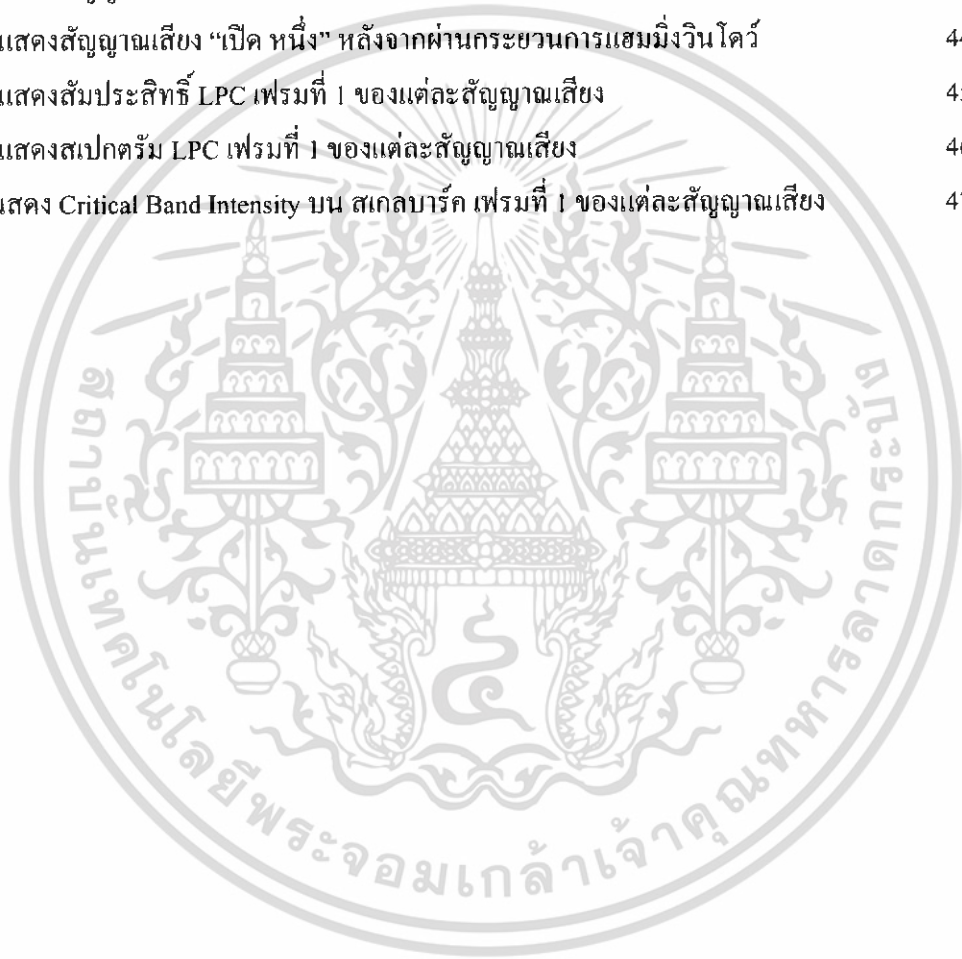
สารบัญรูปภาพ

	หน้า
รูปที่ 2.1 แสดงภาพตัดขวางร่างกายเพื่อแสดงอวัยวะในระบบการพูดของมนุษย์	3
รูปที่ 2.2 แสดงภาพกล่องเสียงในขณะต่างๆ	4
รูปที่ 2.3 แสดงแผนภาพระบบเสียงพูดของมนุษย์	5
รูปที่ 2.4 แสดงสเปกตรัมของเสียง /a/ ที่ได้จากสัมประสิทธิ์ LPC	6
รูปที่ 2.5 แสดงแผนภาพกรอบจำลองระบบกำเนิดเสียงเบื้องต้น	6
รูปที่ 2.6 แสดงกระบวนการของขั้นตอน Signal Preprocessing	7
รูปที่ 2.7 แสดงขนาดสเปกตรัมของฟังก์ชันถ่ายโอนของการพรีเอมฟาซิส	9
รูปที่ 2.8 แสดงการแบ่งช่วงสัญญาณที่ใช้ในการวิเคราะห์	9
รูปที่ 2.9 แสดงส่วนของสัญญาณที่ตัดมาวิเคราะห์	10
รูปที่ 2.10 แสดงวินโดว์สี่เหลี่ยม	11
รูปที่ 2.11 แสดงวินโดว์แบบแฮมมิง	11
รูปที่ 2.12 แสดงความสัมพันธ์ระหว่างค่าความผิดพลาดกับจำนวนอันดับของการประมาณเชิงเส้น	12
รูปที่ 2.13 แสดงบล็อกไดอะแกรมแสดงโมเดลการสร้างสัญญาณเสียงพูดอย่างง่าย	13
รูปที่ 2.14 ระดับของสัญญาณโทนทดสอบที่ถูกบดบังโดยสัญญาณ white noise ที่ระดับสัญญาณต่างๆและเส้นประเป็นระดับ Threshold in quiet	16
รูปที่ 2.15 แสดงความสัมพันธ์ระหว่างลำดับของ Bark Scale กับความถี่ Hz	17
รูปที่ 2.16 แสดงการคำนวณ Critical Band Intensity	18
รูปที่ 2.17 แสดงตัวอย่างแบบจำลองมาร์คอฟ 5 สเตท	20
รูปที่ 2.18 แสดงการส่งข้อมูลขนาด 8 บิตแบบอนุกรมพร้อมด้วย บิตเริ่มต้น, บิตพาริตี, บิตหยุด ด้วยความเร็ว 9600 บิตต่อวินาที	27
รูปที่ 2.19 แสดงระดับแรงดันสัญญาณของพอร์ตอนุกรม RS-232 กับ TTL ในสถานะลอจิก "1" และ "0"	28
รูปที่ 2.20 แสดงตำแหน่งขาของไอซี MAX232, L232 และการต่อใช้งาน	29
รูปที่ 3.1 แสดงวงจรแปลงแรงดัน 220 V	30
รูปที่ 3.2 วงจรสวิตช์เปิด-ปิด 4 ช่องควบคุมผ่านพอร์ตอนุกรม	31
รูปที่ 3.3 แผนผังแสดงขั้นตอนการทำงานของโปรแกรมสวิตช์เปิดปิด 4 ช่อง	32
รูปที่ 3.4 แสดงขั้นตอนในการวิเคราะห์เสียง	34
รูปที่ 4.1 แสดงผลเมื่อทำการส่ง 1 จากคีย์บอร์ดผ่านวงจร MAX232	37
รูปที่ 4.2 แสดงผลเมื่อทำการส่ง 2 จากคีย์บอร์ดผ่านวงจร MAX232	37
รูปที่ 4.3 แสดงผลเมื่อทำการส่ง 3 จากคีย์บอร์ดผ่านวงจร MAX232	38
รูปที่ 4.4 แสดงผลเมื่อทำการส่ง 4 จากคีย์บอร์ดผ่านวงจร MAX232	38

เอกสารนี้เป็นเอกสารที่สงวนไว้สำหรับการใช้งานเพื่อการศึกษาเท่านั้น ไม่อนุญาตให้นำไปใช้ประโยชน์ด้านการค้า

ไม่ว่ากรณีใดๆ ทั้งสิ้น อีกทั้งห้ามมิให้ดัดแปลงเนื้อหา และต้องอ้างอิงถึงเจ้าของเอกสารทุกครั้งที่มีการนำไปใช้

รูปที่ 4.5 แสดงรูปหน้าจออินเทอร์เน็ตเฟสหลังจากกดสวิทช์ Open Port	39
รูปที่ 4.6 แสดงการทำงานของวงจรหลังจากกดสวิทช์ Open Port	39
รูปที่ 4.7 แสดงรูปหน้าจออินเทอร์เน็ตเฟสหลังจากกดสวิทช์ OPEN 1	40
รูปที่ 4.8 แสดงการทำงานของวงจรหลังจากกดสวิทช์ OPEN 1	40
รูปที่ 4.9 แสดงรูปหน้าจออินเทอร์เน็ตเฟสหลังจากกดสวิทช์ OPEN 2,OPEN 3 และ OPEN 4	41
รูปที่ 4.10 แสดงการทำงานของวงจรหลังจากกดสวิทช์ OPEN 2,OPEN 3 และ OPEN 4	41
รูปที่ 4.12 แสดงสัญญาณเสียง "เปิด หนึ่ง"	43
รูปที่ 4.13 แสดงสัญญาณเสียง "เปิด หนึ่ง" ในช่วง 900 แชมป์เปลแรก	43
รูปที่ 4.14 แสดงสัญญาณเสียง "เปิด หนึ่ง" หลังจากผ่านกระบวนการพีเอ็มพีเอส	44
รูปที่ 4.15 แสดงสัญญาณเสียง "เปิด หนึ่ง" หลังจากผ่านกระบวนการแฮมมิงวินโดว์	44
รูปที่ 4.16 แสดงสัมประสิทธิ์ LPC เฟรมที่ 1 ของแต่ละสัญญาณเสียง	45
รูปที่ 4.17 แสดงสเปกตรัม LPC เฟรมที่ 1 ของแต่ละสัญญาณเสียง	46
รูปที่ 4.18 แสดง Critical Band Intensity บน สเกลบารัค เฟรมที่ 1 ของแต่ละสัญญาณเสียง	47



เอกสารนี้เป็นเอกสารที่สงวนไว้สำหรับการใช้งานเพื่อการศึกษาเท่านั้น ไม่อนุญาตให้นำไปใช้ประโยชน์ด้านการค้า
ไม่ว่ากรณีใดๆ ทั้งสิ้น อีกทั้งห้ามมิให้ดัดแปลงเนื้อหา และต้องอ้างอิงถึงเจ้าของเอกสารทุกครั้งที่มีการนำไปใช้

สารบัญตาราง

	หน้า
ตารางที่ 2.1 ขอบเขตและความถี่ศูนย์กลาง Critical Rate Scale	17
ตารางที่ 4.1 ผลการทดสอบแบบอ้างอิงจากผู้พูดในกรณีต่างๆ	49



เอกสารนี้เป็นเอกสารที่สงวนไว้สำหรับการใช้งานเพื่อการศึกษาเท่านั้น ไม่อนุญาตให้นำไปใช้ประโยชน์ด้านการค้า ไม่ว่าจะกรณีใดๆ ทั้งสิ้น อีกทั้งห้ามมิให้ดัดแปลงเนื้อหา และต้องอ้างอิงถึงเจ้าของเอกสารทุกครั้งที่มีการนำไปใช้

บทที่ 1

บทนำ

ปัจจุบันเทคโนโลยีต่างๆมีการพัฒนาอย่างรวดเร็ว รวมถึงเทคโนโลยีด้านคอมพิวเตอร์ ซึ่งจะนำไปรวมไปใช้งานร่วมกับ เทคโนโลยีด้านอื่นๆอีกมากมาย เช่น ด้านการสื่อสาร ระบบควบคุม เป็นต้น คอมพิวเตอร์ได้ถูกพัฒนาขึ้นมาเรื่อยๆ เพื่อทำงานต่างๆแทนมนุษย์ได้ การรู้จำเป็นการพัฒนาอีกด้านของคอมพิวเตอร์

ในอดีตมีการวิเคราะห์ว่าการสอนให้คอมพิวเตอร์สามารถรู้จำเสียงพูดของมนุษย์นั้นไม่สามารถทำได้ เนื่องจากคำพูดของมนุษย์มีความซับซ้อน แต่มีความแตกต่างกันในแต่ละบุคคล ความเร็ว รวมถึง เสียงสูง เสียงต่ำ แต่ได้มาการศึกษาพัฒนาให้คอมพิวเตอร์สามารถรู้จำเสียงพูดได้เรื่อยๆ จนในปัจจุบันการรู้จำเสียงพูดสามารถนำไปใช้งานกับอุปกรณ์ต่างๆ เช่น โทรศัพท์มือถือ และ ATM (Automatic Teller Machine) ถึงแม้ว่าคอมพิวเตอร์จะไม่สามารถรู้จำเสียงได้เท่ามนุษย์ แต่เราสามารถสอนให้คอมพิวเตอร์รู้จำได้ในขีดจำกัดระดับหนึ่ง เช่น จำกัดคำที่สามารถรู้จำได้ โดยมีการคาดคะเนกันว่าในอนาคตอุปกรณ์เครื่องใช้เกือบทุกประเภทจะสามารถสั่งงานได้ด้วยเสียงมนุษย์

การรู้จำเสียงพูดนั้นมีทั้งการรู้จำเสียงแบบขึ้นกับผู้พูด (Speaker-Dependent Speech Recognition) และการรู้จำเสียงแบบไม่ขึ้นกับผู้พูด (Speaker-Independent Recognition) ซึ่งการรู้จำเสียงพูดนั้นมีความยุ่งยากซับซ้อนมาก เนื่องจากความแตกต่างในการออกเสียงของผู้พูดแต่ละบุคคล จึงทำให้การพัฒนาทางด้านกรรู้จำเสียงพูดเป็นไปอย่างล่าช้า การศึกษาและวิจัยการรู้จำเสียงพูดนั้นยังแบ่งตามลักษณะการรับรู้เสียงพูดออกเป็น 2 วิธีคือ

1. พิจารณาทั้งหน่วยภาษาที่เปล่งออกมาทั้งหมด มีทั้งระบบการรู้จำคำพูดเดี่ยว (Isolate word Recognition) และระบบการรู้จำคำพูดต่อเนื่อง (Continuous word Recognition) ซึ่งข้อดีของระบบเหล่านี้คือง่าย เนื่องจากมีการหลีกเลี่ยงผลกระทบอันเนื่องมาจากฐานรากของเสียงภายในคำหรือกลุ่มคำนั้น แต่ข้อเสียคือสามารถรู้จำคำได้จำนวนจำกัด เนื่องจากต้องใช้เนื้อที่จำนวนมากในการจัดเก็บแบบจำลองอ้างอิง และต้องใช้เวลาในการคำนวณเพื่อเปรียบเทียบมากตามแบบจำลองที่มีอยู่

2. พิจารณาโดยการแยกแยะรายละเอียดของหน่วยเสียง (Phonetic Recognition) วิธีนี้จะพิจารณาลักษณะของหน่วยเสียงพยัญชนะ หน่วยเสียงสระ และหน่วยเสียงวรรณยุกต์ โดยจะใช้หน่วยเสียงย่อยเหล่านี้เป็นหลักในการรู้จำเสียงพูด ซึ่งวิธีนี้เหมาะสำหรับการพัฒนาไปสู่ระบบการรู้จำคำจำนวนมาก

โครงการนี้เป็นโครงการที่ศึกษาเกี่ยวกับการสั่งงานอุปกรณ์เครื่องใช้ไฟฟ้า ด้วยเสียงมนุษย์ โดยต่อเข้ากับพอร์ตอนุกรมของคอมพิวเตอร์ส่วนบุคคล โดยส่วนประกอบของโครงการ คือส่วนซอฟต์แวร์และส่วนฮาร์ดแวร์ โดยส่วนซอฟต์แวร์นั้นเป็นการศึกษาถึงกระบวนการของการรู้จำเสียงพูดมนุษย์แบบพิจารณาทั้งหน่วยภาษา เพื่อนำผลที่ได้จากกระบวนการนี้ เข้าสู่ส่วนฮาร์ดแวร์ที่เป็นวงจรสวิตซ์เปิดปิด 4 ช่อง ผ่านพอร์ตอนุกรม เพื่อใช้เป็นวงจรในการควบคุมการเปิดปิดอุปกรณ์เครื่องใช้ไฟฟ้าได้ 4 ช่อง ให้สามารถทำงานได้จริง

วัตถุประสงค์

เพื่อนำระบบรู้จำเสียงพูดมาประยุกต์ใช้ควบคุมการเปิดปิดอุปกรณ์ไฟฟ้าผ่านพอร์ตอนุกรมของคอมพิวเตอร์ส่วนบุคคล

ขอบเขตโครงการ

ออกแบบและสร้างวงจรสวิทช์เปิดปิด 4 ช่อง ผ่านพอร์ตอนุกรม ซึ่งสามารถควบคุมการเปิดปิดอุปกรณ์ไฟฟ้าโดยใช้เสียงพูดให้สามารถใช้งานได้จริง โดย

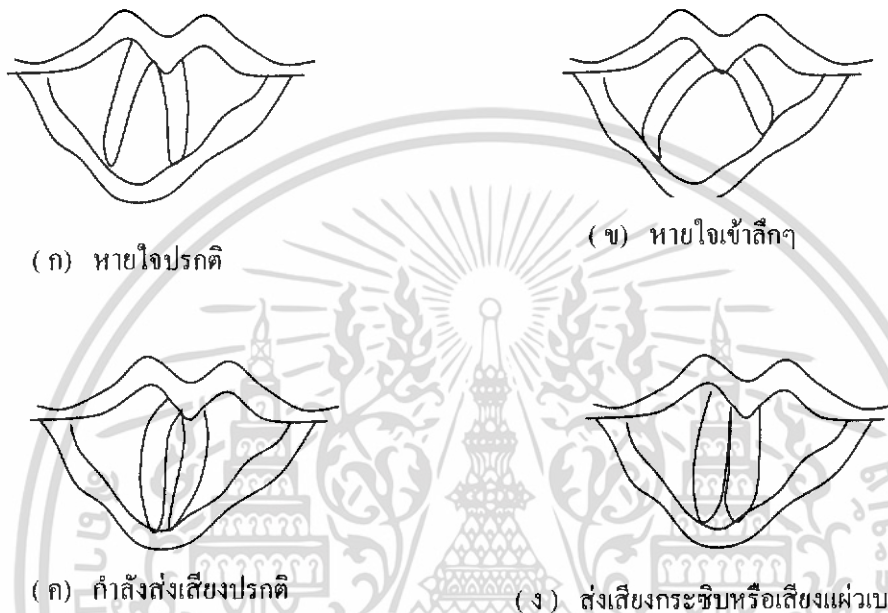
1. วงจรมีสวิทช์กดเพื่อควบคุมการเปิดปิด อุปกรณ์ไฟฟ้าบนบอร์ดได้โดยตรง
2. วงจรสามารถควบคุมการเปิดปิดอุปกรณ์ไฟฟ้าได้ด้วยการสั่งงานผ่านพอร์ตอนุกรมของคอมพิวเตอร์ส่วนบุคคล
3. วงจรสามารถควบคุมการเปิดปิดอุปกรณ์ไฟฟ้าได้โดยใช้เสียงสั่งงานผ่านพอร์ตอนุกรมของคอมพิวเตอร์ส่วนบุคคล



เอกสารนี้เป็นเอกสารที่สงวนไว้สำหรับการใช้งานเพื่อการศึกษาเท่านั้น ไม่อนุญาตให้นำไปใช้ประโยชน์ด้านการค้า ไม่ว่าจะกรณีใดๆ ทั้งสิ้น อีกทั้งห้ามมิให้ดัดแปลงเนื้อหา และต้องอ้างอิงถึงเจ้าของเอกสารทุกครั้งที่มีการนำไปใช้

2. หลอดลม ทำหน้าที่นำอากาศออกจากปอดผ่านกล่องเสียง และเป็นอวัยวะที่อยู่ด้านหน้าของหลอดอาหาร

3. กล่องเสียง เป็นอวัยวะพิเศษที่ทำหน้าที่เป็นทางเดินอากาศเวลาหายใจ และเป็นตัวผลิตพัลส์ (Pulse) ของอากาศขณะเปล่งเสียง ซึ่งประกอบด้วยเส้นเสียง (vocal cords) และช่องสายเสียง (glottis) รูปร่างของกล่องเสียงและเส้นเสียงในลักษณะต่างๆ แสดงดังรูปที่ 2.2



รูปที่ 2.2 แสดงภาพกล่องเสียงในขณะต่างๆ

4. ช่องปากและส่วนของหลอดอาหารคอนตัน อวัยวะกลุ่มนี้อยู่ต่อจากกล่องเสียง อาจเรียกว่าอวัยวะกำทอนเสียง (vocal tract) ทำหน้าที่กำทอนเสียง โดยให้กำทอนทั้งเสียงที่เกิดจากกล่องเสียงและเสียงที่เกิดภายในช่องปาก ขนาดของอวัยวะกำทอนเสียง ขึ้นอยู่กับตำแหน่งของลิ้น ริมฝีปาก ขากรรไกร และเพดานอ่อน และเปลี่ยนแปลงไปตามการออกเสียง

5. โพรงจมูก เริ่มจากเพดานอ่อน จนถึงรูจมูกทั้งสองทำหน้าที่กำทอนเสียงร่วมกับช่องปาก เมื่อมีการเปล่งเสียงที่ออกทางจมูก (nasal sounds) เช่นเสียง /ม/, /น/ และ /ง/ เป็นต้น

2.1.2 กระบวนการผลิตเสียงพูด

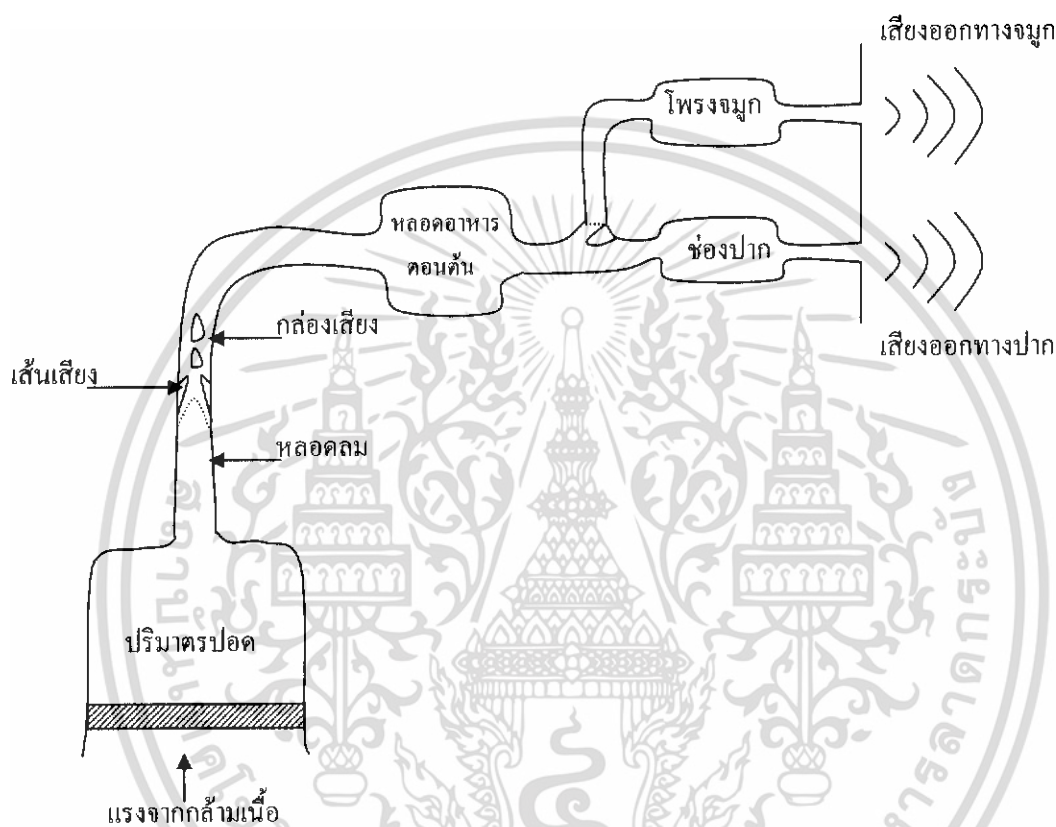
จากกายวิภาคและการเปล่งเสียงพูดของมนุษย์ สามารถแสดงแผนภาพของระบบกำเนิดเสียง ดังรูปที่ 2.3 ซึ่งสามารถจำแนกกลไกการสร้างเสียงมนุษย์ได้ 3 แบบ ดังนี้

1. อากาศไหลจากปอดจะถูกมอดูเลต (modulate) โดยการสั่นของเส้นเสียง ทำให้เกิดคลื่นเสียงลักษณะคล้ายพัลส์ ที่มีคาบเวลาแบบควอไซต์ (quasi periodic pulse like excitation)

เอกสารนี้เป็นเอกสารที่สงวนไว้สำหรับการใช้งานเพื่อการศึกษาเท่านั้น ไม่อนุญาตให้นำไปใช้ประโยชน์ด้านการค้าไม่ว่ากรณีใดๆ ทั้งสิ้น อีกทั้งห้ามมิให้ดัดแปลงเนื้อหา และต้องอ้างอิงถึงเจ้าของเอกสารทุกครั้งที่มีการนำไปใช้

2. อากาศที่ไหลจากปอดถูกทำให้ปั่นป่วน โดยการบังคับให้ไหลผ่านช่องแคบอันเกิดจากการบีบตัวของอวัยวะในช่องปาก ทำให้เกิดเสียงในคล้ายเสียงรบกวน (noise like excitation)

3. อากาศที่ไหลถูกกัก และเกิดแรงดันอยู่ภายในส่วนของช่องปากที่ปิดจากนั้นจึงปล่อยให้อากาศที่มีแรงดัน พุ่งออกไปอย่างรวดเร็ว ทำให้เกิดการกระตุ้นเป็นเสียงในช่วงเริ่มต้น (transient excitation)



รูปที่ 2.3 แสดงแผนภาพระบบเสียงพูดของมนุษย์

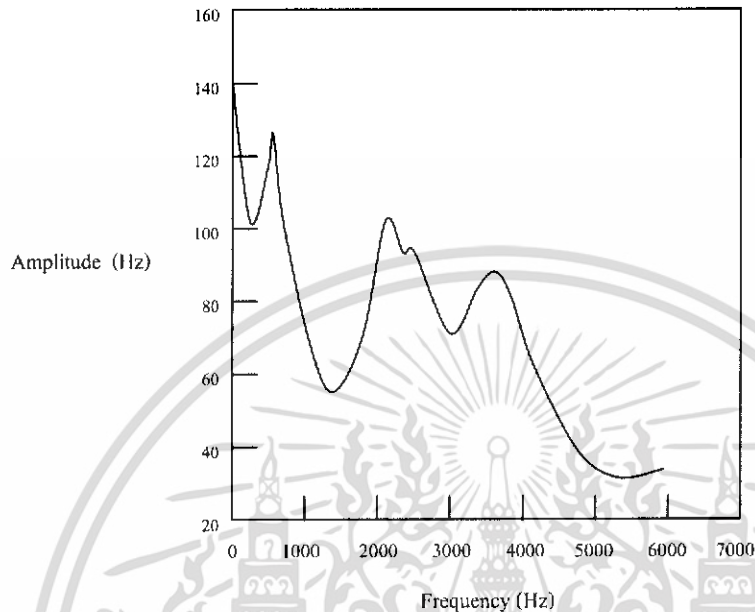
2.1.3 ความถี่ฟอร์แมนท์ (formant frequency)

คลื่นเสียงพูดของมนุษย์นั้นเป็นคลื่นตามยาว (Longitude wave) เกิดจากการสั่นของอนุภาคตัวกลางนั้นคืออากาศ และทิศทางการสั่นของอนุภาคจะอยู่ในทิศทางเดียวของการเคลื่อนที่ คลื่นเสียงเป็นคลื่นที่เปลี่ยนแปลงตามเวลา

ส่วนความถี่ของเสียงมนุษย์นั้นจะมีค่าเท่าใดขึ้นอยู่กับ การบังคับขนาดและรูปทรงของกลุ่มอวัยวะกำทอนเสียง ซึ่งหมายถึง ช่องปากและส่วนของหลอดอาหารคอนตัน ซึ่งอวัยวะกลุ่มนี้จะอยู่ต่อจากกล่องเสียง และความถี่นั้นจะเรียกว่า ความถี่กำทอน (resonance frequency) หรือความถี่ฟอร์แมน

เอกสารนี้เป็นเอกสารที่สงวนไว้สำหรับการใช้งานเพื่อการศึกษาเท่านั้น ไม่อนุญาตให้นำไปใช้ประโยชน์ด้านการค้า ไม่ว่าจะกรณีใดๆ ทั้งสิ้น อีกทั้งห้ามมิให้ดัดแปลงเนื้อหา และต้องอ้างอิงถึงเจ้าของเอกสารทุกครั้งที่มีการนำไปใช้

ความถี่ฟอร์แมนท์ สำหรับเสียงพูดคำหนึ่งๆ อาจจะมีได้หลายค่า ดังรูปที่ 2.4 เป็นสเปกตรัมของเสียง /a/ ซึ่งมีความถี่ฟอร์แมนท์ที่ 1, 2, 3 และ 4 อยู่ ณ ตำแหน่งที่ 550, 2150, 2600, 3750 เฮิร์ตตามลำดับ



รูปที่ 2.4 แสดงสเปกตรัมของเสียง /a/ ที่ได้จากสัมประสิทธิ์ LPC

2.1.4 แบบจำลองระบบกำเนิดเสียงพูด

จากรูปที่ 2.3 สามารถแสดงแผนภาพกรอบจำลองระบบกำเนิดเสียงเบื้องต้น ดังรูปที่ 2.5



รูปที่ 2.5 แสดงแผนภาพกรอบจำลองระบบกำเนิดเสียงเบื้องต้น

จากรูป 2.5 แหล่งกำเนิดสัญญาณกระตุ้นทำหน้าที่แทนการทำงานของปอด และกล่องเสียงส่วนนี้จะผลิตขบวนการพัลส์ที่มีคาบเวลาพิชชณะเปล่งเสียง โหษะ (voiced) และให้กำเนิดเสียงคล้ายเสียงรบกวนขณะเปล่งเสียงโหษะ (unvoiced) ส่วนที่สองเป็นท่อกำทอนเสียง จะแทนการทำงานของช่องปากและโพรงจมูก ทำหน้าที่เหมือนตัวกรองสัญญาณ (filter) ที่ยอมให้ความถี่ฟอร์แมนท์ผ่านได้ ซึ่งสามารถแทนด้วยระบบเชิงเส้นแปรผันตามเวลา (time-varying linear system)

2.2 รูปแบบการรู้จำเสียงพูด (Speech recognition pattern)

การรู้จำเสียงพูด (speech recognition) จุดมุ่งหมายหลักของการรู้จำเสียงพูดก็คือ การเพิ่มพูนความสามารถของอุปกรณ์ต่างๆ ในการรับรู้สื่อสารและโต้ตอบกับมนุษย์ได้ เพื่อเพิ่มทางเลือกในการควบคุมสั่งการอุปกรณ์เครื่องมือต่างๆ โดยเฉพาะเครื่องคอมพิวเตอร์ ซึ่งการใช้เสียงพูดควบคุมการสั่งการนี้ถือเป็นวิธีการที่เป็นธรรมชาติมากที่สุดของมนุษย์

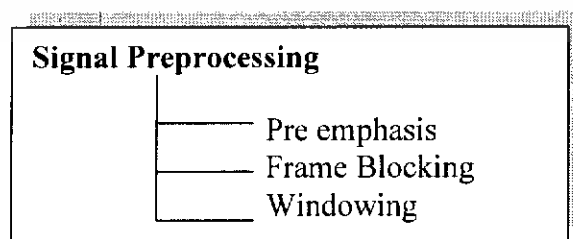
การรู้จำเสียงพูดนั้นมีการศึกษาทั้งชนิดขึ้นกับผู้พูด (speaker Dependent) และชนิดไม่ขึ้นกับผู้พูด (speaker Independent) และในกรณีการรู้จำโดยไม่ขึ้นกับผู้พูดนั้นจำแนกได้เป็น แบบคำโดด (isolate Word) แบบคำต่อเนื่อง (connected Word) และแบบเสียงพูดต่อเนื่อง (continuous Speech)

ระบบการรู้จำเสียงพูดจะอาศัยการฝึกฝน (training) เพื่อจดจำรูปแบบอ้างอิง (reference pattern) ไว้ใช้ในการเปรียบเทียบกับเสียงพูดที่ยังไม่ทราบรูปแบบ และใช้รูปแบบอ้างอิงเหล่านั้นในการตัดสินใจรูปแบบที่ใกล้เคียงกับเสียงพูดที่นำมาเปรียบเทียบกับมากที่สุด ขั้นตอนการรู้จำเสียงพูดโดยทั่วไปแบ่งได้เป็น 3 ขั้นตอน ได้แก่ การประมวลผลสัญญาณเบื้องต้น (signal Preprocessing) การวิเคราะห์และวัดค่าลักษณะสำคัญ (feature measurement) และการจำแนกรูปแบบ (pattern classification)

2.3 การประมวลผลสัญญาณเบื้องต้น (Signal Preprocessing)

การประมวลผลสัญญาณเบื้องต้นเป็นขั้นตอนกรรมวิธีในการจัดเตรียมข้อมูลจากข้อมูลดิบของเสียงพูดที่ได้จากการบันทึกเสียงนำมาผ่านกรรมวิธีประมวลผลสัญญาณเชิงเลข เพื่อใช้ในการประมวลผลในขั้นตอนต่อไป และเนื่องจากสัญญาณเสียงพูดโดยรวมจะแปรเปลี่ยนตามเวลา อีกทั้งสัญญาณเสียงพูดนั้นไม่เสถียร (Nonstationary) ดังนั้น ในการประยุกต์ใช้งานกรรมวิธีการประมวลผลสัญญาณเชิงเลขกับสัญญาณเสียงพูด จึงต้องแบ่งสัญญาณเสียงพูดออกเป็นส่วนย่อย เรียกว่า กรอบเสียงพูด (Speech Frame) โดยแต่ละกรอบเสียงพูดจะมีความยาวประมาณ 10 – 40 มิลลิวินาที ซึ่งอนุโลมได้ว่าสัญญาณเสียงพูดในแต่ละกรอบเสียงพูดมีความเสถียรไม่แปรเปลี่ยนตามเวลา (Stationary) หรือมีลักษณะที่คงที่นั่นเอง จากนั้นจึงสามารถทำการประมวลผลสัญญาณเชิงเลขกับสัญญาณเสียงพูดในแต่ละกรอบเสียงพูดได้

การประมวลผลสัญญาณเบื้องต้นแบ่งได้เป็น 3 กระบวนการย่อยได้แก่ การพรีเอมฟาซิส (preemphasis) การแบ่งช่วงสัญญาณ (frame blocking) การวินโดว์ (windowing)



รูปที่ 2.6 แสดงกระบวนการของขั้นตอน Signal Preprocessing

เอกสารนี้เป็นเอกสารที่สงวนไว้สำหรับการใช้งานเพื่อการศึกษาเท่านั้น ไม่อนุญาตให้นำไปใช้ประโยชน์ด้านการค้าไม่ว่ากรณีใดๆ ทั้งสิ้น อีกทั้งห้ามมิให้ดัดแปลงเนื้อหา และต้องอ้างอิงถึงเจ้าของเอกสารทุกครั้งที่มีการนำไปใช้

2.3.1 การพรีเอมฟาซิส

เนื่องจากสัญญาณเสียงพูดของมนุษย์จะมีส่วนประกอบใหญ่อยู่ที่ความถี่ต่ำเมื่อเทียบกับแถบความถี่ที่ปฏิบัติงาน (Bandwidth) ไม่เกิน 5 กิโลเฮิรตซ์ ดังนั้นเพื่อให้อัตราส่วนสัญญาณเสียงต่อสัญญาณรบกวน (signal to noise ratio : SNR) มีค่าค่อนข้างคงที่ตลอดช่วงความถี่ที่ปฏิบัติงานนี้ เราจึงต้องมีการ พรีเอมฟาซิสหรือการเน้นล่วงหน้า โดยเน้นความถี่สูงให้มีขนาดสูงขึ้น นั่นคือ การพรีเอมฟาซิสก็คือการกรองสัญญาณด้วยวงจรกรองความถี่สูงผ่าน (high pass filter) ซึ่งมักนิยมใช้ในวงจรกรองอันดับเชิงเลขอันดับหนึ่ง (First-Order Digital Filter) ซึ่งมีฟังก์ชันถ่ายโอนเป็น

$$H(z) = 1 - a.z^{-1} \quad ; \quad 0.9 \leq a \leq 1.0$$

กรณีนี้เอาต์พุตการพรีเอมฟาซิส $s'(n)$ มีความสัมพันธ์กับอินพุต $s(n)$ ดังสมการผลต่างสืบเนื่อง

$$s'(n) = s(n) - a.s(n-1)$$

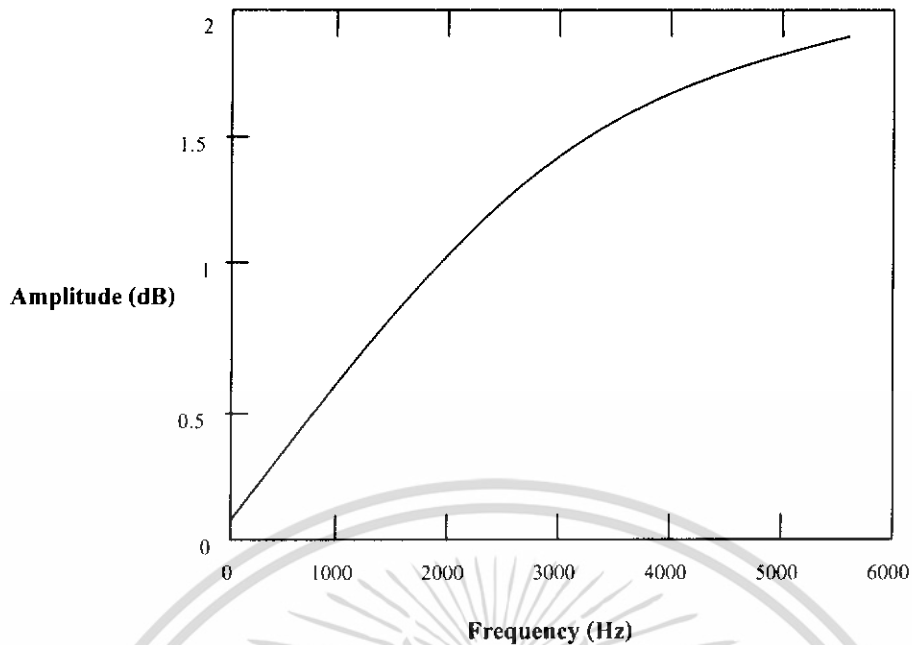
เมื่อ a เป็นสัมประสิทธิ์ตัวกรอง

$s'(n)$ เป็นค่าสัญญาณเสียงพูดขาออกที่ผ่านการพรีเอมฟาซิสที่ n

$s(n)$ เป็นค่าสัญญาณเสียงพูดขาเข้าที่ n

$s(n-1)$ เป็นค่าสัญญาณเสียงพูดขาเข้าที่ $n-1$

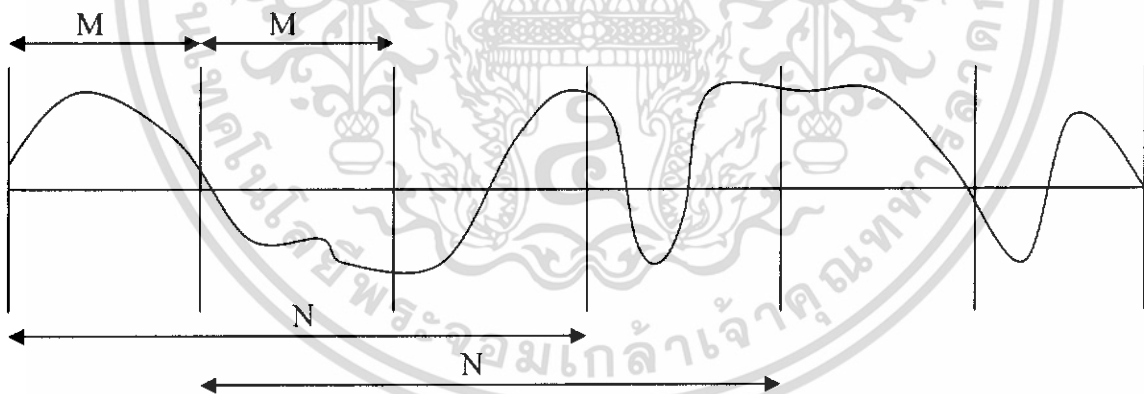
โดยยิ่งค่า a มีค่าเข้าใกล้ 1 มาก ที่ความถี่สูงก็จะถูกขยายมากขึ้นด้วย ค่า a ที่นิยมใช้ร่วมกับการวิเคราะห์หาค่าสัมประสิทธิ์การประมาณพหุเชิงเส้นหรือ สัมประสิทธิ์ของ LPC (Linear Prediction Coefficient) ในขั้นตอนการวิเคราะห์และวัดค่าลักษณะสำคัญซึ่งจะกล่าวถึงต่อไปนั้น กำหนดมีค่าประมาณ 0.9375 เมื่อนำฟังก์ชันถ่ายโอนมาพล็อตกราฟของขนาดเทียบกับความถี่จะได้ รูปที่ 2.7



รูปที่ 2.7 แสดงขนาดสเปกตรัมของฟังก์ชันถ่ายโอนของการพรีเอมฟาสีส

2.3.2 การแบ่งช่วงสัญญาณ

สัญญาณที่ผ่านการพรีเอมฟาสีสแล้ว $s'(m)$ จะถูกตัดออกเป็นช่วง ๆ หรือเฟรม ช่วงละ N ตัวอย่างสัญญาณ การวิเคราะห์จะวิเคราะห์ทีละช่วงของ N ตัวอย่างสัญญาณ ดังรูปที่ 2.8



รูปที่ 2.8 แสดงการแบ่งช่วงสัญญาณที่ใช้ในการวิเคราะห์

โดยช่วงในการวิเคราะห์แต่ละช่วงจะถูกเลื่อนระยะไปเป็น M ช่วงสัญญาณ จะเห็นได้ว่า ถ้าค่า M มากกว่าค่า N ในการเลื่อนของช่วงในการวิเคราะห์จะทำให้บางสัญญาณไม่ถูกใช้ในการวิเคราะห์ ก็จะเป็นการสูญเสียส่วนหนึ่งทำให้ผลที่ได้ไม่ถูกต้องเท่าที่ควร ถ้าค่า M เล็กกว่า N ก็จะทำให้ตัวอย่างสัญญาณทุกตัวถูกนำมาวิเคราะห์ ยิ่งค่า M เล็กเท่าใด ความแม่นยำในการวิเคราะห์ก็จะยิ่งสูงเท่านั้น แต่ก็จะทำให้การคำนวณช้าลง

เอกสารนี้เป็นเอกสารที่สงวนไว้สำหรับการใช้งานเพื่อการศึกษาเท่านั้น ไม่อนุญาตให้นำไปใช้ประโยชน์ด้านการค้าไม่ว่ากรณีใดๆ ทั้งสิ้น อีกทั้งห้ามมิให้ดัดแปลงเนื้อหา และต้องอ้างอิงถึงเจ้าของเอกสารทุกครั้งที่มีการนำไปใช้

หลักการกำหนดขนาดวินโดว์

1. วินโดว์จะต้องสั้นพอที่คุณสมบัติของเสียงที่เราสนใจวิเคราะห์นั้นยังไม่เปลี่ยนแปลงในวินโดว์
2. วินโดว์จะต้องยาวพอที่ จำนวนตัวอย่างสัญญาณในวินโดว์สามารถนำมาคำนวณหาคุณสมบัติที่ต้องการได้
3. วินโดว์ที่ติดกัน ไม่ควรสั้นจนกระโดดข้ามข้อมูลบางส่วนไป แต่ควรเลื่อนวินโดว์ให้น้อยกว่าขนาดของเฟรม

เนื่องจากเราใช้ความถี่ในการสุ่มสัญญาณ 11.025 กิโลเฮิร์ตซ์ ในการวิเคราะห์นี้เราเลือกใช้ค่า $N = 300$ และค่า $M=100$ [1] นั่นคือ ช่วงในการวิเคราะห์คือ 27.21 มิลลิวินาที และระยะเวลาในการเลื่อนเฟรมประมาณ 9 มิลลิวินาที

2.3.3 การวินโดว์

ขั้นตอนการวินโดว์หรือขั้นตอนการวางกรอบขนาดสัญญาณ โดยการคูณแต่ละค่าของสัญญาณในกรอบเสียงพูดด้วยค่าฟังก์ชันกรอบ (window function) ซึ่งมีหลายประเภท ได้แก่ Rectangular window , Hamming window , Hanning window , Blackman window , Kaiser window เป็นต้น

พิจารณาช่วงสัญญาณ N ตัวอย่างของช่วงสัญญาณใด ๆ ที่ตัดมาวิเคราะห์ ดัง รูปที่ 2.10 จะเห็นว่าที่ขอบของเฟรมที่ตัดมานี้มีความไม่ต่อเนื่องของสัญญาณ ถ้ามองใน โดเมนคงความถี่สูงก็จะมีความถี่สูงเกิดขึ้น ดังนั้นเพื่อที่จะลดองค์ประกอบทางความถี่สูงเหล่านี้เราจะต้องคูณด้วยฟังก์ชันวินโดว์เพื่อลดความไม่ต่อเนื่องของสัญญาณที่ขอบ และไม่ทำให้สเปกตรัมของสัญญาณในช่วงความถี่ต่ำเปลี่ยนแปลงไปมากนัก ในที่นี้จะใช้วินโดว์แฮมมิง (Hamming window function) ซึ่งนิยามโดยสมการดังนี้คือ

$$w(n) = 0.54 - 0.46 \cos\left(\frac{2\pi n}{N-1}\right) \quad \text{เมื่อ } n = 0, 1, 2, \dots, N-1 \quad (2.1)$$

โดย N เป็นจำนวนข้อมูลในแต่ละกรอบเสียงพูด

n เป็นข้อมูลที่ n ของข้อมูลทั้งหมด N ค่า ในแต่ละกรอบเสียงพูด



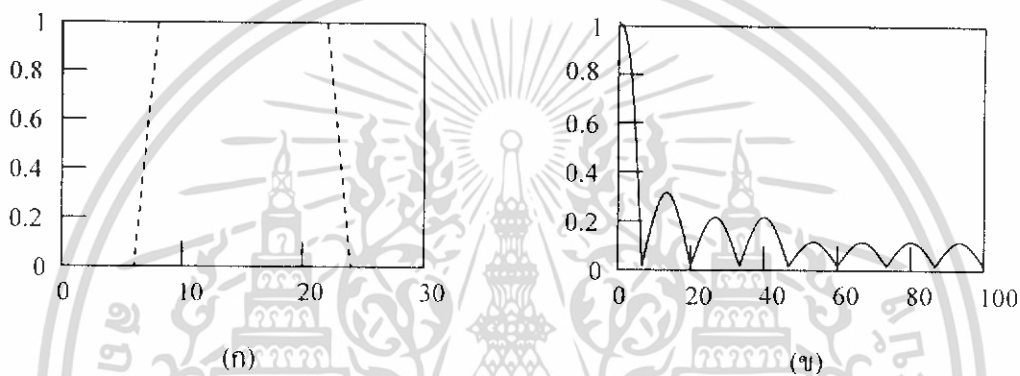
รูปที่ 2.9 แสดงส่วนของสัญญาณที่ตัดมาวิเคราะห์

และรูปที่ 2.10 และ รูปที่ 2.11 แสดงองค์ประกอบทางเวลา และทางความถี่ของฟังก์ชันวินโดว์แบบสี่เหลี่ยม และแบบแฮมมิง ตามลำดับ จะเห็นได้ว่าสเปกตรัมของวินโดว์แฮมมิงจะมีริพเพิล (ripple) น้อยกว่าวินโดว์สี่เหลี่ยม และจะได้

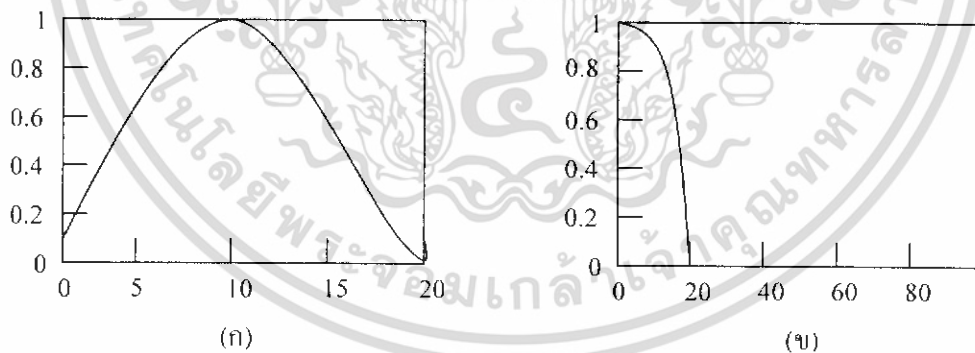
$$x'_l(n) = x_l(n) \cdot w(n) \quad \text{เมื่อ } l = 0, 1, 2, \dots, L-1 \quad (2.2)$$

โดย L เป็นจำนวนกรอบเสียงพูดทั้งหมด

l เป็นกรอบที่ l ของกรอบเสียงพูด L ทั้งหมด



รูปที่ 2.10 แสดงวินโดว์สี่เหลี่ยม (ก) ในโดเมนเวลา (ข) ในโดเมนความถี่



รูปที่ 2.11 แสดงวินโดว์แบบแฮมมิง (ก) ในโดเมนเวลา (ข) ในโดเมนความถี่

2.4 การวิเคราะห์และวัดค่าลักษณะสำคัญ (Feature Measurement)

การวิเคราะห์และวัดค่าลักษณะสำคัญ เป็นการวิเคราะห์สัญญาณเสียงพูด เพื่อเก็บรวบรวมลักษณะสำคัญของเสียงพูดแต่ละเสียง สำหรับการฝึกฝนระบบให้รับรู้ถึงความแตกต่างของเสียงพูดแต่ละเสียงและเพื่อใช้ในการเปรียบเทียบแบ่งแยก ความแตกต่างของเสียงพูดแต่ละเสียงออกจากกัน ในการวัดค่าลักษณะสำคัญจะใช้วิธีการหาสัมประสิทธิ์ของการประมาณพหุคูณเชิงเส้น ส่วนการวิเคราะห์ลักษณะสำคัญจะอาศัยหลักการของความเข้มสัญญาณในแถบความถี่วิกฤต เอกสารนี้เป็นเอกสารที่สงวนไว้สำหรับการใช้งานเพื่อการศึกษาเท่านั้น ไม่อนุญาตให้นำไปใช้ประโยชน์ด้านการค้า ไม่ว่าจะกรณีใดๆ ทั้งสิ้น อีกทั้งห้ามมิให้ดัดแปลงเนื้อหา และต้องอ้างอิงถึงเจ้าของเอกสารทุกครั้งที่มีการนำไปใช้

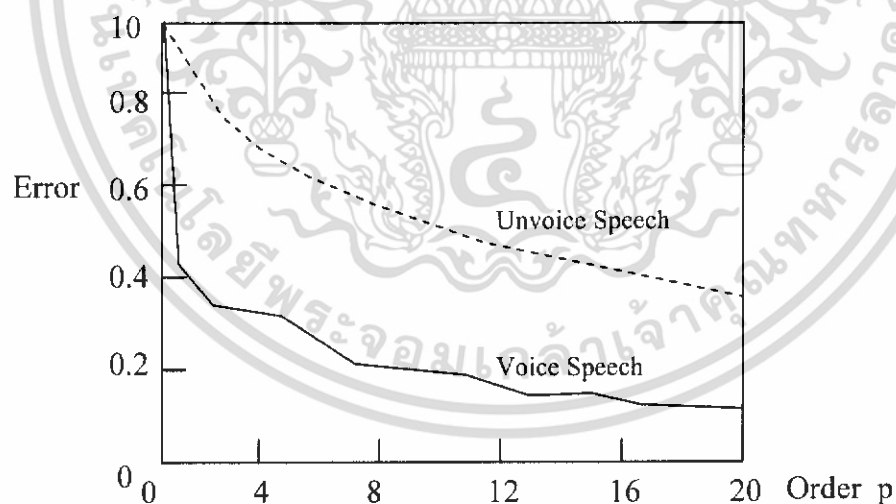
2.4.1 สัมประสิทธิ์ของการประมาณพัลระเชิงเส้น

การประมาณพัลระเชิงเส้น หรือ การประมาณเชิงเส้น มีความสำคัญคือ การที่รูปคลื่นและลักษณะสมบัติทางความถี่ของเสียงพูดสามารถแสดงด้วยค่าพารามิเตอร์ไม่กี่ค่าได้อย่างแม่นยำและมีประสิทธิภาพ นอกจากนี้พารามิเตอร์ดังกล่าวยังสามารถคำนวณหาได้ง่ายอีกด้วย

หลักการพื้นฐานของการประมาณเชิงเส้นคือ การประมาณค่าสัญญาณจากผลรวมเชิงเส้นของสัญญาณก่อนหน้านี้ สมมุติว่าสัญญาณเดิมเป็น $s(n)$ การประมาณค่าสัญญาณเป็น $s'(n)$ ดังนั้นเราสามารถอธิบาย การประมาณเชิงเส้น ได้ดังสมการต่อไปนี้

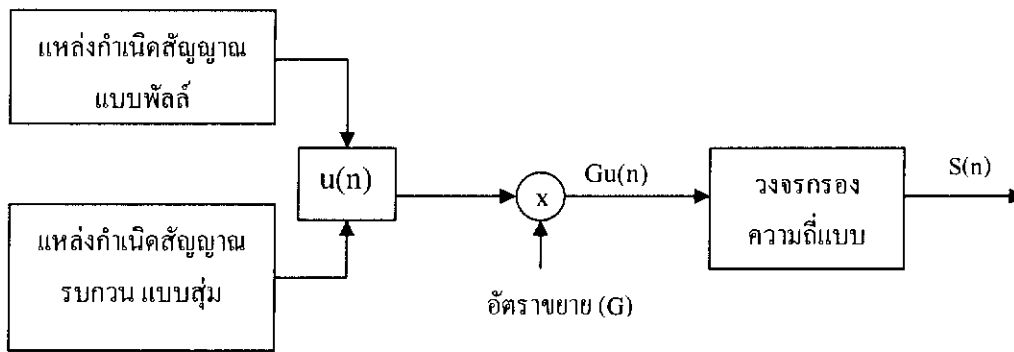
$$s'(n) = \sum_{k=1}^p \alpha_k s(n-k) \quad (2.3)$$

เมื่อ α_k เป็นค่าคงที่ เรียกว่าวิธีการนี้ว่าการประมาณเชิงเส้นอันดับ p โดยมีเงื่อนไขว่า ค่า α_k ที่ใช้ในการประมาณจะต้องทำให้ ผลรวมของกำลังสองของความคลาดเคลื่อน $\{s(n) - s'(n)\}^2$ มีค่าน้อยที่สุด นั่นคือ $\sum e^2(n) = \sum \{s(n) - s'(n)\}^2$ ที่ค่าต่ำที่สุด แสดงดังรูปที่ 2.12 เห็นได้ว่า ที่ p ประมาณ 19 เป็นต้นไปนั้น จะมีความผิดพลาดจะค่อนข้างคงที่ ซึ่งการประมาณเมื่ออยู่หลายวิธี ได้แก่ วิธีโควาเลียงซ์ วิธีออโตคอร์รีเลชัน วิธีแลตทิส วิธีวงจรถองผกผัน เป็นต้น ซึ่งในที่นี้จะใช้การประมาณเชิงเส้น วิธีออโตคอร์รีเลชัน (Autocorrelation Method) หรือ วิธีอັดคัมพันธ์



รูปที่ 2.12 แสดงความสัมพันธ์ระหว่างค่าความผิดพลาดกับจำนวนอันดับของการประมาณเชิงเส้น

จากหลักการพื้นฐานของการประมาณเชิงเส้น และแบบจำลองระบบสร้างสัญญาณเสียง เราสามารถเขียน บล็อกไดอะแกรม การทำการประมาณเชิงเส้น มาสร้างสัญญาณเสียงพูด ได้ดังรูปที่ 2.13



รูปที่ 2.13 แสดงบล็อกโคไดอะแกรมแสดงโมเดลการสร้างสัญญาณเสียงพูดอย่างง่าย

จากรูป 2.13 สามารถเขียนสมการได้เป็น

$$s(n) = Gu(n) + \sum_{k=1}^p \alpha_k s(n-k) \quad (2.4)$$

การประมาณเชิงเส้นโคไนใช้สัมประสิทธิ์ (α_k) คือ

$$s'(n) = \sum_{k=1}^p \alpha_k s(n-k) \quad (2.5)$$

ดังนั้นความคลาดเคลื่อน คือ

$$\begin{aligned} e(n) &= s(n) - s'(n) \\ &= s(n) - \sum_{k=1}^p \alpha_k s(n-k) \end{aligned} \quad (2.6)$$

ฟังก์ชันถ่ายโอนระหว่าง $e(n)$ และ $s(n)$ คือ

$$\begin{aligned} A(Z) &= \frac{E(Z)}{S(Z)} \\ &= 1 - \sum_{k=1}^p \alpha_k z^{-k} \end{aligned} \quad (2.7)$$

จะเห็นได้ว่า ถ้า $\alpha_k = a_k$ แล้ว

$$e(n) = Gu(n) \quad (2.8)$$

ในการประมวลผลสัญญาณจะมีการแบ่งช่วงสัญญาณออกเป็นช่วงสั้น ๆ (Windowing) ช่วงละประมาณ 20-40 มิลลิวินาที ดังนั้น ค่าผลรวมของกำลังสองของความคลาดเคลื่อน

$$\begin{aligned} E_n &= \sum_m e_n^2(m) \\ E_n &= \sum_m [s(m) - s'(m)]^2 \end{aligned} \quad (2.9)$$

โดยที่ n คือ ช่วงที่ n ของสัญญาณที่ใช้คำนวณ เพราะฉะนั้นเพื่อให้ได้ค่า E_n ต่ำที่สุดจะต้องมีเงื่อนไขว่า

$$\frac{\partial E_n}{\partial \alpha_i} = 0 \quad \text{เมื่อ } i = 1, 2, 3, \dots, p$$

เอกสารนี้เป็นเอกสารที่สงวนไว้สำหรับการใช้งานเพื่อการศึกษาเท่านั้น ไม่อนุญาตให้นำไปใช้ประโยชน์ด้านการค้าไม่ว่ากรณีใดๆ ทั้งสิ้น อีกทั้งห้ามมิให้ดัดแปลงเนื้อหา และต้องอ้างอิงถึงเจ้าของเอกสารทุกครั้งที่มีการนำไปใช้

จากสมการ (2.9)

$$\begin{aligned}\frac{\partial E_n}{\partial \alpha_i} &= -2s_n(m-1) \sum_m \left[s_n(m) - \sum_{k=1}^p \alpha_k s_n(m-k) \right] \text{ เมื่อ } i=1,2,3,\dots,p \\ &= -2 \left[\sum_m s(m)s(m-i) - \sum_{k=1}^p \sum_m \alpha_k s(m-k)s(m-i) \right] \\ \frac{\partial E_n}{\partial \alpha_i} &= 0 \text{ ก็ต่อเมื่อ} \\ \sum_{k=1}^p \alpha_k \sum_m s_n(m-k)s_n(m-i) &= \sum_m s_n(m)s_n(m-i) \text{ เมื่อ } i=1,2,3,\dots,p \quad (2.10)\end{aligned}$$

ถ้าเรากำหนดให้ $\phi_n(i, j) = \sum_m s_n(m-k)s_n(m-i)$ เพราะฉะนั้น

$$\sum_{k=1}^p \alpha_k \phi_n(i, j) = \phi_n(i, 0) \quad (2.11)$$

โดยสมการ (2.9) – (2.10) จะได้ว่า

$$\begin{aligned}E_n &= \sum_m s_n^2(m) - \sum_{k=1}^p \alpha_k \sum_m s_n(m)s_n(m-k) \\ \text{และจาก } \phi_n(i, j) &= \sum_m s_n(m-k)s_n(m-i) \\ E_n &= \phi_n(0, 0) - \sum_{k=1}^p \alpha_k \phi_n(0, k) \quad (2.12)\end{aligned}$$

สมมุติว่าใน 1 เฟรม ของสัญญาณ ที่ตัดมาจำนวนมี N ตัวอย่าง คือ $s_n(0), s_n(1), s_n(2), \dots, s_n(N-1)$
ในที่นี้เราให้ $s_n(m) = 0$ เมื่อ $m < 0$ หรือ $m > N-1$ เพราะฉะนั้น

$$\begin{aligned}\phi_n(i, j) &= \sum_m s_n(m-k)s_n(m-i) \\ &= \sum_{m=0}^{N-1-(i-k)} s_n(m)s_n(m+1-k) \quad 0 \leq k \leq p, 1 \leq i \leq p \\ \text{ให้ } R_n(k) &= \sum_m s_n(m)s_n(m+k) \quad \text{เมื่อ } k = 0, 1, 2, \dots, p \quad (2.13)\end{aligned}$$

ดังนั้น จากสมการ (2.12) และ (2.13) จะได้ว่า

$$R_n(k) = \sum_{m=0}^{N-1-k} x'(m)x'(m+k) \quad (2.14)$$

จากสมการ (2.11) จะได้ว่า

เอกสารนี้เป็นเอกสารที่สงวนไว้สำหรับการใช้งานเพื่อการศึกษาเท่านั้น ไม่อนุญาตให้นำไปใช้ประโยชน์ด้านการค้า
ไม่ว่ากรณีใดๆ ทั้งสิ้น อีกทั้งห้ามมิให้ดัดแปลงเนื้อหา และต้องอ้างอิงถึงเจ้าของเอกสารทุกครั้งที่มีการนำไปใช้

$$\sum_{k=1}^p \alpha_k R_n(i-k) = R_n(i) \quad \text{เมื่อ } i = 1, 2, 3, \dots, p \quad (2.15)$$

เขียนอยู่ในรูปเมทริกซ์ได้เป็น

$$\begin{bmatrix} R_n(0) & R_n(1) & \dots & R_n(p-1) \\ R_n(1) & R_n(0) & \dots & R_n(p-2) \\ \vdots & \vdots & \ddots & \vdots \\ R_n(p-1) & R_n(p-2) & \dots & R_n(0) \end{bmatrix} \begin{bmatrix} \alpha_1 \\ \alpha_2 \\ \vdots \\ \alpha_p \end{bmatrix} = \begin{bmatrix} R_n(1) \\ R_n(2) \\ \vdots \\ R_n(p) \end{bmatrix} \quad (2.16)$$

ให้ $R_n \cdot \alpha = r_n$ (2.17)

เมื่อ $R_n = \begin{bmatrix} R_n(0) & R_n(1) & \dots & R_n(p-1) \\ R_n(1) & R_n(0) & \dots & R_n(p-2) \\ \vdots & \vdots & \ddots & \vdots \\ R_n(p-1) & R_n(p-2) & \dots & R_n(0) \end{bmatrix}, \alpha = \begin{bmatrix} \alpha_1 \\ \alpha_2 \\ \vdots \\ \alpha_p \end{bmatrix}, r_n = \begin{bmatrix} R_n(1) \\ R_n(2) \\ \vdots \\ R_n(p) \end{bmatrix}$

2.4.2 การหาค่าสัมประสิทธิ์ LPC (α) และอัตราขยาย (G)

เมื่อได้ค่า $R_n(0), R_n(1), R_n(2), \dots, R_n(p)$ แล้วก็สามารถหาค่าสัมประสิทธิ์ LPC (α) ได้ นั่น

คือ

$$\alpha = R_n^{-1} \cdot r_n \quad (2.18)$$

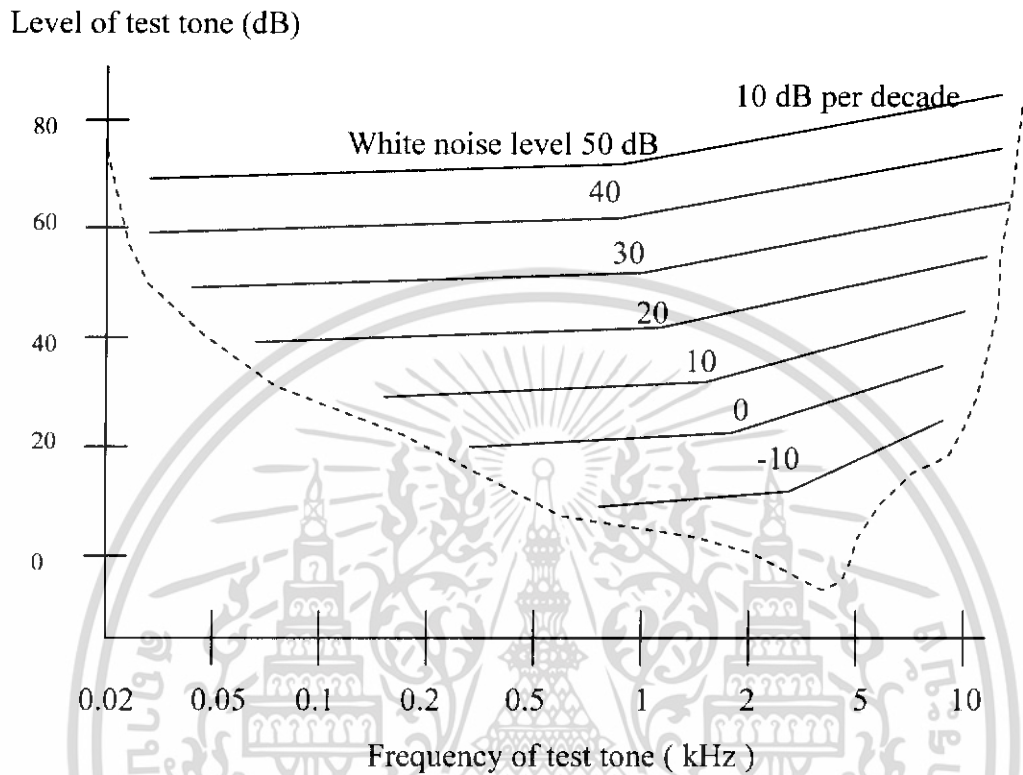
และ จะได้ว่า

$$\begin{aligned} e(n) &= Gu(n) \\ E_n &= \sum_{m=0}^{N-1} e^2(m) = G \sum_{m=0}^{N-1} u^2(m) \\ E_n &= \phi_n(0,0) - \sum_{k=1}^p \alpha_k \phi_n(0,k) \\ E_n &= R_n(0) - \sum_{k=1}^p \alpha_k \phi_n(k) \end{aligned} \quad (2.19)$$

2.5 แลบบความถี่วิกฤต และความเข้มสัญญาณในแลบบความถี่วิกฤต

คำจำกัดความของ แลบบความถี่วิกฤตนั้นได้ถูกกล่าวขึ้นโดย Fletcher โดยที่เขาได้ตั้งสมมติฐานไว้ว่า ในกรณีที่สัญญาณรบกวน (noise) ซ้อนทับจนสามารถบดบังสัญญาณ โทนทดสอบ (Test tone) ได้ นั่นเป็นส่วน ของสัญญาณที่มีผลต่อการบดบังสัญญาณ โทนทดสอบจริงๆจะเป็นส่วนที่มีความถี่ใกล้เคียงกับสัญญาณ โทนทดสอบเท่านั้น ในการที่จะทำการหาค่าสัมประสิทธิ์ต่างของแลบบความถี่วิกฤตได้นั้น ยังต้องอาศัยสมมติฐาน เอกสารนี้เป็นเอกสารที่สงวนไว้สำหรับการใช้งานเพื่อการศึกษาเท่านั้น ไม่อนุญาตให้นำไปใช้ประโยชน์ด้านการค้า ไม่ว่ากรณีใดๆ ทั้งสิ้น อีกทั้งห้ามมิให้ดัดแปลงเนื้อหา และต้องอ้างอิงถึงเจ้าของเอกสารทุกครั้งที่มีการนำไปใช้

ที่ว่า การบดบังสัญญาณจะเป็นผลก็ต่อเมื่อกำลังงานของสัญญาณรบกวนในแถบสัญญาณเดียวกับสัญญาณ โทนทดสอบนั้นเท่ากับกำลังงานของสัญญาณ โทนทดสอบ และถือว่ากำลังงานของสัญญาณรบกวนที่อยู่ นอกเหนือจากแถบสัญญาณที่ใกล้กับสัญญาณ โทนทดสอบไม่มีผลต่อการบดบังสัญญาณ



รูปที่ 2.14 ระดับของสัญญาณ โทนทดสอบที่ถูกบดบังโดยสัญญาณ white noise ที่ระดับสัญญาณต่างๆและ เส้นประเป็นระดับ Threshold in quiet

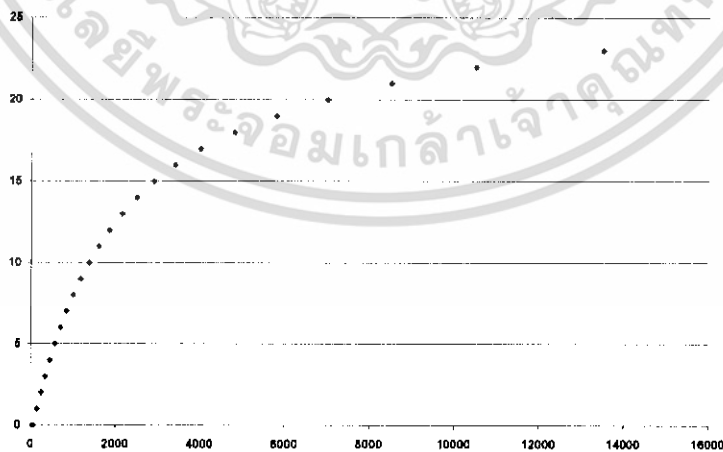
2.5.1 สเตลวาร์คหรือ Critical Band Rate Scale

แถบความถี่วิกฤตนั้นมีความสำคัญต่อการอธิบายลักษณะในการได้ยินของมนุษย์อย่างมาก โดยจะถูกใช้ในแบบจำลองต่าง ๆ ในรูปแบบของสเกลที่เรียกว่า Critical Band Rate Scale ซึ่งสเกลนี้อ้างอิงจากหลักความจริงที่ว่าระบบการรับฟังเสียงของคนเรานั้นจะทำการแบ่งการวิเคราะห์เสียงออกเป็นส่วนต่าง ๆ ตามแถบความถี่วิกฤต และถ้ายึดเอาแถบความถี่วิกฤตแรกเป็นจุดอ้างอิงแล้วทำการคำนวณแถบความถี่วิกฤตต่อมาเรื่อย ๆ โดยให้ขอบเขตบนของแถบความถี่วิกฤตปัจจุบันเป็นขอบเขตล่างของแถบความถี่วิกฤตถัดไปก็จะทำให้ได้สเกลที่เรียกว่า Critical Band Rate Scale ซึ่งสามารถแสดงได้ดังตารางที่ 2.1 ส่วนในรูปที่ 2.15 เป็นแผนภูมิที่นำข้อมูลในตารางที่ 2.1 มาแสดง ซึ่งใน Critical Band Rate Scale นั้นอันดับของ Critical Band ถูกเรียกเป็น "Bark"

เอกสารนี้เป็นเอกสารที่สงวนไว้สำหรับการใช้งานเพื่อการศึกษาเท่านั้น ไม่อนุญาตให้นำไปใช้ประโยชน์ด้านการค้า ไม่ว่าจะกรณีใดๆ ทั้งสิ้น อีกทั้งห้ามมิให้ดัดแปลงเนื้อหา และต้องอ้างอิงถึงเจ้าของเอกสารทุกครั้งที่มีการนำไปใช้

ตารางที่ 2.1 ขอบเขตและความถี่ศูนย์กลาง Critical Band Rate Scale

Z Bark	flower/fupper Hz	fc Hz	fc Bark	Bandwidth Hz	Z Bark	flower/fupper Hz	fc Hz	fc Bark	Bandwidth Hz
0	0	50	0.5	100	12	1720	1850	12.5	280
1	100	150	1.5	100	13	2000	2150	13.5	320
2	200	250	2.5	100	14	2320	2500	14.5	380
3	300	350	3.5	100	15	2700	2900	15.5	450
4	400	450	4.5	110	16	3150	3400	16.5	550
5	510	570	5.5	120	17	3700	4000	17.5	700
6	630	700	6.5	140	18	4400	4800	18.5	900
7	770	840	7.5	150	19	5300	5800	19.5	1100
8	920	1000	8.5	160	20	6400	7000	20.5	1300
9	1080	1170	9.5	190	21	7700	8500	21.5	1800
10	1270	1370	10.5	210	22	9500	10500	22.5	2500
11	1480	1600	11.5	240	23	12000	13500	23.5	3500
	1720					15500			



รูปที่ 2.15 แสดงความสัมพันธ์ระหว่างลำดับของ Bark Scale กับความถี่ Hz

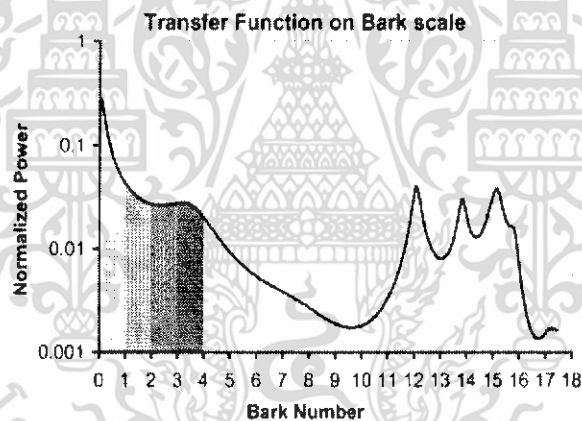
2.5.2 Critical Band Intensity

ระดับการตอบสนองต่อเสียงที่ความถี่ใด ๆ ของระบบการได้ยินเสียงของมนุษย์นั้น สามารถคาดคะเนได้จากกราฟความเข้มของสัญญาณเสียงในแต่ละ Critical Band โดยสามารถคำนวณได้จากสเปกตรัมบนสเกลบาร์คดังสมการต่อไปนี้

$$I_B = \int_{B-0.5 \text{ Bark}}^{B+0.5 \text{ Bark}} \frac{dI}{dB} dB \quad (2.22)$$

โดย B คือ Bark Number

ซึ่งการหา Critical Band Intensity จากสมการที่ 2.22 ก็คือพื้นที่ใต้กราฟของแต่ละแถบความถี่ใน Transfer function บนสเกลบาร์ค ดังรูปที่ 2.16 ซึ่งในปฏิญานิทพจน์นี้เสียงจะถูกสุ่มที่ความถี่ 11.025 KHz ดังนั้นความถี่สูงสุดของเสียงที่สุ่มมาได้คือ 5.50125 KHz ซึ่งอยู่ในบาร์คที่ 18 ดังนั้น Critical Band Intensity ทั้ง 18 ตัว (บาร์คที่ 1 ถึง 18) จะถูกนำไปใช้เป็นองค์ประกอบของ Feature Vector 18 มิติ ที่ใช้เป็นตัวแทนของเสียงที่ใช้ในการทดลอง



รูปที่ 2.16 แสดงการคำนวณ Critical Band Intensity

2.6 การจำแนกรูปแบบด้วยแบบจำลองฮิดเดินมาร์คอฟ (Hidden Markov Models)

แบบจำลองฮิดเดินมาร์คอฟ

คำพูดเสียงเป็นสิ่งที่แสดงถึงคำหนึ่งคำหรือหลาย ๆ คำ ที่มีลักษณะการเปลี่ยนแปลงของสัญญาณความถี่ (spectral envelop) ที่ซ้ำ มนุษย์ได้ยินสัญญาณความถี่นี้และเปลี่ยนมันให้เป็นคำและสามารถเข้าใจถึงความหมายได้ จุดประสงค์ของการประมวลผลเสียงคำพูดคือการลอกเลียนแบบดังกล่าวของมนุษย์เพื่อที่จะสร้างเครื่องมือสำหรับพูดคุยกับมนุษย์เองได้ ก้าวแรกของการเริ่มต้นระบบนี้คือการแปลงคำพูดที่ได้ยินหรือสัญญาณเสียงให้เป็นเครื่องหมายที่เหมาะสม เครื่องหมายที่เหมาะสมในที่นี้คือลักษณะพิเศษที่สามารถหาได้จากสัญญาณเสียง เช่น ความถี่มูลหลัก (fundamental frequency) สัญญาณความถี่ (spectral envelop) เป็นต้น

เอกสารนี้เป็นเอกสารที่สงวนไว้สำหรับการใช้งานเพื่อการศึกษาเท่านั้น ไม่อนุญาตให้นำไปใช้ประโยชน์ด้านการค้าไม่ว่ากรณีใดๆ ทั้งสิ้น อีกทั้งห้ามมิให้ดัดแปลงเนื้อหา และต้องอ้างอิงถึงเจ้าของเอกสารทุกครั้งที่มีการนำไปใช้

วิธีการหนึ่งที่ยอมรับมาใช้และให้ผลดีที่สุด ในขณะที่ในการแปลงคำพูดให้เป็นเครื่องหมายคือการใช้วิธีการสถิติของแบบจำลองฮิดเดินมาร์คอฟ

2.6.1 ความหมายของแบบจำลองฮิดเดินมาร์คอฟ

แบบจำลองฮิดเดินมาร์คอฟสามารถสร้างโมเดลคำหรือหน่วยเสียงก็ได้ แต่เหตุผลของการที่จะโมเดลให้เป็นคำหรือหน่วยเสียงจะขึ้นอยู่กับการใช้งานของระบบการรู้จำเสียง เช่น ถ้าระบบรู้จำเสียงมีข้อจำกัดคือให้รู้จำคำศัพท์ที่น้อยและรู้จำคำพูดที่ไม่ติดต่อกัน การโมเดลเสียงให้เป็นคำเสียงจะง่ายกว่าโมเดลหน่วยเสียงเนื่องจากการโมเดลเป็นคำจะให้ความแม่นยำมากกว่าและวิธีการของระบบรู้จำเสียงจะง่ายกว่าการโมเดลหน่วยเสียง การโมเดลหน่วยเสียงจะต้องการโมเดลแต่ละหน่วยเสียงและจะต้องรู้จำหน่วยเสียงนั้น ๆ ก่อน เมื่อรู้จำหน่วยเสียงได้แล้วก็ต้องมีวิธีการสร้างคำจากหน่วยเสียงที่ได้รู้จำมา ถ้ามีการรู้จำหน่วยเสียงหนึ่งผิดไปก็จะทำให้คำคำนั้นรู้จำผิดได้ แต่สำหรับการสร้างโมเดลคำเสียง ความแม่นยำในการรู้จำจะขึ้นโดยตรงกับโมเดลคำเสียงที่ได้ฝึกฝนมาและไม่ต้องการวิธีสร้างคำจากหน่วยเสียง แต่สำหรับระบบที่มีคำศัพท์มาก(มากกว่า 1000 คำ) และรู้จำเสียงแบบพูดติดต่อกันระบบรู้จำที่มีโมเดลหน่วยเสียงจะมีประสิทธิภาพมากกว่าเพราะจำนวนโมเดลของหน่วยเสียงที่ต้องการจะมีน้อยกว่าโมเดลของคำเสียงและทำให้ระบบรู้จำเสียงใช้เวลาในการค้นหาคำเสียงที่มีความน่าจะเป็นมากที่สุดมากกว่า อีกประการหนึ่งที่สำคัญก็คือการรู้จำเสียงใช้เวลาในการค้นหาคำเสียงที่มีความน่าจะเป็นมากที่สุดมากกว่า อีกประการหนึ่งที่สำคัญก็คือการรู้จำคำพูดแบบติดต่อกัน มีความเป็นไปได้สูงที่คำหนึ่งคำจะเปลี่ยนไปเมื่อใช้กับคำ ๆ อื่น ถ้าระบบมีการฝึกฝนที่ไม่ดีก็จะทำให้ระบบรู้จำมีความแม่นยำต่ำ แต่สำหรับหน่วยเสียงจะมีการเปลี่ยนแปลงน้อยกว่าเมื่อใช้กับคำคำอื่นจึงทำให้มีความแม่นยำมากกว่า

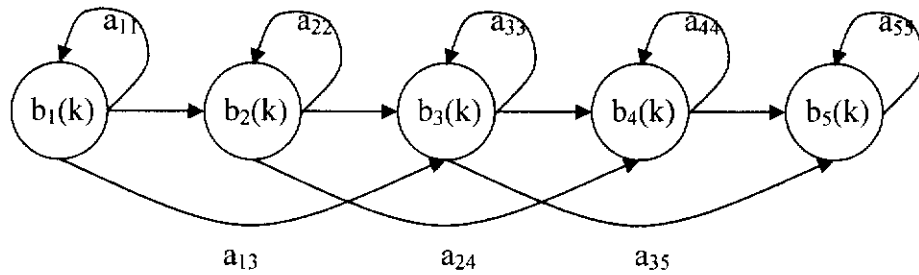
ตามทฤษฎีแบบจำลองฮิดเดินมาร์คอฟเป็นแบบจำลองทางสถิติ คือ การเก็บรวบรวมของสถานะหลาย ๆ สถานะ ที่ถูกเชื่อมโยงโดยการเปลี่ยนสถานะ ในที่นี้คือ ลักษณะของสัญญาณเสียงหรือเครื่องหมายที่หมายถึงสัญญาณเสียงนั้น ณ เวลาหนึ่ง ๆ ส่วนการเปลี่ยนสถานะคือการเลื่อนหรือเปลี่ยนแปลงของสัญญาณเสียงจากเวลาหนึ่งไปหาอีกเวลาหนึ่ง แบบจำลองฮิดเดินมาร์คอฟมีค่าความน่าจะเป็นอยู่ 2 ชนิดคือ ค่าความน่าจะเป็นที่การเปลี่ยนสถานะหนึ่งที่จะเกิดขึ้น (transition probability) และ ค่าความน่าจะเป็นของผลลัพธ์ (output symbol) เมื่อมีการเปลี่ยนสถานะหนึ่งเกิดขึ้น ผลลัพธ์ที่ว่าจะนำไปใช้ในการตัดสินใจว่าเสียงที่ได้ยินนั้นเป็นเสียงอะไร (output probability)

แบบจำลองมาร์คอฟ แบ่งออกเป็น 2 ประเภท คือ แบบต่อเนื่อง (Continuous) และแบบไม่ต่อเนื่อง (Discrete-time) ในปริภูมิพนธ์นี้ได้เลือกใช้แบบไม่ต่อเนื่อง เพราะเป็นวิธีการที่ซับซ้อนน้อยกว่าและใช้งานได้ดีกับคำพูดสั้น ๆ ที่ได้ทำการทดลองในปริภูมิพนธ์นี้

2.6.2 กระบวนการแบบจำลองมาร์คอฟ แบบไม่ต่อเนื่องทางเวลา

รูปที่ 2.17 เป็นรูปที่แสดงระบบที่มี 5 สถานะ (state) การอธิบายระบบ ณ เวลาหนึ่ง ๆ จะอธิบายด้วยเซตของดัชนีสแตต $\{1, 2, \dots, N\}$ โดยในแต่ละช่วงเวลาสามารถเปลี่ยนสแตตไป ด้วยเซตของความน่าจะเป็นที่เกี่ยวข้องกับสแตต

เอกสารนี้เป็นเอกสารที่สงวนไว้สำหรับการใช้งานเพื่อการศึกษาเท่านั้น ไม่อนุญาตให้นำไปใช้ประโยชน์ด้านการค้าไม่ว่ากรณีใดๆ ทั้งสิ้น อีกทั้งห้ามมิให้ดัดแปลงเนื้อหา และต้องอ้างอิงถึงเจ้าของเอกสารทุกครั้งที่มีการนำไปใช้



รูปที่ 2.17 แสดงตัวอย่างแบบจำลองมาร์คอฟ 5 สถานะ

เราจะแทนค่าเวลาที่เกี่ยวข้องกับการเปลี่ยนสถานะไป ด้วย $t = 1, 2, \dots, T$ และแทนสถานะที่เวลา t ด้วย q_t ในห่วงโซ่ Markov (Markov Chain) นั้นจะแสดงความน่าจะเป็นในการย้ายสถานะไป โดยให้ความสนใจเพียงสถานะก่อนหน้านั้น เท่านั้น คือ

$$P[q_t = j | q_{t-1} = k, \dots] = P[q_t = j | q_{t-1} = i] \quad (2.31)$$

และ a_{ij} จะแทนความน่าจะเป็นของการย้ายสถานะจาก i ไป j

$$a_{ij} = P[q_t = j | q_{t-1} = i] \quad 1 \leq i, j \leq N \quad (2.32)$$

โดยมีคุณสมบัติว่า

$$a_{ij} \geq 0 \quad \forall i, j$$

$$\sum_{j=1}^N a_{ij} = 1 \quad \forall i \quad (\text{ผลรวมความน่าจะเป็นทั้งหมดที่ออก}=1) \quad (2.33)$$

ถ้าหากเอาที่พูดของกระบวนการเป็นเซตของสถานะ ที่แต่ละเวลาหนึ่งซึ่งแต่ละ สถานะ หมายถึง เหตุการณ์ที่สังเกตได้แล้วจะเรียกมาร์คอฟแบบจำลองนี้ว่า มาร์คอฟแบบจำลองที่สังเกตเห็นได้ (Observable Markov Model)

ส่วนแบบจำลองมาร์คอฟนั้น เหตุการณ์จะเป็นฟังก์ชันของความน่าจะเป็นของสถานะ คือ จะไม่ทราบเหตุการณ์ที่จะเกิดในแต่ละสถานะโดยตรง แต่จะรู้เหตุการณ์ได้โดยวิธีทางสถิติ ซึ่งจะทำให้เราได้ลำดับของเหตุการณ์ออกมา

เอกสารนี้เป็นเอกสารที่สงวนไว้สำหรับการใช้งานเพื่อการศึกษาเท่านั้น ไม่อนุญาตให้นำไปใช้ประโยชน์ด้านการค้า ไม่ว่ากรณีใดๆ ทั้งสิ้น อีกทั้งห้ามมิให้ดัดแปลงเนื้อหา และต้องอ้างอิงถึงเจ้าของเอกสารทุกครั้งที่มีการนำไปใช้

2.6.3 ส่วนประกอบของแบบจำลองมาร์คอฟ

1. N : จำนวนสถานะในแบบจำลอง โดยทั่วไปแล้วสถานะจะเกี่ยวข้องซึ่งกันและกัน ในแง่ที่ว่า สถานะจะสามารถย้ายมาได้จากสถานะอื่น ๆ เราจะให้เซตของสถานะเป็น $\{1,2,\dots,N\}$ และแทนสถานะที่เวลา t เป็น q_t

2. M : จำนวนของเหตุการณ์ต่าง ๆ ต่อหนึ่งสถานะ เราจะแทนแต่ละสัญลักษณ์ เป็น $V = \{V_1, V_2, \dots, V_M\}$

3 ความน่าจะเป็นของการย้ายสถานะ $A = \{a_{ij}\}$ เมื่อ $a_{ij} = P[q_t = j | q_{t-1} = i]$ $1 \leq i, j \leq N$ สำหรับกรณีพิเศษที่สถานะใด ๆ จะย้ายไปยังสถานะอื่น ๆ เราจะได้ $a_{ij} \geq 0$ สำหรับทุก ๆ i, j สำหรับแบบจำลองมาร์คอฟ ชนิดอื่น ๆ เราจะได้ $a_{ij} = 0$ สำหรับคู่ $\{i, j\}$ หนึ่งคู่หรือมากกว่า

4. การกระจายความน่าจะเป็นของสัญลักษณ์ที่สังเกตได้ $B = \{b_j(k)\}$

$$\text{โดย } b_j(k) = P[o_t = v_k | q_t = j], 1 \leq k \leq m \quad (2.34)$$

เป็นนิยามการกระจายสัญลักษณ์ในสถานะ j ; $j = 1, 2, \dots, N$

จะเห็นได้ว่า แบบจำลองมาร์คอฟ ต้องการพารามิเตอร์ของแบบจำลอง 2 ตัว คือ N และ M และกลุ่มของความน่าจะเป็น A, B, π และเพื่อความสะดวกจะใช้สัญลักษณ์เป็น $\{A, B, \pi\}$ เพื่อแสดงเซตของพารามิเตอร์ที่สมบูรณ์ของแบบจำลอง

2.6.4 ชนิดของ HMM

แบ่งชนิดตามลักษณะของการย้ายสถานะ (Transition) ของเมตริกซ์ A ได้ 3 ชนิด

1. HMM แบบ Egordic Model หรือ Fully Connected Model : การย้ายสถานะสามารถย้ายไปยังทุก ๆ สถานะของแบบจำลอง

2. HMM แบบ Left-Right Model หรือ Bakis Model : การย้ายสถานะจะย้ายจากซ้ายไปขวาซึ่งจะมีคุณสมบัติของสัมประสิทธิ์การย้ายสถานะดังนี้

$$w_{ij} = 0 \quad ; \quad j < i$$

คือจะไม่มีการย้ายสถานะที่ต่ำกว่าสถานะปัจจุบัน และนอกจากนี้ก็ยังมีความน่าจะเป็นของสถานะเริ่มต้นดังนี้

$$\pi_i = \begin{cases} 0, & i \neq 1 \\ 1, & i = 1 \end{cases}$$

คือ ลำดับของสถานะต้องเริ่มที่สถานะ 1 และ Left-Right Model นี้มักจะมีการบังคับการย้ายสถานะเพื่อไม่ให้มีการเปลี่ยนแปลงดัชนีของ สถานะมากนัก กล่าวคือ

$$a_{ij} = 0 \quad i > i + \Delta i$$

ค่าของ $\Delta i = 2$ คือจะไม่กระโดด (ย้าย) ไปเกิน 2 สถานะ จะได้เมตริกซ์การย้าย สถานะเป็น

เอกสารนี้เป็นเอกสารที่สงวนไว้สำหรับการใช้งานเพื่อการศึกษาเท่านั้น ไม่อนุญาตให้นำไปใช้ประโยชน์ด้านการค้าไม่ว่ากรณีใดๆ ทั้งสิ้น อีกทั้งห้ามมิให้ดัดแปลงเนื้อหา และต้องอ้างอิงถึงเจ้าของเอกสารทุกครั้งที่มีการนำไปใช้

$$A = \begin{bmatrix} a_{11} & a_{12} & a_{13} & 0 \\ 0 & a_{22} & a_{23} & a_{24} \\ 0 & 0 & a_{33} & a_{34} \\ 0 & 0 & 0 & a_{44} \end{bmatrix}$$

จะเห็นว่าสเตตสุดท้าย สัมประสิทธิ์การย้ายสเตตจะเป็น

$$a_{NN} = 1$$

$$a_{Ni} = 0, i < N$$

แบบจำลองแบบนี้จะเหมาะกับสัญญาณที่มีลักษณะเปลี่ยนแปลงตามเวลาอย่างต่อเนื่อง เช่น เสียงพูด

3. HMM แบบ parallel Left-Right Model : เป็นแบบจำลอง ที่มีความยืดหยุ่นมากกว่าแบบที่ 2 Left-Right Model

2.6.5 ปัญหาพื้นฐานของแบบจำลองมาร์คอฟ

2.6.5.1 ปัญหาที่ 1

เมื่อกำหนดลำดับเหตุการณ์ $O = \{o_1, o_2, \dots, o_T\}$ และแบบจำลอง $\lambda = \{A, B, \pi\}$ จะคำนวณหา $P(O, \lambda)$ ซึ่งเป็นความน่าจะเป็นของลำดับเหตุการณ์นี้ได้อย่างไร การแก้ปัญหานี้จะสามารถทำให้เราเลือกแบบจำลองที่สอดคล้องกับเหตุการณ์ที่ดีที่สุดได้จากแบบจำลองหลายอันที่มีอยู่

2.6.5.2 ปัญหาที่ 2

เมื่อกำหนดลำดับของเหตุการณ์ $O = \{o_1, o_2, \dots, o_T\}$ และแบบจำลอง $\lambda = \{A, B, \pi\}$ เราจะเลือกลำดับสเตต $q = \{q_1, q_2, \dots, q_T\}$ ที่เหมาะสมกับเหตุการณ์ที่สุดได้อย่างไร (อธิบายเหตุการณ์ได้ดีที่สุด) การแก้ปัญหานี้ช่วยหาลำดับของสเตตที่ถูกต้อง

2.6.5.3 ปัญหาที่ 3

เราจะปรับพารามิเตอร์ของแบบจำลอง $\lambda = \{A, B, \pi\}$ เพื่อให้ค่าสูงสุดของ $P(O | \lambda)$ ได้ อย่างไร การแก้ปัญหานี้ช่วยให้ได้ λ ที่เหมาะสมที่สุด เพื่ออธิบายการได้มาซึ่งลำดับเหตุการณ์ที่กำหนดให้ที่ดีที่สุด

ลำดับเหตุการณ์ที่ใช้ปรับค่าพารามิเตอร์ของแบบจำลอง เรียกว่าลำดับเทรนนิ่ง (training sequence) เนื่องจากเป็นลำดับเหตุการณ์ที่ถูกใช้เพื่อเป็นเทรนนิ่ง แบบจำลองมาร์คอฟ และด้วยการแก้ปัญหานี้ เราจะได้แบบจำลองที่ดีที่สุดสำหรับคำนั้น

เอกสารนี้เป็นเอกสารที่สงวนไว้สำหรับการใช้งานเพื่อการศึกษาเท่านั้น ไม่อนุญาตให้นำไปใช้ประโยชน์ด้านการค้า ไม่ว่าจะกรณีใดๆ ทั้งสิ้น อีกทั้งห้ามมิให้ดัดแปลงเนื้อหา และต้องอ้างอิงถึงเจ้าของเอกสารทุกครั้งที่มีการนำไปใช้

ตัวอย่าง สำหรับตัวรู้จำเสียงพูด (isolate word speech recognizer) ง่าย ๆ เช่น สำหรับคำว่า “หนึ่ง” เราต้องออกแบบแบบจำลองมาร์คอฟ แบบ N สเตท เราจะแทนสัญญาณคำพูดของคำด้วยลำดับเวลาของเวกเตอร์สเปกตรัม สมมติว่าข้อมูลได้ถูกเข้ารหัสมาแล้วโดยใช้ สเปกตรัมโค้ดบุค (spectrum codebook) ที่มีเวกเตอร์สเปกตรัมอยู่ที่ M แบบ นั่นคือ แต่ละเหตุการณ์แทนด้วยดัชนีของเวกเตอร์สเปกตรัมที่ใกล้เคียงกับสัญญาณเสียงเดิมมากที่สุด ดังนั้นแต่ละคำศัพท์จะแทนด้วยลำดับเทรนนิ่ง ซึ่งประกอบด้วย ลำดับของดัชนีโค้ดบุคของคำจำนวนมาก สิ่งแรกที่ต้องทำคือการสร้างแบบจำลองของแต่ละคำ โดยใช้ การแก้ปัญหาที่ 3 หาพารามิเตอร์ λ ของแบบจำลองที่เหมาะสมที่สุด สำหรับแต่ละแบบจำลองของคำ จากนั้นใช้การแก้ปัญหาที่ 2 เพื่อแบ่งแต่ละลำดับเทรนนิ่งของคำไปยังสเตทต่าง ๆ และเรียนรู้ถึงคุณสมบัติของเวกเตอร์สเปกตรัม ซึ่งจะช่วยให้ทราบถึงเหตุการณ์ที่เกิดขึ้นในแต่ละสเตท จุดประสงค์ก็เพื่อให้ แบบจำลองมีความสามารถในการจำลองเสียงพูดเข้าไบนั่นเอง

เมื่อได้แบบจำลองมาร์คอฟ ของคำว่า “หนึ่ง” ที่เหมาะสมแล้ว ก็จะใช้ การแก้ปัญหาที่ 1 ในการหาความน่าจะเป็นไปได้ของแบบจำลองในการเกิดเหตุการณ์ ตามลำดับของเหตุการณ์เสียง ที่ไม่รู้ว่าเป็นเสียงใดเข้ามา ถ้าแบบจำลองใดของคำว่า “หนึ่ง” ให้ค่าความน่าจะเป็นของคำสูงกว่าแบบจำลองของคำอื่น ๆ (“สอง”, “สาม”, “สี่”, ...) แสดงว่าคำที่ไม่ทราบว่าเป็นเสียงใดนี่คือคำว่า “หนึ่ง” นั่นเอง

2.6.6 ระบบแบบจำลองมาร์คอฟ

เมื่อมีคำศัพท์ที่อยู่ V คำ ในการทำการรู้จำได้ จะต้องทำการสร้างแบบจำลองของคำแต่ละคำด้วยแบบจำลองมาร์คอฟ ที่แตกต่างกัน คำแต่ละคำจะมีลำดับเทรนนิ่งที่ได้มาจากคุณลักษณะเฉพาะของคำศัพท์นั้นๆ

การที่เราจะรู้จำคำพูดได้ ต้องทำดังนี้

1. สำหรับแต่ละคำศัพท์ V ต้องสร้างแบบจำลองมาร์คอฟ: λ_v นั่นคือ การหาค่า (A, B, π) ที่เหมาะสมกับลำดับเทรนนิ่งของคำ V นั้น
2. ในการจะรู้จำคำศัพท์แต่ละคำ หลังจากที่มีลำดับเหตุการณ์ของคำพูดเข้ามา (เสียงพูดที่ผ่าน LPC และ การจัดระดับเวกเตอร์มาแล้ว) จะทำการหาค่าความน่าจะเป็น ของทุกๆแบบจำลอง แล้วเลือกแบบจำลองที่มีค่าความน่าจะเป็นในการเกิดเหตุการณ์สูงสุด

คำศัพท์ที่สอดคล้องกับแบบจำลองดังกล่าวนี้ จะเป็นคำศัพท์คำเดียวกับคำศัพท์ที่ต้องการจะรู้จำนั่นเอง โดยขั้นตอนการคำนวณหาค่าความน่าจะเป็น จะใช้วิธีเวกเตอร์บีตงที่ได้กล่าวแล้วในตอนต้น

2.7 โครงสร้างและสถาปัตยกรรมของไมโครคอนโทรลเลอร์ MCS-51

ไมโครคอนโทรลเลอร์ตระกูล MCS-51 ที่ใช้ในการทดลองจะใช้ไมโครคอนโทรลเลอร์ตระกูล MCS-51 ซึ่งมีหน่วยความจำโปรแกรมภายในเป็นแบบแฟลชของ Atmel Corporation มีเบอร์ขึ้นต้นด้วย AT89

2.7.1 คุณสมบัติของไมโครคอนโทรลเลอร์ตระกูล MCS-51 อนุกรม

- เป็นไมโครคอนโทรลเลอร์ที่ใช้ซีพียูขนาด 8 บิต
- ภายในมีหน่วยความจำที่เป็นแบบแฟลชสามารถลบและเขียนใหม่ได้ทันที
- หน่วยความจำข้อมูลพื้นฐานเป็นหน่วยความจำแบบแรมในบางเบอร์จะมีหน่วยความจำแบบอีอีพรอมเพิ่มเติม
- ขาพอร์ตเป็นแบบสองทิศทาง สามารถใช้งานเป็นได้ทั้งอินพุตและเอาต์พุต
- มีวงจรสื่อสารอนุกรมแบบฟูลดูเพล็กซ์
- ไทมเมอร์/เคาน์เตอร์ขนาด 16 บิต อย่างน้อย 2 ตัว
- สามารถรองรับแหล่งกำเนิดอินเตอร์รัปต์ได้ 6 ประเภท
- สามารถขยายหน่วยความจำภายนอกเพิ่มเติมได้สูงสุด 64 กิโลไบต์
- มีวงจรกำเนิดสัญญาณพิกายอยู่ในชิป
- มีวงจรสื่อสารอนุกรมแบบ SPI สำหรับในอนุกรม AT89Sxx
- มีวอตช์ดีด็อกไทมเมอร์ในตัวสำหรับอนุกรม AT89Sxx

โครงสร้างของ AT89Cxx จะเหมือนกับไมโครคอนโทรลเลอร์ตระกูล MCS-51 พื้นฐาน หากแต่จะแตกต่างกันเฉพาะหน่วยความจำแบบแฟลชที่เพิ่มเข้ามา หากเป็นไมโครคอนโทรลเลอร์อนุกรม 87xx หน่วยความจำโปรแกรมภายในจะเป็นแบบอีพรอมและบางเบอร์สามารถโปรแกรมได้เพียงครั้งเดียว

2.7.2 การจัดขาของไมโครคอนโทรลเลอร์ MCS-51

ไมโครคอนโทรลเลอร์ MCS-51 ทุกตัวจะมีสถาปัตยกรรมและขาใช้งานพื้นฐานเหมือนกัน โดยมีรายละเอียดขั้นต้นดังนี้

ขา Vcc ใช้สำหรับต่อไฟเลี้ยง +5 V

ขา GND เป็นขาราวด์สำหรับต่อกับกราวด์ของระบบ

ขาพอร์ต 0 (P0.0-P0.7) มี 8 ขา แต่ละขาสามารถกำหนดให้เป็นได้ทั้งอินพุตและเอาต์พุตสำหรับใช้งานทั่วไป หากต้องการให้ขาพอร์ต 0 ขาใดขาหนึ่งเป็นอินพุตสามารถทำได้โดยการเขียนข้อมูล "1" ไปยังแต่ละบิตของพอร์ตที่ต้องการติดต่อดัวย ส่งผลให้ขานั้นมีสถานะปลั๊อยลอย (float) จึงมีอินพุตอิมพีแดนซ์สูงสามารถใช้งานเป็นขาพอร์ตอินพุตได้ นอกจากนั้นขาพอร์ตนี้ยังถูกใช้ในการติดต่อกับขาแอดเดรสไบต์ต่ำของหน่วยความจำภายนอก (A0-A7) และขาข้อมูล (D0-D7) โดยใช้กระบวนการมัลติเพล็กซ์เข้าช่วยเพื่อสลับการทำงานเป็นได้ทั้งขาติดต่อแอดเดรสและขาข้อมูล

ขาพอร์ต 1 (P1.0-P1.7) มี 8 ขา แต่ละขาสามารถกำหนดให้เป็นได้ทั้งอินพุตและเอาต์พุตสำหรับใช้งานทั่วไป

ขาพอร์ต 2 (P2.0-P2.7) มี 8 ขา แต่ละขาสามารถกำหนดให้เป็นทั้งอินพุตและเอาต์พุตสำหรับใช้งานทั่วไป นอกจากนี้ขาพอร์ตนี้ยังถูกใช้งานในการติดต่อกับขาแอดเดรสไบต์สูงของหน่วยความจำภายนอก (A8-A15)

เอกสารนี้เป็นเอกสารที่สงวนไว้สำหรับการใช้งานเพื่อการศึกษาเท่านั้น ไม่อนุญาตให้นำไปใช้ประโยชน์ด้านการค้าไม่ว่ากรณีใดๆ ทั้งสิ้น อีกทั้งห้ามมิให้ดัดแปลงเนื้อหา และต้องอ้างอิงถึงเจ้าของเอกสารทุกครั้งที่มีการนำไปใช้

ขาพอร์ต 3 (P3.0-P3.7) มี 8 ขา แต่ละขาสามารถกำหนดให้เป็นทั้งอินพุตและเอาต์พุตสำหรับใช้งานทั่วไป นอกจากนี้ขาพอร์ต 3 ยังเป็นขาที่มีหน้าที่การใช้งานพิเศษ ดังมีรายละเอียดขั้นต้นต่อไปนี้

P3.0 ใช้เป็นขาอินพุตสำหรับรับข้อมูลจากการสื่อสารอนุกรม หรือขา RxD

P3.1 ใช้เป็นขาอินพุตสำหรับส่งข้อมูลจากการสื่อสารอนุกรม หรือขา TxD

P3.2 ใช้เป็นขาอินพุตสำหรับรับสัญญาณอินเตอร์รัปต์จากภายนอกช่อง 0 หรือขา $\overline{INT}0$

P3.3 ใช้เป็นขาอินพุตสำหรับรับสัญญาณอินเตอร์รัปต์จากภายนอกช่อง 1 หรือขา $\overline{INT}1$

P3.4 ใช้เป็นขาอินพุตสำหรับรับสัญญาณไทมเมอร์จากภายนอกช่อง 0 หรือขา T0

P3.5 ใช้เป็นขาอินพุตสำหรับรับสัญญาณไทมเมอร์จากภายนอกช่อง 1 หรือขา T1

P3.6 ใช้เป็นขาสัญญาณ \overline{WR} ใช้ในกรณีที่ใช้เชื่อมต่อกับหน่วยความจำภายนอก

P3.7 ใช้เป็นขาสัญญาณ \overline{RD} ใช้ในกรณีที่ใช้เชื่อมต่อกับหน่วยความจำภายนอก

ขา รีเซ็ต (Reset) ใช้ในการรีเซ็ตการทำงานของไมโครคอนโทรลเลอร์

ขา $\overline{ALE}/PROG$ (Address Latch Enable/Program Pulse Input) เป็นขาที่ใช้ในการควบคุมการแลตช์ของขาพอร์ต 0 เมื่อมีการใช้งานหน่วยความจำภายนอก

ขา \overline{PSTN} (Program Store Enable) ขานี้ใช้ในการส่งสัญญาณเพื่อร้องขอติดต่อกับหน่วยความจำโปรแกรมภายนอก

ขา \overline{EA}/V_{pp} (External Access enable/Programming voltage input) ใช้สำหรับการเลือกติดต่อหน่วยความจำโปรแกรมจากภายนอกหรือภายในตัวไมโครคอนโทรลเลอร์

ขา XTAL1 และ XTAL2 เป็นขาสำหรับต่อคริสตัลเพื่อสร้างสัญญาณนาฬิกาในการกำหนดจังหวะการทำงานของไมโครคอนโทรลเลอร์

2.7.3 จังหวะการทำงานของไมโครคอนโทรลเลอร์ MCS-51

ในการใช้งานไมโครคอนโทรลเลอร์ MCS-51 จะต้องทำความเข้าใจถึงจังหวะการทำงานของซีพียูและลำดับขั้นตอนการประมวลผลคำสั่ง ในการประมวลผลคำสั่งของซีพียูนั้นจะมีขั้นตอนหลัก ๆ 2 ขั้นตอนคือ

1. กระบวนการเฟตช์ (fetch) เป็นการเรียกคำสั่งออกจากหน่วยความจำโปรแกรมแล้วทำการแปลงรหัสคำสั่งนั้นเป็นภาษาเครื่องเพื่อเตรียมการประมวลผล
2. กระบวนการเอ็กซีคิวต์ (execute) เป็นการกระทำตามคำสั่งที่กำหนดหรือตามที่เฟตช์ขึ้นมา โดยกระบวนการก่อนหน้านี้

เมื่อทำกระบวนการเอ็กซีคิวต์คำสั่งเรียบร้อยแล้วก็จะไปเริ่มกระบวนการเฟตช์คำสั่งต่อไป

เมื่อเริ่มจ่ายไฟให้แก่ไมโครคอนโทรลเลอร์จะเกิดการรีเซ็ตในลักษณะที่เรียกว่า พาวเวอร์ออนรีเซ็ต (power on reset) ซีพียูเริ่มต้นทำงานที่แอดเดรส 0000H ของหน่วยความจำโปรแกรม จังหวะการทำงานของซีพียูจะเป็นไปตามรูปแบบ โดยได้รับการกำหนดมาจากรอบการทำงานหรือแมชชีนไซเคิล (machine cycle) จังหวะการทำงานของไมโครคอนโทรลเลอร์ MCS-51 ใน 1 รอบการทำงานหรือ 1 แมชชีนไซเคิลจะแบ่งออกเป็น 6 สเตท (state) กำหนดชื่อเป็น S1-S6 ในแต่ละสเตทมีค่าเวลาเท่ากับ 2 คาบเวลาของสัญญาณนาฬิกา เอกสารนี้เป็นเอกสารที่สงวนไว้สำหรับการใช้งานเพื่อการศึกษาเท่านั้น ไม่อนุญาตให้นำไปใช้ประโยชน์ด้านการค้าไม่ว่ากรณีใดๆ ทั้งสิ้น อีกทั้งห้ามมิให้ดัดแปลงเนื้อหา และต้องอ้างอิงถึงเจ้าของเอกสารทุกครั้งที่มีการนำไปใช้

ถ้าสัญญาณพิกามีความถี่ 12 MHz จะมีความยาวเท่ากับ 1 ms คาบเวลาทั้งสองภายในหนึ่งสเปคจะเรียกว่า เฟส 1 (phase 1) และเฟส 2 (phase 2)

จากโคอะแกรมเวลาสามารถสรุปได้ว่าในการทำงาน 1 รอบหรือ 1 แมกซ์ไซเคิล ซีพียูในไมโครคอนโทรลเลอร์ MCS-51 จะใช้เวลา 12 คาบเวลาของสัญญาณพิกานั้นคือเวลาในการทำงาน 1 แมกซ์ไซเคิลมีค่าเท่ากับ 1 ms หรือมีความเร็วในการทำงานภายใน 1 MHz ในกรณีที่ใช้ความถี่สัญญาณพิกามี 12 MHz ดังนั้นถ้าต้องการทราบความเร็วในการทำงานของไมโครคอนโทรลเลอร์ MCS-51 สามารถหาได้จาก ค่าความถี่สัญญาณพิกหารด้วย 12 และถ้าต้องการหาค่าเวลาของ 1 รอบการทำงานหรือ 1 แมกซ์ไซเคิลสามารถทำได้โดยการหาส่วนกลับของความเร็วในการทำงานภายในไมโครคอนโทรลเลอร์ MCS-51 สามารถสรุปได้เป็นสูตรทางคณิตศาสตร์ได้ดังนี้

ความเร็วในการทำงานของไมโครคอนโทรลเลอร์ = ความถี่ของสัญญาณพิก (ค่าคริสตอลที่ต่ออยู่ที่ขา XTAL1 และ XTAL2)/12

เวลา 1 แมกซ์ไซเคิล = 1/ความเร็วในการทำงานภายในของไมโครคอนโทรลเลอร์

โหมดการทำงานของพอร์ตอนุกรมใน MCS-51

พอร์ตอนุกรมในไมโครคอนโทรลเลอร์ MCS-51 สามารถเลือกการทำงานได้ถึง 4 โหมดคือ

1. โหมด 0 เป็นการกำหนดให้พอร์ตอนุกรมทำงานในลักษณะชิพรีจิสเตอร์
 2. โหมด 1 เป็นการกำหนดให้เป็น UART ขนาด 8 บิต สามารถเลือกอัตราบอดได้
 3. โหมด 2 เป็นการกำหนดให้เป็น UART ขนาด 9 บิต โดยมีอัตราบอดคงที่
 4. โหมด 3 เป็นการกำหนดให้เป็น UART ขนาด 9 บิตสามารถเลือกอัตราบอดได้
- การเลือกโหมดในการทำงานทำได้ด้วยการกำหนดข้อมูลให้แก่บิต SMO และ SM1 ในรีจิสเตอร์

SCON

2.7.4 หลักการสื่อสารข้อมูลผ่านพอร์ตอนุกรม

การสื่อสารข้อมูลผ่านพอร์ตอนุกรมของไมโครคอนโทรลเลอร์นั้นทำได้ 2 วิธี คือ

1. ใช้อินเตอร์รัปต์ เป็นวิธีการที่ให้ผลการทำงานเร็วที่สุด แต่มีความยุ่งยากในการทำงานกว่า เนื่องจากตำแหน่งของการอินเตอร์รัปต์ทั้งการรับและส่งข้อมูลนั้นอยู่ที่ตำแหน่งเดียวกัน ต้องพิจารณาจากแฟล็ก TI หรือ RI ก่อนว่าเกิดการอินเตอร์รัปต์จากสาเหตุใด และต้องพิจารณาการใช้รีจิสเตอร์ในช่วงเวลานั้น ๆ ด้วยว่ามีโอกาสซ้อนทับกันหรือไม่ ทำให้โปรแกรมของการทำงานในส่วนนี้มีความซับซ้อนมากกว่า

2. วนโปรแกรมตรวจสอบแฟล็ก เป็นวิธีที่มีความซับซ้อนน้อยกว่า โดยเขียนโปรแกรมให้วนตรวจสอบแฟล็กอยู่ตลอดเวลาจนกว่าจะเกิดการเปลี่ยนแปลง ยกตัวอย่าง เมื่อต้องการตรวจสอบการส่งข้อมูลให้ทำการวนตรวจสอบแฟล็ก TI ว่าถูกเซตหรือไม่ เมื่อถูกเซตแสดงว่ามีการส่งข้อมูลเกิดขึ้นเรียบร้อยแล้ว จากนั้นให้ทำการเคลียร์แฟล็ก TI แล้วทำการส่งข้อมูลตัวถัดไปหรือทำงานในคำสั่งต่อไปได้ ในกรณีที่ต้องการตรวจสอบการรับข้อมูล ให้ทำการตรวจสอบแฟล็ก RI ว่าถูกเซตหรือไม่ เมื่อตรวจสอบด้วยว่าถูกเซตแสดงว่าเกิดการรับข้อมูลขึ้น ให้ทำการเคลียร์แฟล็ก RI แล้วนำค่าจากรีจิสเตอร์ SBUF มาใช้ได้

เอกสารนี้เป็นเอกสารที่สงวนไว้สำหรับการใช้งานเพื่อการศึกษาเท่านั้น ไม่อนุญาตให้นำไปใช้ประโยชน์ด้านการค้าไม่ว่ากรณีใดๆ ทั้งสิ้น อีกทั้งห้ามมิให้ดัดแปลงเนื้อหา และต้องอ้างอิงถึงเจ้าของเอกสารทุกครั้งที่มีการนำไปใช้

ทันที แต่วิธีการนี้มีข้อเสียตรงที่มีการทำงานแบบเรียงลำดับ ทำให้ขั้นตอนในการทำงานช้ากว่าการใช้อินเตอร์รัปต์

2.7.5 รูปแบบของการสื่อสารข้อมูลอนุกรม

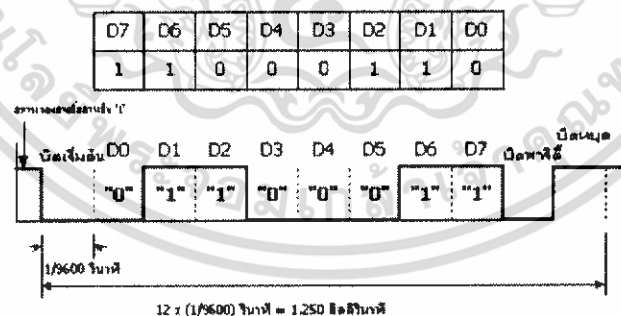
การสื่อสารข้อมูลอนุกรมแบบอะซิงโครนัส เป็นวิธีการรับและส่งข้อมูลโดยไม่ต้องอาศัยสัญญาณนาฬิกาส่งร่วมไปด้วย แต่จะใช้อัตราความเร็วของจำนวนข้อมูลต่อวินาที และจะทำการเพิ่มบิตข้อมูลบางอย่างร่วมไปกับการส่งข้อมูลจริง เพื่อจะได้ทำการตรวจสอบข้อมูลได้อย่างถูกต้องมากยิ่งขึ้นแสดงดังรูปที่ 2.18 ซึ่งประกอบด้วยกัน 4 ส่วนคือ

1 บิตเริ่มต้น (Start bit) จะมีขนาด 1 บิต จะเป็นระดับลอจิกตรงกันข้ามกับระดับลอจิกของสถานะสายสื่อสาร ขณะที่ยังไม่มีการส่งข้อมูล

2 บิตข้อมูล (Data bit) จะเริ่มจากบิตที่มีนัยสำคัญต่ำสุดก่อนหรือ บิต LSB ก่อน โดยข้อมูลที่จะส่งอาจจะมีขนาด 5, 6, 7 หรือ 8 บิตก็ได้

3 บิตแสดงสถานะเลขคู่หรือเลขคี่ (Parity bit) มีขนาด 1 บิต โดยบิตนี้จะนำไปต่อท้ายกับบิตข้อมูล ค่าของบิตนี้ขึ้นอยู่กับจำนวนค่าของข้อมูลที่เป็น "1" โดยเลือกการส่งข้อมูลเป็นแบบ พาริตีคู่ หรือ พาริตีคี่ ตัวอย่าง ถ้ากำหนดให้มีการส่งข้อมูลแบบพาริตีคู่ แต่ข้อมูลมีเลข 1 เป็นจำนวนคี่ ก็จะให้บิตพาริตีนี้เป็น "1" เพื่อจะได้จำนวนเลข "1" เป็นคู่นั่นเอง ทำนองเดียวกันทางด้านรับเองก็ต้องมีการตรวจสอบจำนวนข้อมูลที่รับเข้ามาเป็น "1" รวมทั้งบิตพาริตี 1 บิต ถ้ามีค่า "1" เป็นจำนวนคู่ แสดงว่าข้อมูลที่รับเข้ามาถูกต้อง สามารถกำหนดการรับและส่งข้อมูลเป็นแบบ NONE โดยไม่ต้องมีการตรวจสอบพาริตีบิตก็ได้

4 บิตสุดท้ายหรือบิตหยุด (Stop bit) เป็นการระบุถึงขอบเขตของการสิ้นสุดข้อมูล โดยจะทำให้หาข้อมูลมีสถานะ ลอจิกเป็น "1" ซึ่งอาจมีจำนวนมากกว่า หนึ่งบิตก็ได้ เช่น 1 บิต 1.5 บิต หรือ 2 บิต



รูป 2.18 แสดงการส่งข้อมูลขนาด 8 บิตแบบอนุกรมพร้อมด้วย บิตเริ่มต้น, บิตพาริตี, บิตหยุด ด้วยความเร็ว 9600 บิตต่อวินาที

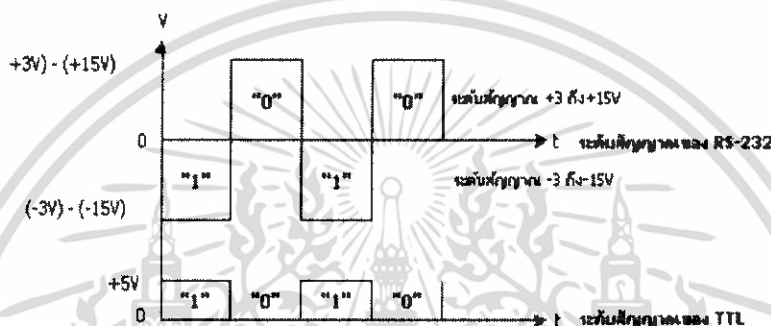
2.8 การเชื่อมต่อพอร์ตอนุกรมมาตรฐาน RS-232

การกำหนดมาตรฐานการเชื่อมต่อแบบอนุกรม EIA RS-232 (x) เป็นมาตรฐานอุตสาหกรรม โดย

คณะกรรมการสมาคมอุตสาหกรรม อิเล็กทรอนิกส์ (Electronic Industries Association) ออกแบบมาเพื่อใช้ออกสารนี้เป็นเอกสารที่สงวนไว้สำหรับการใช้งานเพื่อการศึกษาเท่านั้น ไม่อนุญาตให้นำไปใช้ประโยชน์ด้านการค้า ไม่ว่าจะกรณีใดๆ ทั้งสิ้น อีกทั้งห้ามมิให้ดัดแปลงเนื้อหา และต้องอ้างอิงถึงเจ้าของเอกสารทุกครั้งที่มีการนำไปใช้

ในการส่งข้อมูลอนุกรมแบบอะซิงโครนัส 2 ทิศทาง เพื่อให้มีการใช้งาน ในการเชื่อมต่อที่สอดคล้องกัน ระหว่างอุปกรณ์คอมพิวเตอร์ต่างๆ การรับส่งสัญญาณจะกำหนดความยาวสูงสุดไว้ที่ไม่เกิน 50 ฟุต โดยมี ระดับ สัญญาณตั้งแต่ 3 โวลต์ จนถึง 15 โวลต์ สำหรับลอจิก "0" และมีระดับแรงดันที่ -3 โวลต์ จนถึง -15 โวลต์ สำหรับลอจิก "1" ดังแสดงในรูป 2.19

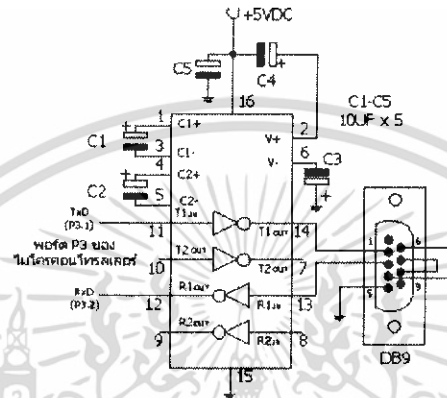
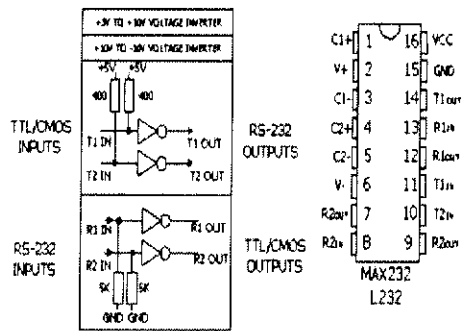
ดังนั้นสังเกตได้ว่าจะมีระดับแรงดันที่ใช้ในสถานะลอจิก "0" และ ลอจิก "1" แตกต่างออกไปจากระบบไอซีดิจิทัลทั่วไปการต่อใช้งานจึงต้อง มีอุปกรณ์ที่ทำหน้าที่เปลี่ยนระดับแรงดันจาก 0 - 5 โวลต์ จากไมโครคอนโทรลเลอร์ ให้เป็นระดับแรงดันที่สูงกว่า +3 หรือต่ำกว่า -3 โดยจะมีไอซีสำเร็จรูปพร้อมใช้งาน หรืออาจจะต่อวงจรจากทรานซิสเตอร์ได้



รูปที่ 2.19 แสดงระดับแรงดันสัญญาณของพอร์ตอนุกรม RS-232 กับ TTL ในสถานะลอจิก "1" และ "0"

2.9 ไอซี MAX232, L232

ไอซี MAX232, L232 เป็นไอซีที่แปลงระดับสัญญาณจากระดับ TTL ไปเป็นระดับของ RS-232 และในทำนองเดียวกันก็รับระดับสัญญาณจาก RS-232 เพื่อแปลงเป็นระดับสัญญาณจากระดับ TTL ให้กับไมโครคอนโทรลเลอร์ได้



รูปที่ 2.20 แสดงตำแหน่งขาของไอซี MAX232, L232 และการต่อใช้งาน

เอกสารนี้เป็นเอกสารที่สงวนไว้สำหรับการใช้งานเพื่อการศึกษาเท่านั้น ไม่อนุญาตให้นำไปใช้ประโยชน์ด้านการค้า ไม่ว่าจะกรณีใดๆ ทั้งสิ้น อีกทั้งห้ามมิให้ดัดแปลงเนื้อหา และต้องอ้างอิงถึงเจ้าของเอกสารทุกครั้งที่มีการนำไปใช้

บทที่ 3

การออกแบบและการสร้าง

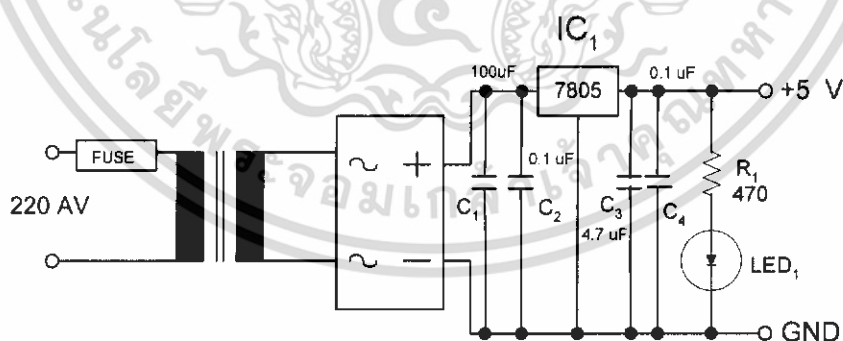
ในโครงการนี้ ได้แบ่งการออกแบบและการสร้างเป็น 2 ส่วน คือ ในส่วนของฮาร์ดแวร์และส่วนของซอฟต์แวร์ โดยส่วนของฮาร์ดแวร์ นั้นได้มีการออกแบบวงจรเป็นสวิทช์ 4 ช่องควบคุมอุปกรณ์ไฟฟ้า โดยแสดงผลด้วย LED ซึ่งสามารถเลือกการควบคุมได้ทั้งจากการกดสวิทช์บนบอร์ดหรือควบคุมผ่านพอร์ตอนุกรมของเครื่องคอมพิวเตอร์ส่วนบุคคล โดยข้อมูลที่ส่งผ่านพอร์ตอนุกรมนั้น จะได้จากส่วนของซอฟต์แวร์ ที่ทำงานตามกระบวนการรู้จำเสียง

3.1 การออกแบบส่วนของฮาร์ดแวร์

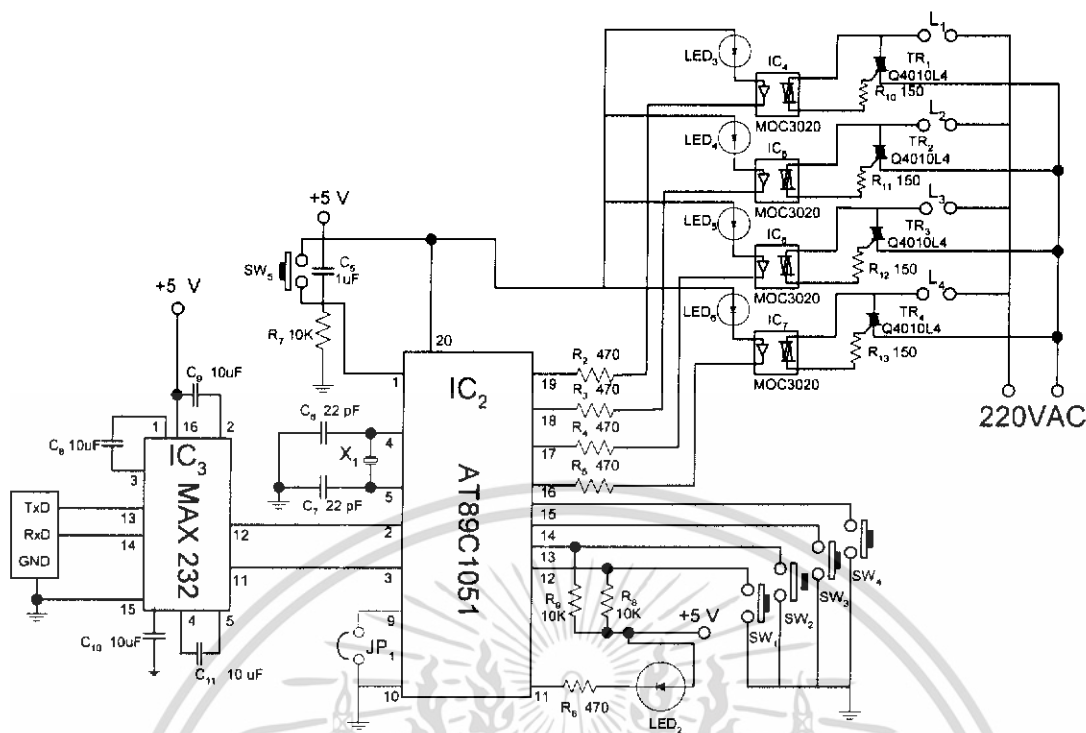
3.1.1 วงจรสวิทช์เปิด-ปิด 4 ช่องควบคุมผ่านพอร์ตอนุกรม

จากรูปที่ 3.1 เมื่อป้อนไฟกระแสสลับแรงดัน 220 โวลต์ เข้าหม้อแปลงแล้ว จะได้แรงดันเอาต์พุตที่ออกจากหม้อแปลงเป็นไฟกระแสสลับแรงดัน 6 โวลต์ โดยผ่านไดโอดบริดจ์ และต่อเข้ากับ ไอซี เบเรอร์ LM7805 ทำให้ได้แรงดันเอาต์พุตคงที่ 5 โวลต์ เพื่อป้อนเป็นไฟเลี้ยงให้กับวงจร สถานะของ C_1 , C_2 , C_3 และ C_4 จะทำหน้าที่กรองกระแสให้เรียบ

ไอซี MAX 232 ทำหน้าที่ปรับระดับสัญญาณ ให้เหมาะสมกับมาตรฐานของ RS-232 ซึ่งเป็นมาตรฐานของการรับส่งข้อมูลผ่านพอร์ตอนุกรมของเครื่องคอมพิวเตอร์ส่วนบุคคล โดยเชื่อมต่อกับ ขา RxD และ TxD ของพอร์ต COM1 และ COM2 ด้านหนึ่งและเชื่อมต่อกับ ไอซี ไมโครคอนโทรลเลอร์เบอร์ AT89C1051 ของ ATMEL อีกด้านหนึ่ง ซึ่งได้มีการ โปรแกรมการทำงานไว้ภายใน ซึ่งจะกล่าวในหัวข้อต่อไป



รูปที่ 3.1 แสดงวงจรแปลงแรงดัน 220 V

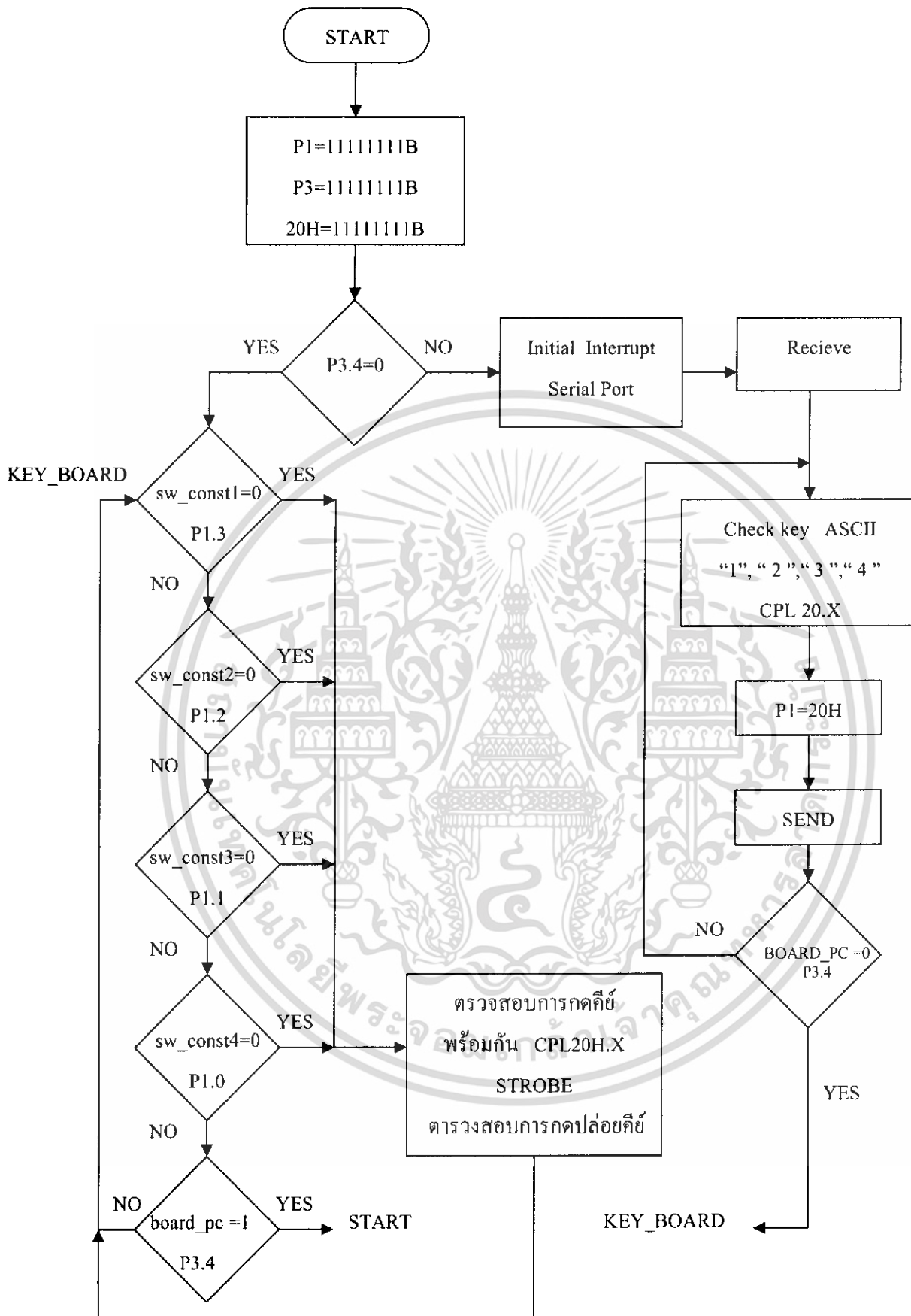


รูปที่ 3.2 วงจรสวิตช์เปิด-ปิด 4 ช่องควบคุมผ่านพอร์ตอนุกรม

C_5 , R_7 และ SW_5 จะเป็นส่วนของกรรริเซต และ C_6 , C_7 และ X_1 เป็นการสร้างสัญญาณนาฬิกาให้กับไอซี ไมโครคอนโทรลเลอร์ ที่จะทำหน้าที่ควบคุมและสั่งงานการทำงานของวงจร โดยเริ่มจากการตรวจสอบการเลือกส่วนของการควบคุมจากบิตที่ P3.4 โดยเลือกที่จัมเปอร์ JP, ส่วนสวิตช์ SW_1 , SW_2 , SW_3 และ SW_4 จะทำหน้าที่ทำการเลือกการใช้งาน เปิด ปิด ในขณะที่เลือกการควบคุมจากวงจรโดยตรง และที่ P3.7 จะต่อกับ LED₂ โดยมี R_6 ทำหน้าที่เป็นตัวจำกัดกระแส วงจรในส่วนของการติดต่อกับอุปกรณ์ไฟฟ้าภายนอก ได้ทำเป็นโซลิตสเตทรีเลย์ 4 ช่อง ได้แก่ LED₃, LED₄, LED₅ และ LED₆ เป็นส่วนแสดงสถานะของการเปิดปิด ซึ่งได้ต่อกับอนุกรมไว้กับ LED ภายในของ IC₄-IC₇

3.1.2 ส่วนโปรแกรมของไมโครคอนโทรลเลอร์ควบคุมฮาร์ดแวร์

ส่วนของโปรแกรมของไมโครคอนโทรลเลอร์ ได้แบ่งออกเป็น 2 ส่วน คือ ส่วนควบคุมการเปิดปิดโดยสวิตช์จากวงจรโดยตรง และส่วนควบคุมการเปิดปิดโดยข้อมูลที่ส่งผ่านพอร์ตอนุกรม โดยมีการเลือกทำงานจากจัมเปอร์ JP, รูปที่ 3.3 แสดงแผนผังการทำงานของโปรแกรมที่ใช้ในโครงงานนี้



รูปที่ 3.3 แผนผังแสดงขั้นตอนการทำงานของโปรแกรมสวิตช์เปิดปิด 4 ช่อง

เอกสารนี้เป็นเอกสารที่สงวนไว้สำหรับการใช้งานเพื่อการศึกษาเท่านั้น ไม่อนุญาตให้นำไปใช้ประโยชน์ด้านการค้า ไม่ว่าจะกรณีใดๆ ทั้งสิ้น อีกทั้งห้ามมิให้ดัดแปลงเนื้อหา และต้องอ้างอิงถึงเจ้าของเอกสารทุกครั้งที่มีการนำไปใช้

3.2 การออกแบบและการสร้างส่วนของการรู้จำเสียงพูด

3.2.1 การออกแบบสร้างคำต้นแบบอ้างอิงและคำทดสอบ

การสร้างคำต้นแบบอ้างอิงใน ปรินูญานิพนธ์นี้ จะใช้คนทั้งหมด 4 คน ประกอบด้วย ผู้ชาย 2 คน ผู้หญิง 2 คน โดยจะให้ผู้สร้างคำต้นแบบ แต่ละคน อ่านออกเสียง คำ 9 คำ ได้แก่ เปิดหนึ่ง , เปิดสอง , เปิดสาม , เปิดสี่ , ปิดหนึ่ง , ปิดสอง , ปิดสาม , ปิดสี่ และ รีเซต คำละ 20 ครั้ง

และในการสร้างคำทดสอบ จะใช้คนทั้งหมด 20 คน ประกอบด้วยผู้ชาย 10 คน ผู้หญิง 10 คน โดยให้ผู้สร้างคำทดสอบ แต่ละคนอ่านออกเสียง คำ 9 คำ ต้นแบบ คำละ 2 ครั้ง

3.2.2 การเก็บข้อมูล

การเก็บข้อมูลในปรินูญานิพนธ์นี้ จะใช้คำพูดเป็นภาษาไทยโดยจะให้ผู้ทดสอบ แต่ละคน อ่านออกเสียง 9 คำ ในการบันทึกเสียง ซึ่งข้อมูลที่ถูกบันทึกจะถูกบันทึกอยู่ในรูปแบบของไฟล์ข้อมูล “.wav” ซึ่งข้อมูล 1 ตัวอย่างของเสียงจะถูกแทนด้วยข้อมูลเสียงขนาด 8 บิตโดยใช้ความถี่ในการแซมปลิงเสียงเท่ากับ 11.025 KHz ไฟล์ข้อมูลเสียง “.wav” จะถูกนำไปใช้เป็นอินพุตสำหรับโปรแกรมการคำนวณการรู้จำเสียงต่อไป

3.2.3 เครื่องมือและอุปกรณ์ในการวิเคราะห์สัญญาณเสียง

เครื่องมือและอุปกรณ์ในการวิเคราะห์กระบวนการรู้จำเสียงในปรินูญานิพนธ์นี้ จะใช้คอมพิวเตอร์ 1 เครื่อง ไมโครโฟน 1 ตัว ลำโพง 1 ชุด โปรแกรมการบันทึกเสียงและโปรแกรมที่ใช้ในการรู้จำเสียงพูดใช้โปรแกรม Visual Studio C++

ข้อจำกัดในการเก็บเสียงพูด

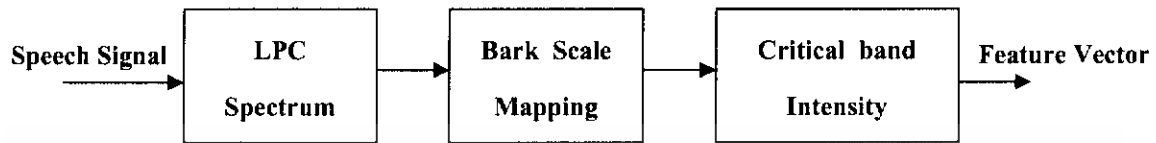
1. เป็นเสียงพูดภาษาไทยภาคกลาง พูดด้วยความเร็วปกติ
2. น้ำเสียงของผู้พูดไม่แสดงอารมณ์ใดๆ
3. พูดอย่างชัดถ้อยชัดคำ
4. สภาพแวดล้อมขณะเก็บเสียงเงียบสงบ หรือมีเสียงรบกวนที่ไม่ดังเช่นเสียงแอร์ได้
5. สภาพร่างกายผู้พูดต้องอยู่ในสภาวะปกติไม่เป็นโรคที่มีผลต่อเสียงพูดเช่นหวัด
6. คำพูดที่ใช้ในการรู้จำเป็นตัวเลข 0-9 และคำสั้น ๆ เช่น เปิด ปิด
7. ในช่วงเวลาหนึ่ง ๆ สามารถรองรับผู้ใช้เพียง 1 คน

3.2.4 หลักการรู้จำเสียงพูดในปรินูญานิพนธ์นี้

เสียงพูดที่ใช้ในปรินูญานิพนธ์นี้ ถูกออกแบบให้มีความสอดคล้องกับส่วนฮาร์ดแวร์ที่ใช้ในการควบคุมการเปิด ปิด อุปกรณ์ไฟฟ้า ซึ่งได้ใช้คำทั้งหมด 9 คำ ได้แก่ เปิดหนึ่ง , เปิดสอง , เปิดสาม , เปิดสี่ , ปิดหนึ่ง , ปิดสอง , ปิดสาม , ปิดสี่ และรีเซต ซึ่งคำทั้งหมดนี้ มีลักษณะเป็นเสียงก้อง (Voice) และมีลักษณะสัญญาณเป็นคาบ ซึ่งเป็นลักษณะที่เห็นได้ชัดในโดเมนของเวลา จากนั้น นำเสียงที่ได้ ทั้ง 9 คำ มาทำการวิเคราะห์หาคุณลักษณะของแต่ละคำ แบ่งเป็น 3 ขั้นตอน ตามรูปที่ 3.4 ดังนี้

เอกสารนี้เป็นเอกสารที่สงวนไว้สำหรับการใช้งานเพื่อการศึกษาเท่านั้น ไม่อนุญาตให้นำไปใช้ประโยชน์ด้านการค้าไม่ว่ากรณีใดๆ ทั้งสิ้น อีกทั้งห้ามมิให้ดัดแปลงเนื้อหา และต้องอ้างอิงถึงเจ้าของเอกสารทุกครั้งที่มีการนำไปใช้

1. การหาสเปกตรัม LPC
2. การแปลงจากสเกลความถี่ไปเป็นสเกลบาร์ค หรือ Critical Band Rate Scale และการคำนวณหา Critical Band Intensity
3. ใช้ Critical Band Intensity เป็น Feature Vector ในการสร้างแบบอ้างอิง



รูปที่ 3.4 แสดงขั้นตอนในการวิเคราะห์เสียง

3.2.5 การหาค่าพารามิเตอร์ที่ใช้ในการแยกเสียงพูด

3.2.5.1 การหาค่าสเปกตรัมแอลซีพี

วิธีการหาสเปกตรัมแอลซีพีนั้นเป็นการนำสัญญาณตัวอย่างที่ต้องการนำมาเป็น คำต้นแบบอ้างอิง ผ่านตามขั้นตอนต่างๆ ที่ได้กล่าวไว้ในบทที่ 2 การคำนวณหาค่าสเปกตรัมแอลซีพีของสัญญาณเสียง เริ่มจากสัญญาณเสียงที่ผ่านการอัดเสียง แล้วนำมาทำพีเรอมาซิส เพื่อให้อัตราส่วนของสัญญาณเสียง ต่อสัญญาณ รมกวน มีค่าค่อนข้างคงที่ตลอดช่วงความถี่ โดยเน้นความถี่สูงให้มีขนาดที่สูงขึ้น สัญญาณที่ผ่านการพีเรอมาซิสแล้ว จะถูกแบ่งออกเป็นเฟรม เฟรมละ 300 แซมเปิ้ล การวิเคราะห์สัญญาณเสียงจะวิเคราะห์ทีละเฟรม โดยแต่ละเฟรมจะถูกเลื่อนไปที่ 100 แซมเปิ้ล จากนั้นนำสัญญาณแต่ละเฟรมมาคูณ ด้วยฟังก์ชันวิน โคว์ เพื่อลดความไม่ต่อเนื่องของสัญญาณที่ขอบ และไม่ทำให้สเปกตรัมของสัญญาณในช่วงความถี่ต่ำเปลี่ยนแปลงไป แล้วนำสัญญาณที่ผ่านการวิน โคว์ไปคำนวณหาสัมประสิทธิ์แอลซีพี เมื่อได้ค่าสัมประสิทธิ์แอลซีพีแล้วก็จะสามารถคำนวณหาสเปกตรัมแอลซีพีได้

การคำนวณหาสัมประสิทธิ์แอลซีพีนั้น จำเป็นจะต้องเลือกอันดับของแอลซีพีที่เหมาะสม ถ้าอันดับของแอลซีพีมีค่าต่ำ จะทำให้ การคำนวณเร็วขึ้นแต่ค่าสเปกตรัมแอลซีพีที่ได้จะมีความละเอียดน้อยทำให้การคำนวณหา Critical Band Intensity เกิดความผิดพลาด แต่ถ้าอันดับแอลซีพีสูงจะใช้เวลาาน ทำให้การคำนวณยุ่งยากและซับซ้อนเกินความจำเป็น ดังนั้นจากการศึกษาพบว่า ค่าอันดับ 19 นั้นเป็นค่าที่ให้ประสิทธิภาพสูงสุด

3.2.5.2 การแปลงจากสเกลความถี่ไปเป็นสเกลบาร์ค หรือ Critical Band Rate Scale

และการคำนวณหา Critical Band Intensity

สเกลบาร์คนั้นช่วยให้ความสามารถในการแสดงคุณสมบัติต่อการตอบสนองความถี่ต่างๆ ของมนุษย์เป็นเชิงเส้นตลอดช่วงความถี่ที่มนุษย์สามารถได้ยิน ดังนั้นจึงทำการแปลงสเปกตรัมแอลซีพีที่เป็นความถี่ไปบนสเกลบาร์ค แล้วนำค่าสเปกตรัมแอลซีพีที่อยู่บนสเกลบาร์ค ไปคำนวณหาค่าความเข้มของสัญญาณในแต่ละความถี่วิกฤต ซึ่งค่าที่ได้จะนำไปใช้เป็นองค์ประกอบของเวกเตอร์แทนหน่วยเสียงต่างๆ เอกสารนี้เป็นเอกสารที่สงวนไว้สำหรับการใช้งานเพื่อการศึกษาเท่านั้น ไม่อนุญาตให้นำไปใช้ประโยชน์ด้านการค้า ไม่ว่ากรณีใดๆ ทั้งสิ้น อีกทั้งห้ามมิให้ดัดแปลงเนื้อหา และต้องอ้างอิงถึงเจ้าของเอกสารทุกครั้งที่มีการนำไปใช้

3.2.5.3 การสร้างและการทดสอบแบบอ้างอิง

การสร้างแบบอ้างอิง หรือ การสร้างโมเดล นั้น จะใช้หลักการของแบบจำลองมาร์คอฟ โดยเรียกขั้นตอนการสร้างแบบอ้างอิง ว่า การเทรนนิ่ง และเรียกการทดสอบแบบอ้างอิงว่า การทดสอบ

การเทรนนิ่ง เป็นการนำค่าจากขั้นตอน Feature Measurement ซึ่งก็คือ ค่า Critical Band Intensity บนสเกลบาร์ค เข้าสู่กระบวนการของฮิดเดินมาร์คอฟเพื่อสร้างเป็นโมเดลอ้างอิง ของแต่ละสัญญาณเสียงพูด ในปริภูมิตักษณณัณนี้ ใช้สัญญาณเสียงพูด 9 คำ และได้ค่า Critical Band Intensity บนสเกลบาร์คจากผู้สร้างโมเดล 4 คน คนละ 20 ครั้ง รวมทั้งหมดได้ค่า Critical Band Intensity บนสเกลบาร์ค 80 ค่า ต่อสัญญาณเสียง 1 คำ

การทดสอบ เป็นการทดสอบแบบอ้างอิงที่ได้สร้างขึ้น โดยวิธีการเปรียบเทียบความน่าจะเป็นว่าใกล้เคียงกับแบบอ้างอิงใดที่ได้จากกระบวนการเทรนนิ่งมากที่สุด

3.2.5.4 การเชื่อมต่อระหว่างส่วนฮาร์ดแวร์และส่วนของการรู้จำเสียงพูด

ในส่วนของวงจรสวิตช์ เปิด ปิด 4 ช่องผ่านพอร์ตอนุกรมนั้น ได้กำหนดพารามิเตอร์ในการทำการเปิดปิด ไว้ทั้งหมด 9 คำ ดังนี้

“เปิด หนึ่ง”	ส่งค่า “1”.
“เปิด สอง”	ส่งค่า “2”.
“เปิด สาม”	ส่งค่า “3”.
“เปิด สี่”	ส่งค่า “4”.
“ปิด หนึ่ง”	ส่งค่า “1”.
“ปิด สอง”	ส่งค่า “2”.
“ปิด สาม”	ส่งค่า “3”.
“ปิด สี่”	ส่งค่า “4”.
“รีเซต”	ส่งค่า “0”.

และได้ออกแบบให้มีการตรวจเช็คสถานะการณัณเปิดหรือปิดของสวิตช์ก่อน เพื่อป้องกันการทำงานที่ผิดพลาดอันเนื่องมาจากการส่งค่าเปิด ปิด ที่เป็นค่าเดียวกัน

บทที่ 4

การทดลองและผลการทดลอง

4.1 การทดลองส่วนฮาร์ดแวร์เพื่อส่งข้อมูลผ่านพอร์ตอนุกรม

4.1.1 ทดสอบวงจร MAX 232

วัตถุประสงค์ที่ออกจากรายการ 12 ของ MAX 232 ซึ่งเป็นขา TxD ที่เข้าสู่ขา 2 ของไอซี ไมโครคอนโทรลเลอร์ ด้วยขอสวิตช์โอสโคป ต่อสาย DB9 ของวงจร MAX 232 เข้าสู่พอร์ตอนุกรม COM1 ของคอมพิวเตอร์

1. เรียกโปรแกรมหน้าจอนินเตอร์เฟซที่ได้ออกแบบขึ้น โดยตั้งค่าที่ COM1 และ Baudrate มีค่า 9600 Kbps แล้วทำการเชื่อมต่อพอร์ตอนุกรมโดยกดสวิตช์ Open Port

2. กดสวิตช์ Open1, Open2, Open3 และ Open4 สังเกตสัญญาณที่ได้จากขอสวิตช์โอสโคป
3. บันทึกผลการทดลองในการกดแต่ละครั้ง

4.1.2 ทดสอบวงจรสวิตช์เปิดปิด 4 ช่องผ่านพอร์ตอนุกรม

จากวงจรรูปที่ 3.2 ต่ออุปกรณ์ไฟฟ้า 4 ชนิด ณ ตำแหน่ง L₁, L₂, L₃ และ L₄ ต่อสาย DB9 เข้าสู่พอร์ตอนุกรม COM1 ของคอมพิวเตอร์

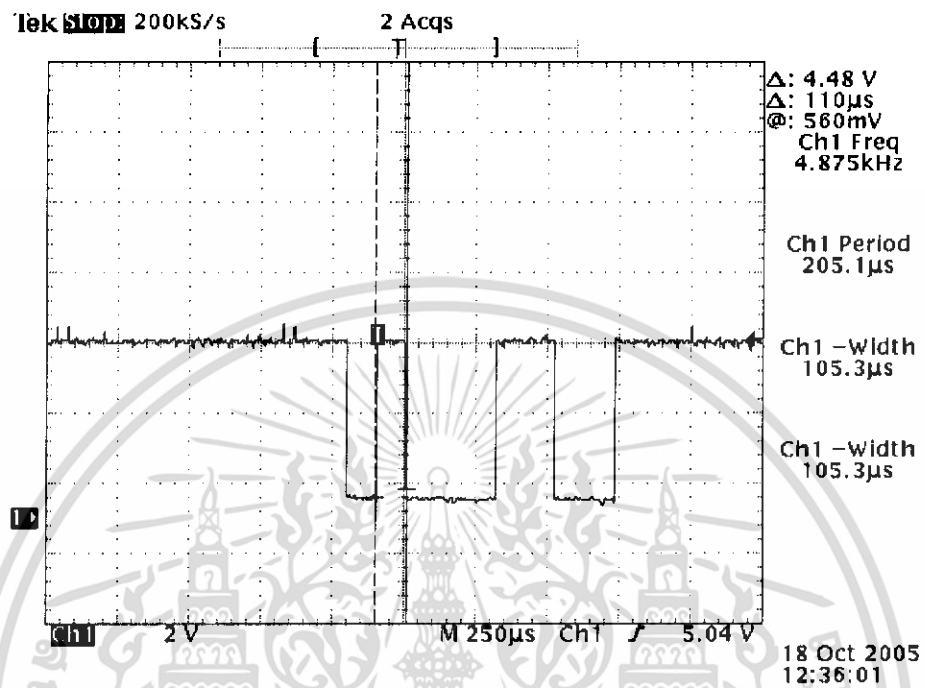
1. เปิดโปรแกรมหน้าจอนินเตอร์เฟซที่ได้ออกแบบขึ้น โดยตั้งค่าที่ COM1 และ Baudrate มีค่า 9600 Kbps แล้วทำการเชื่อมต่อพอร์ตอนุกรมโดยกดสวิตช์ Open Port

2. กดสวิตช์ Open1 สังเกตผลที่เกิดขึ้นที่วงจรและอุปกรณ์ไฟฟ้าทั้ง 4 ชนิด
3. กด สวิตช์ Open2, Open3 และ Open4 ตามลำดับ สังเกตผลที่เกิดขึ้นที่วงจรและอุปกรณ์ไฟฟ้าทั้ง 4 ชนิด

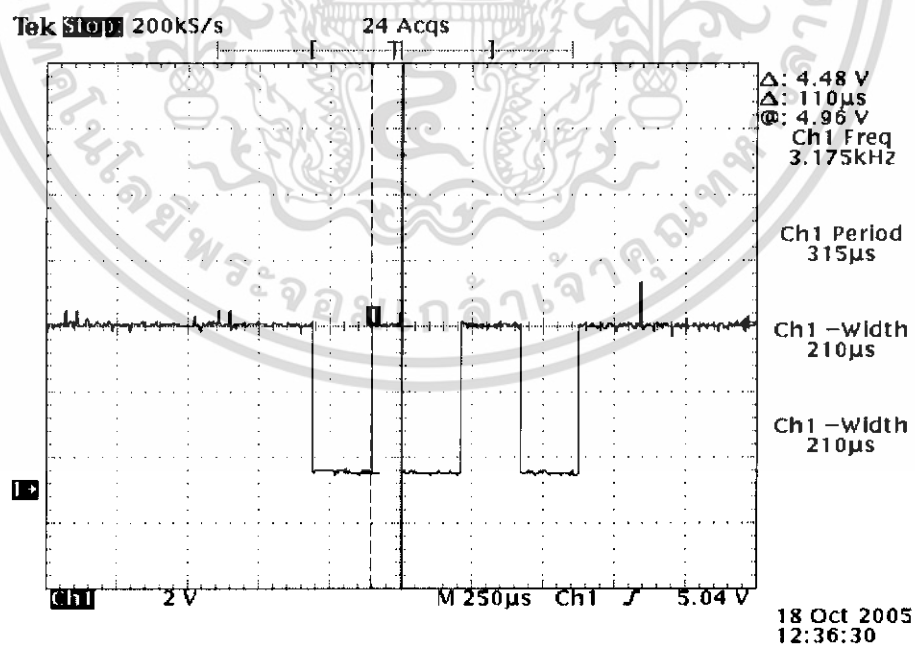
4.2 ผลการทดลองส่วนฮาร์ดแวร์

4.2.1 ทดสอบวงจร MAX 232

ส่งข้อมูลผ่านพอร์ตอนุกรมด้วย Baud rate 9600 b/s ได้คาบ 104 μ s

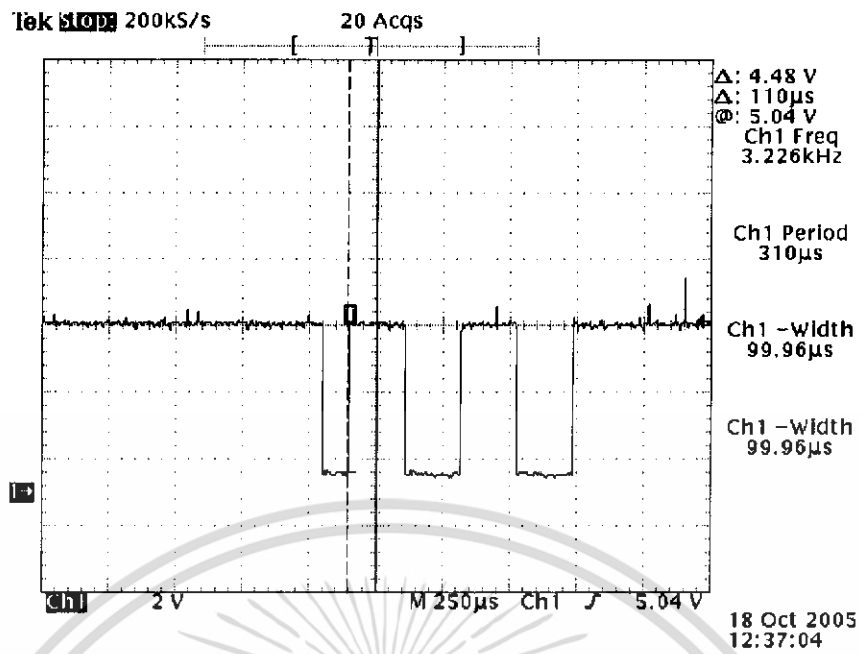


รูปที่ 4.1 แสดงผลเมื่อทำการส่ง 1 จากคีย์บอร์ดผ่านวงจรแปลงแรงดัน

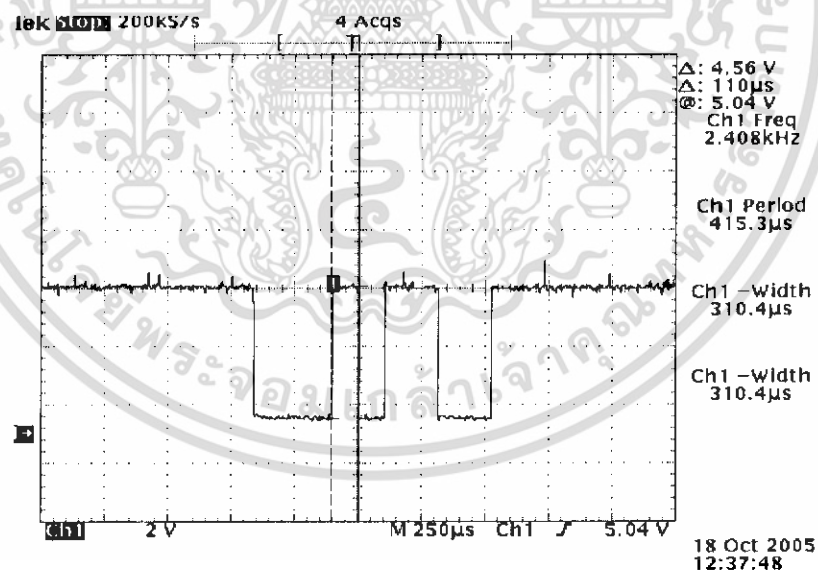


รูปที่ 4.2 แสดงผลเมื่อทำการส่ง 2 จากคีย์บอร์ดผ่านวงจรแปลงแรงดัน

เอกสารนี้เป็นเอกสารที่สงวนไว้สำหรับการใช้งานเพื่อการศึกษาเท่านั้น ไม่อนุญาตให้นำไปใช้ประโยชน์ด้านการค้า ไม่ว่าจะกรณีใดๆ ทั้งสิ้น อีกทั้งห้ามมิให้ดัดแปลงเนื้อหา และต้องอ้างอิงถึงเจ้าของเอกสารทุกครั้งที่มีการนำไปใช้



รูปที่ 4.3 แสดงผลเมื่อทำการส่ง 3 จากคีย์บอร์ดผ่านวงจรแปลงแรงดัน

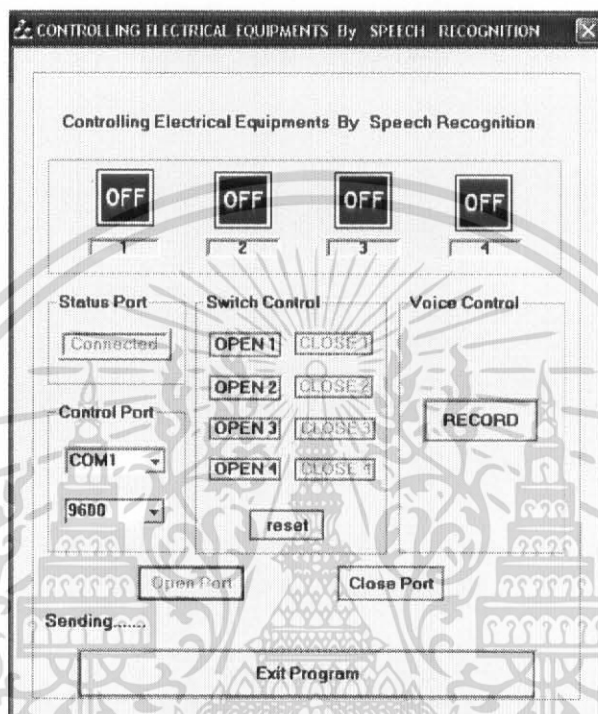


รูปที่ 4.4 แสดงผลเมื่อทำการส่ง 4 จากคีย์บอร์ดผ่านวงจรแปลงแรงดัน

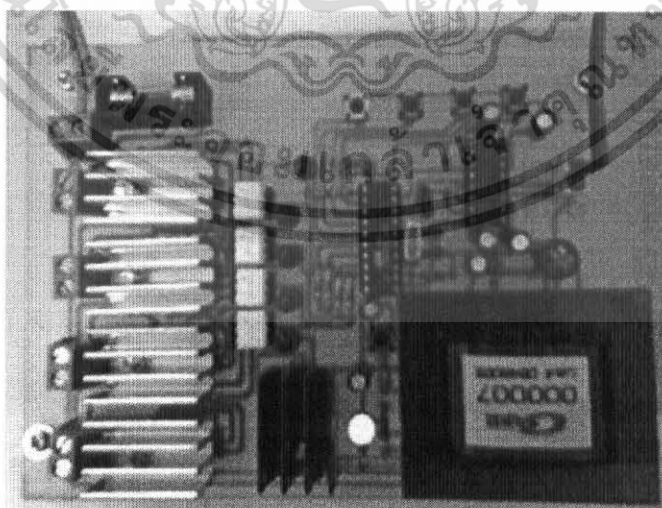
เอกสารนี้เป็นเอกสารที่สงวนไว้สำหรับการใช้งานเพื่อการศึกษาเท่านั้น ไม่อนุญาตให้นำไปใช้ประโยชน์ด้านการค้า ไม่ว่าจะกรณีใดๆ ทั้งสิ้น อีกทั้งห้ามมิให้ดัดแปลงเนื้อหา และต้องอ้างอิงถึงเจ้าของเอกสารทุกครั้งที่มีการนำไปใช้

4.2.2 ทดสอบวงจรสวิตช์เปิดปิด 4 ช่องผ่านพอร์ตอนุกรม

1. หลังจากกดสวิตช์ Open Port พบว่า ที่ Status Port แสดงว่า Connected แสดงว่าขณะนี้พอร์ต ที่ตั้งไว้คือ COM1 ค่า Baud rate 9600 Kbps ได้เชื่อมต่อกับโปรแกรมอินเตอร์เฟซเรียบร้อยแล้ว ในรูป 4.5 และ LED ที่สว่างในรูป 4.6 แสดงสถานะว่าในวงจรการแปลงไฟกระแสสลับจาก 220 V เป็นไฟกระแสตรง 5 V ที่ใช้ในวงจรเป็นส่วนใหญ่ สามารถทำงานได้ปกติ



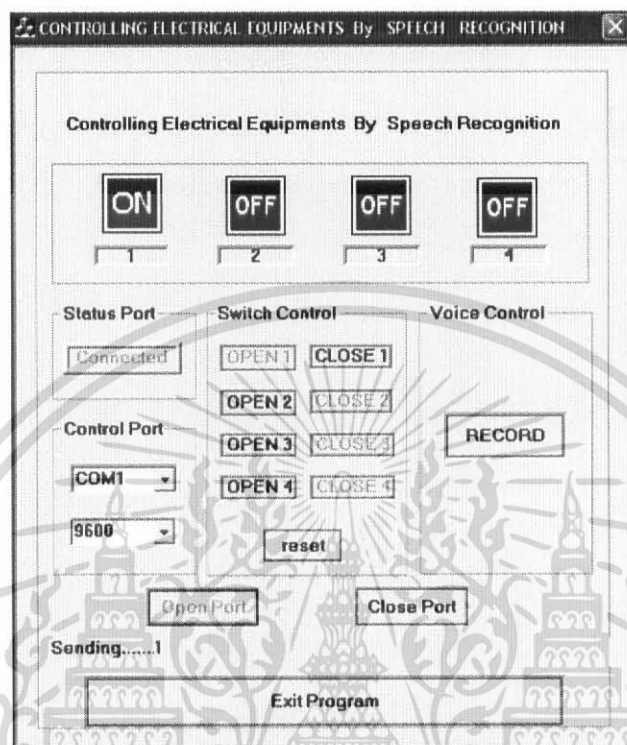
รูปที่ 4.5 แสดงหน้าจออินเตอร์เฟซหลังจากกดสวิตช์ Open Port



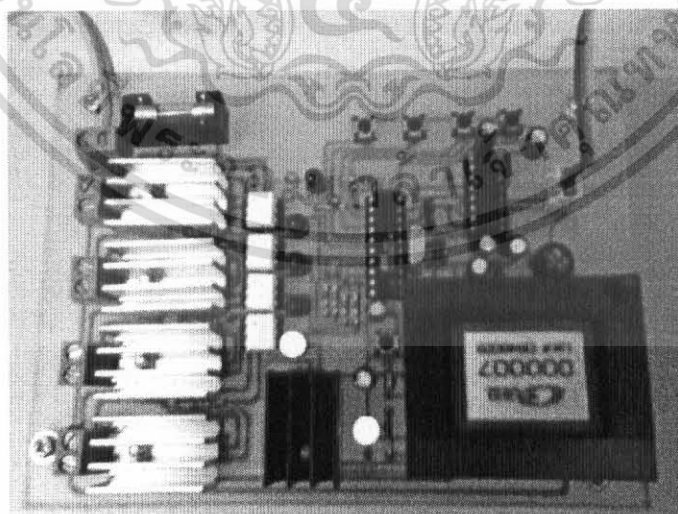
รูปที่ 4.6 แสดงการทำงานของวงจรหลังจากกดสวิตช์ Open Port

เอกสารนี้เป็นเอกสารที่สงวนไว้สำหรับการใช้งานเพื่อการศึกษาเท่านั้น ไม่อนุญาตให้นำไปใช้ประโยชน์ด้านการค้า ไม่ว่ากรณีใดๆ ทั้งสิ้น อีกทั้งห้ามมิให้ดัดแปลงเนื้อหา และต้องอ้างอิงถึงเจ้าของเอกสารทุกครั้งที่มีการนำไปใช้

2. หลังจากการ กดสวิตช์ OPEN 1 สังเกตผลที่ได้จากโปรแกรมหน้าจอนินเตอร์เฟส และสามารถทราบได้ว่าขณะนี้ส่งค่า 1 ออกพอร์ตอนุกรม จากข้อความที่ปรากฏด้านล่าง “Sending.....1” ดังรูปที่ 4.7 และในรูปที่ 4.8 LED ตัวที่ 1 สว่างแสดงสถานะว่าสวิตช์ช่องที่ 1 ทำงาน



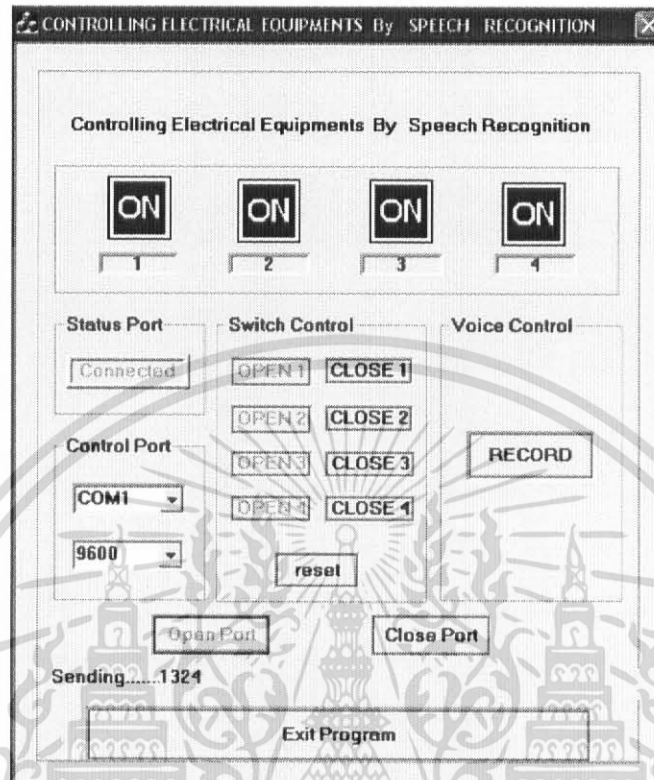
รูปที่ 4.7 แสดงรูปหน้าจอนินเตอร์เฟสหลังจากกดสวิตช์ OPEN 1



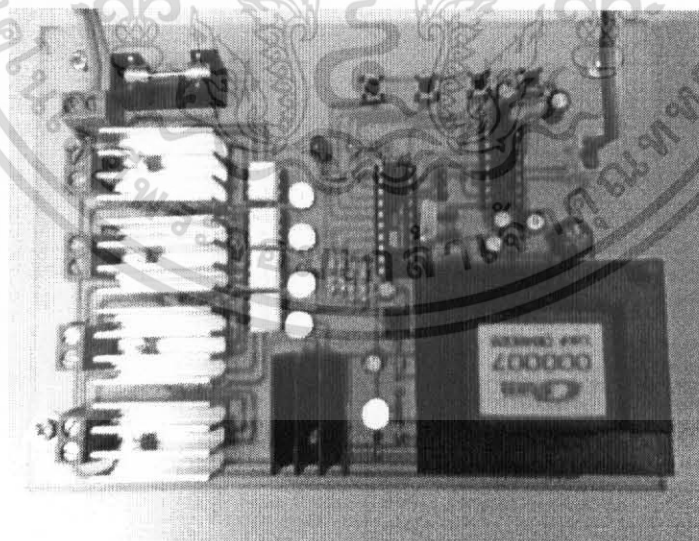
รูปที่ 4.8 แสดงการทำงานของวงจรหลังจากกดสวิตช์ OPEN 1

เอกสารนี้เป็นเอกสารที่สงวนไว้สำหรับการใช้งานเพื่อการศึกษาเท่านั้น ไม่อนุญาตให้นำไปใช้ประโยชน์ด้านการค้า ไม่ว่าจะกรณีใดๆ ทั้งสิ้น อีกทั้งห้ามมิให้ดัดแปลงเนื้อหา และต้องอ้างอิงถึงเจ้าของเอกสารทุกครั้งที่มีการนำไปใช้

3. หลังจากกดสวิตช์ OPEN3 , OPEN2 และ OPEN 4 สังเกตที่ “Sending... 1324” แสดงว่ามีการส่งค่า 1,3,2 และ 4 ตามลำดับ



รูปที่ 4.9 แสดงรูปหน้าจออินเทอร์เน็ตเฟสหลังจากกดสวิตช์ OPEN 2, OPEN 3, OPEN 4



รูปที่ 4.10 แสดงการทำงานของวงจรหลังจากกดสวิตช์ OPEN 2, OPEN 3, OPEN 4

เอกสารนี้เป็นเอกสารที่สงวนไว้สำหรับการใช้งานเพื่อการศึกษาเท่านั้น ไม่อนุญาตให้นำไปใช้ประโยชน์ด้านการค้า ไม่ว่าจะกรณีใดๆ ทั้งสิ้น อีกทั้งห้ามมิให้ดัดแปลงเนื้อหา และต้องอ้างอิงถึงเจ้าของเอกสารทุกครั้งที่มีการนำไปใช้

4.3 การทดลองส่วนของการรู้จำเสียงพูด

ขั้นตอนต่างๆในส่วนของกรรรู้จำ แบ่งเป็น 4 ส่วนใหญ่ๆ ดังนี้

1. ขั้นตอนในการเตรียมสัญญาณเสียง หรือ Signal Preprocessing

ในปฏิญานินพนธ์นี้ ใช้สัญญาณเสียงคำพูดทั้งหมด 9 คำ ได้แก่ เปิดหนึ่ง, เปิดสอง, เปิดสาม, เปิดสี่, ปิดหนึ่ง, ปิดสอง, ปิดสาม, ปิดสี่ และรีเซต จากผู้ชาย 2 คน และผู้หญิง 2 คน คำละ 20 ครั้ง ผ่านกระบวนการปรับเฟรควเ้นซ์ การแบ่งเฟรม และการวินโดว์

2 ขั้นตอนการหาคุณลักษณะพิเศษของเสียง หรือ Feature Measurement

ในปฏิญานินพนธ์นี้ใช้หลักการของ Linear Predictive Coding (LPC) โดยวิธีตัดตัมพันธ์ หรือ Autocorrelation เพื่อหาสัมประสิทธิ์ LPC และสเปกตรัม LPC จากนั้นจะทำการแปลงสเปกตรัม LPC จากสเกลความถี่ไปเป็นสเกลบาร์ค หรือ Critical Band Rate Scale และคำนวณ Critical Band Intensity และใช้ Critical Band Intensity เป็น Feature Measurement ในการสร้างแบบอ้างอิงด้วยวิธีการของ HMM

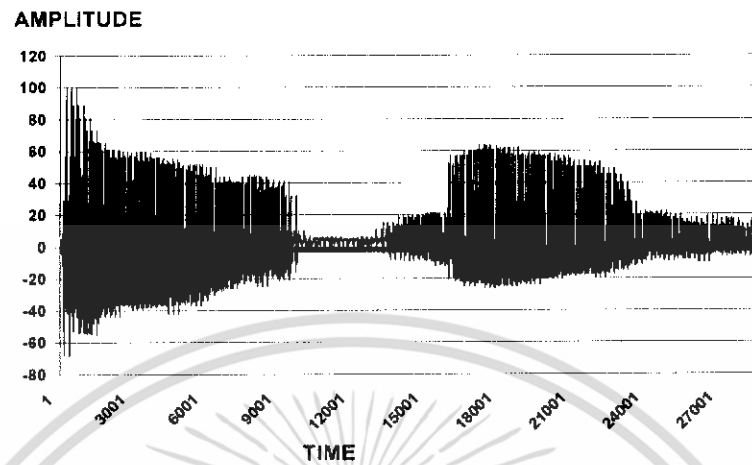
3 ขั้นตอนในการสร้างแบบอ้างอิง และทดสอบแบบอ้างอิงที่ได้สร้างขึ้น

ขั้นตอนนี้จะแบ่งการทดสอบแบบอ้างอิงเป็นสองการทดลองคือ ทดสอบแบบอ้างอิงที่ได้สร้างขึ้นจากผู้สร้างแบบอ้างอิงเอง และทดสอบแบบอ้างอิงที่ได้สร้างขึ้นจากผู้ที่ไม่ได้เป็นผู้สร้างแบบอ้างอิง

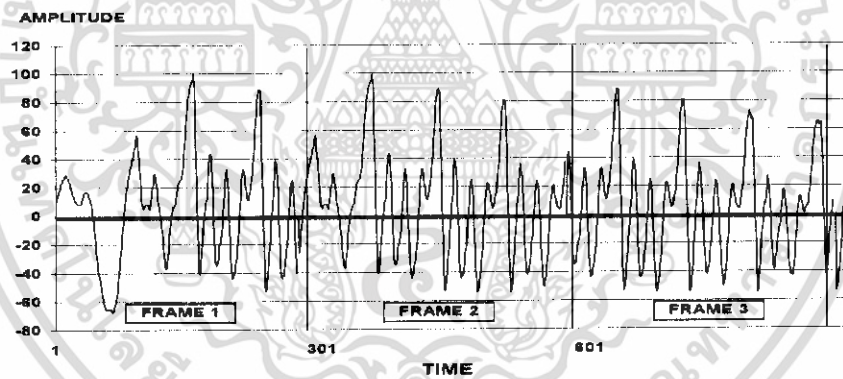
4 ขั้นตอนในการเชื่อมต่อการรู้จำเสียงพูดกับส่วนของฮาร์ดแวร์สวิตช์เปิด ปิด สี่ช่องผ่านพอร์ตอนุกรม

4.4 ผลการทดลองส่วนของการรู้จำเสียงพูด

1. ขั้นตอนในการเตรียมสัญญาณเสียง หรือ Signal Preprocessing

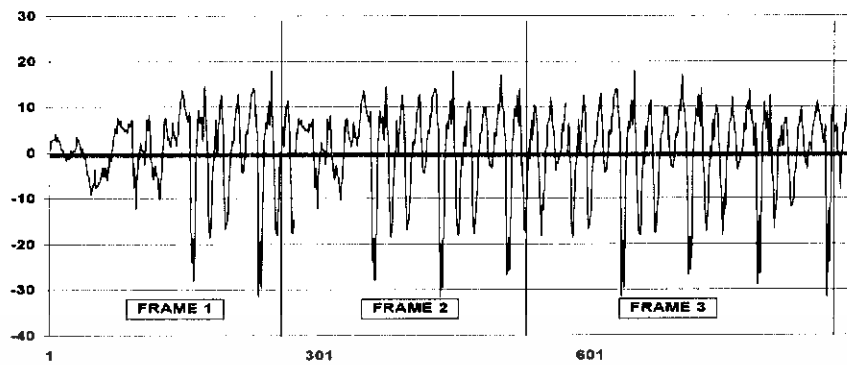


รูปที่ 4.12 แสดงสัญญาณเสียง “เปิด หนังสือ”

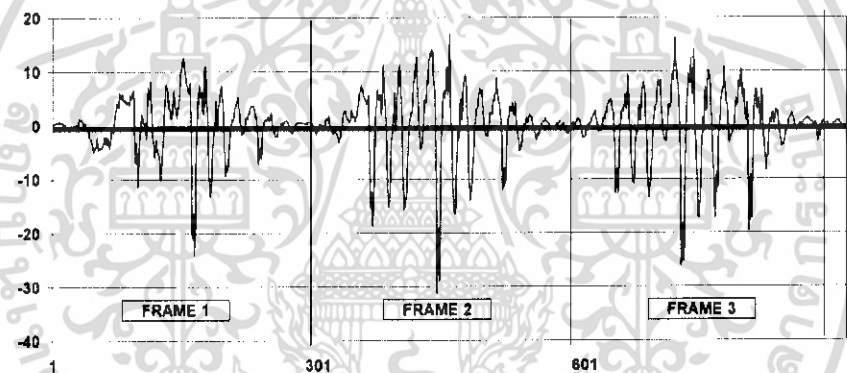


รูปที่ 4.13 แสดงสัญญาณเสียง “เปิด หนังสือ” ในช่วง 900 แซมเปิ้ลแรก

เอกสารนี้เป็นเอกสารที่สงวนไว้สำหรับการใช้งานเพื่อการศึกษาเท่านั้น ไม่อนุญาตให้นำไปใช้ประโยชน์ด้านการค้า ไม่ว่าจะกรณีใดๆ ทั้งสิ้น อีกทั้งห้ามมิให้ดัดแปลงเนื้อหา และต้องอ้างอิงถึงเจ้าของเอกสารทุกครั้งที่มีการนำไปใช้



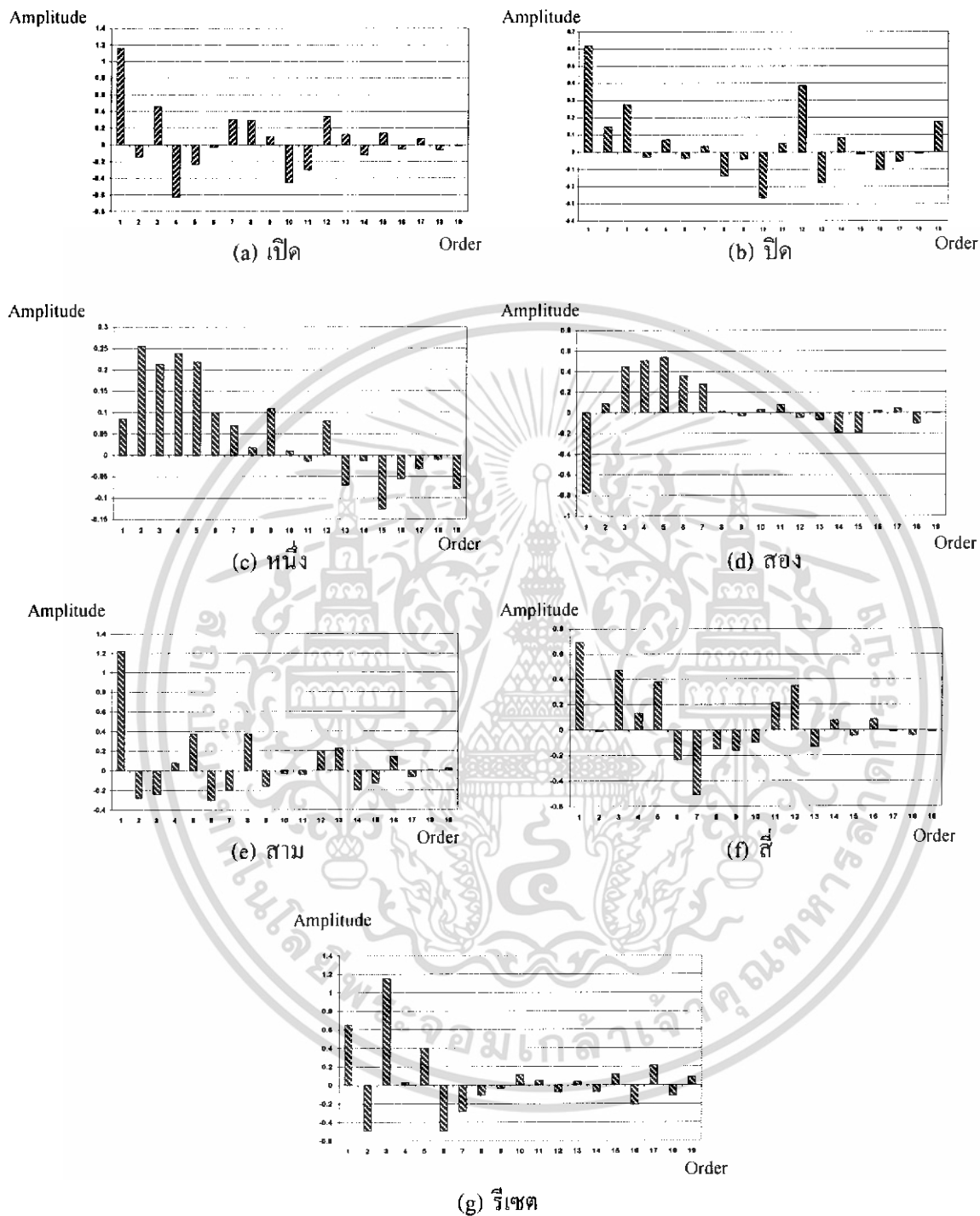
รูปที่ 4.14 แสดงสัญญาณเสียง “เปิด หนึ่ง” หลังจากผ่านกระบวนการพรีเอมฟาซิส



รูปที่ 4.15 แสดงสัญญาณเสียง “เปิด หนึ่ง” หลังจากผ่านกระบวนการแฮมมิงวินโดว์

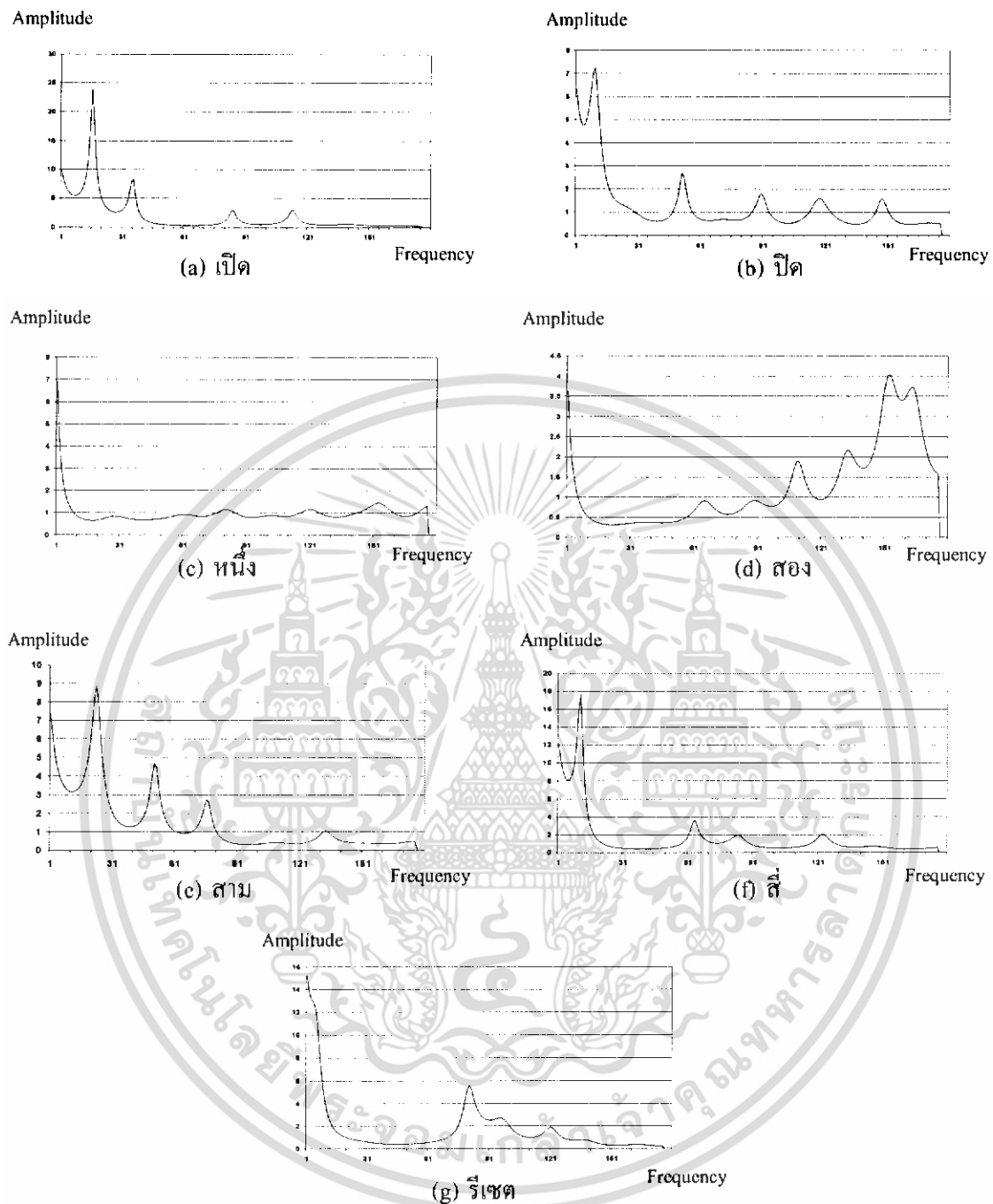
เอกสารนี้เป็นเอกสารที่สงวนไว้สำหรับการใช้งานเพื่อการศึกษาเท่านั้น ไม่อนุญาตให้นำไปใช้ประโยชน์ด้านการค้า ไม่ว่าจะกรณีใดๆ ทั้งสิ้น อีกทั้งห้ามมิให้ดัดแปลงเนื้อหา และต้องอ้างอิงถึงเจ้าของเอกสารทุกครั้งที่มีการนำไปใช้

2 ขั้นตอนการหาคุณลักษณะพิเศษของเสียง หรือ Feature Measurement



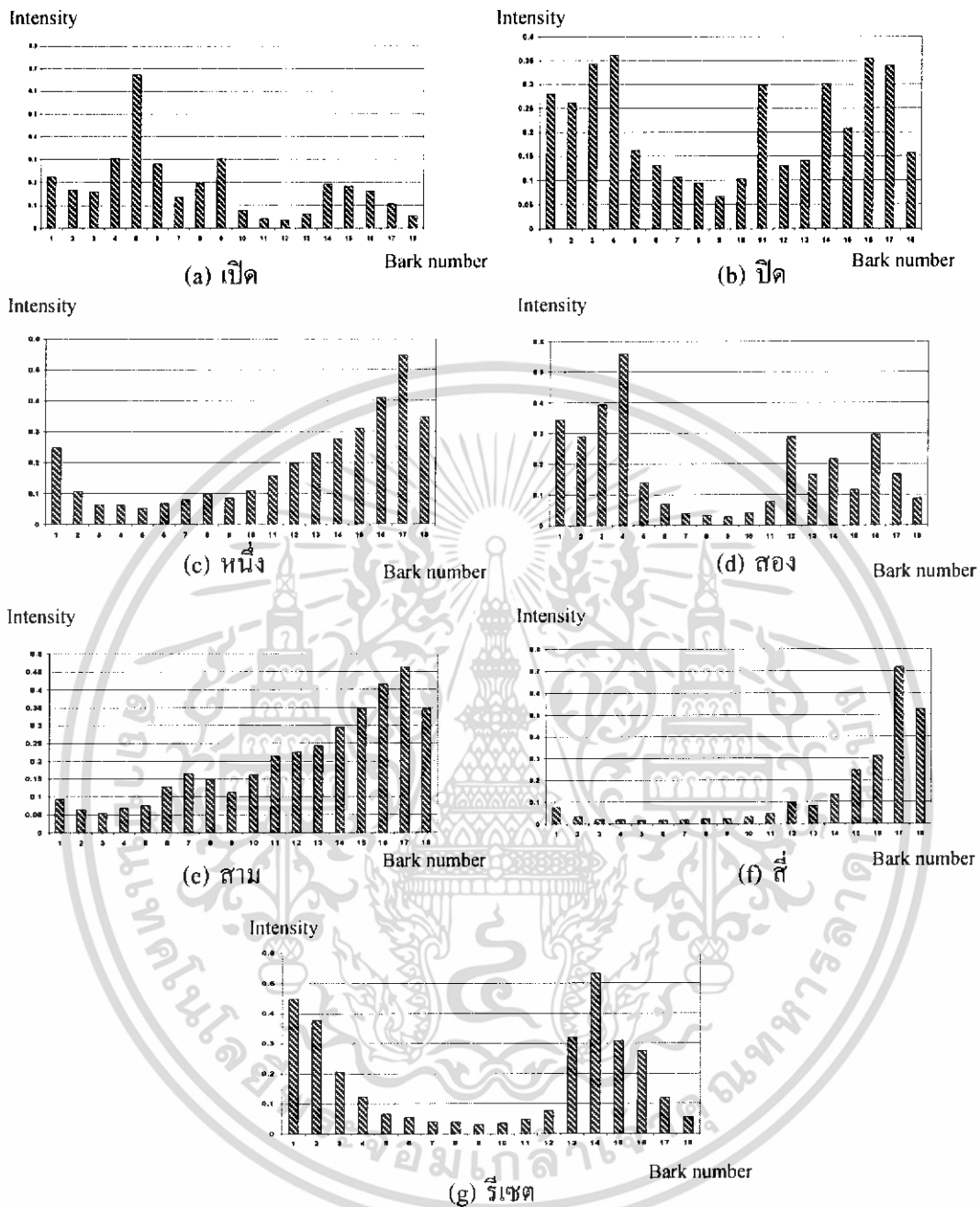
รูปที่ 4.16 แสดงสัมประสิทธิ์ LPC เฟรมที่ 1 ของแต่ละสัญญาณเสียง

เอกสารนี้เป็นเอกสารที่สงวนไว้สำหรับการใช้งานเพื่อการศึกษาเท่านั้น ไม่อนุญาตให้นำไปใช้ประโยชน์ด้านการค้า ไม่ว่าจะกรณีใดๆ ทั้งสิ้น อีกทั้งห้ามมิให้ดัดแปลงเนื้อหา และต้องอ้างอิงถึงเจ้าของเอกสารทุกครั้งที่มีการนำไปใช้



รูปที่ 4.17 แสดงสเปกตรัม LPC เฟรมที่ 1 ของแต่ละสัญญาณเสียง

เอกสารนี้เป็นเอกสารที่สงวนไว้สำหรับการใช้งานเพื่อการศึกษาเท่านั้น ไม่อนุญาตให้นำไปใช้ประโยชน์ด้านการค้า ไม่ว่าจะกรณีใดๆ ทั้งสิ้น อีกทั้งห้ามมิให้ดัดแปลงเนื้อหา และต้องอ้างอิงถึงเจ้าของเอกสารทุกครั้งที่มีการนำไปใช้



รูปที่ 4.18 แสดง Critical Band Intensity บน สเกลบาร์ค เฟรมที่ 1 ของแต่ละสัญญาณเสียง

เอกสารนี้เป็นเอกสารที่สงวนไว้สำหรับการใช้งานเพื่อการศึกษาเท่านั้น ไม่อนุญาตให้นำไปใช้ประโยชน์ด้านการค้า ไม่ว่าจะกรณีใดๆ ทั้งสิ้น อีกทั้งห้ามมิให้ดัดแปลงเนื้อหา และต้องอ้างอิงถึงเจ้าของเอกสารทุกครั้งที่มีการนำไปใช้

จากรูปที่ 4.12 แสดงตัวอย่างสัญญาณเสียงที่เราต้องทำการหาสเปกตรัมแอลพีซีโดยเริ่มต้นเราจะทำการพรีเอมฟาซิสเพื่อให้ความถี่สูงมีขนาดสูงขึ้นดังรูปที่ 4.14 สัญญาณที่ผ่านการพรีเอมฟาซิสแล้วจะถูกตัดออกเป็นช่วง ๆ หรือเฟรม เฟรมละ 300 แซมเปิ้ล โดยช่วงในการวิเคราะห์แต่ละช่วงจะถูกเลื่อนระยะไปครั้งละ 100 แซมเปิ้ล เนื่องจากเสียงพูดช่วงประมาณ 10 – 40 มิลลิวินาที จะอนุโลมได้ว่าสัญญาณเสียงพูดมีความเสถียรไม่แปรเปลี่ยนตามเวลา (Stationary) หรือมีลักษณะที่คงที่นั่นเอง เนื่องจากเราใช้ความถี่ในการสุ่มสัญญาณ 11.025 กิโลเฮิร์ต ดังนั้น

$$\text{ช่วง 30 มิลลิวินาที} \quad N = 30 \times 10^{-3} \times 1 \times 11.025 \times 10^3 \approx 330.75 \approx 300$$

$$\text{ช่วง 10 มิลลิวินาที} \quad M = 10 \times 10^{-3} \times 1 \times 11.025 \times 10^3 \approx 110.25 \approx 100$$

จากนั้นจึงทำการวินโดว์เพื่อลดความไม่ต่อเนื่องของสัญญาณที่บริเวณขอบโดยการใช้แฮมมิงวินโดว์ซึ่งจะได้ผลตามรูปที่ 4.15 แล้วจึงนำสัญญาณที่ผ่านการวินโดว์ไปทำการคำนวณหาสัมประสิทธิ์แอลพีซีตามที่กล่าวมาแล้วในหัวข้อ 2.4 ซึ่งจะได้สัมประสิทธิ์แอลพีซีดังรูป 4.16

สำหรับอันดับในการคำนวณสเปกตรัมแอลพีซีนั้นหากใช้อันดับต่ำก็จะทำให้การคำนวณเร็วขึ้น แต่ก็จะทำให้สเปกตรัมแอลพีซีแสดงรายละเอียดน้อยลงและส่งผลให้การคำนวณ Critical Band Intensity ผิดพลาดด้วย แต่ถ้าคำนวณแอลพีซีที่อันดับสูงมากก็จะทำให้การคำนวณซับซ้อนเกินความจำเป็น ได้มีผู้ทำการทดลองเพื่อหาความสัมพันธ์ระหว่างความผิดพลาดของการคำนวณ Critical Band Intensity กับอันดับการคำนวณแอลพีซี ดังแสดงตามรูปที่ 2.12 ซึ่งเห็นได้ว่าให้ผลที่สอดคล้องกันคือการคำนวณแอลพีซีที่ก่อให้เกิดประสิทธิภาพสูงสุดควรอยู่ที่อันดับที่ 19 ($p = 19$)

สัญญาณที่อยู่ในย่านความถี่ 5.5 กิโลเฮิร์ตนั้นจะอยู่ในบาร์คที่ 18 ซึ่งแสดงว่าจำนวนแถบความถี่ที่สามารถนำมาใช้ในการรู้จำมีทั้งหมด 18 แถบความถี่ และทำการคำนวณความเข้มในแต่ละแถบความถี่วิกฤตทั้ง 18 แถบความถี่วิกฤตก็จะได้จำนวนบาร์คทั้งหมด 18 ค่า สำหรับสัญญาณเสียงแต่ละเฟรมซึ่งเราสามารถนำไปใช้เป็นองค์ประกอบของ Feature Vector เพื่อที่จะใช้ในการสร้างแบบอ้างอิง

การใช้สเกลบาร์คนั้นช่วยให้สามารถแสดงการตอบสนองต่อความถี่ต่างๆของการได้ยินของมนุษย์ ได้เป็นเชิงเส้นตลอดช่วงความถี่ที่มนุษย์สามารถได้ยิน จึงทำการแสดงสเปกตรัมแอลพีซีบนสเกลบาร์คและใช้ความเข้มของสัญญาณในแต่ละแถบความถี่วิกฤตเป็นองค์ประกอบของเวกเตอร์แทนหน่วยเสียง

3. ขั้นตอนตอนการทดสอบแบบอ้างอิง

ตารางที่ 4.1 ผลการทดสอบแบบอ้างอิงจากผู้พูดในกรณีต่างๆ

	เปิด1	เปิด2	เปิด3	เปิด4	ปิด1	ปิด2	ปิด3	ปิด4	รีเซต	%
เปิด1	80	0	0	0	0	0	0	0	0	100
เปิด2	0	73	3	0	0	2	2	0	0	91.25
เปิด3	0	2	74	1	0	2	1	0	0	92.5
เปิด4	0	1	2	71	2	0	3	1	0	88.75
ปิด1	3	0	0	1	76	0	0	0	0	95
ปิด2	0	4	0	0	0	73	3	0	0	91.25
ปิด3	0	2	5	0	0	2	69	2	0	91.25
ปิด4	2	1	0	3	0	0	0	70	4	87.5
รีเซต	1	0	0	0	0	0	0	2	77	96.25
MEAN										92.18

(a) ผู้พูดเป็นผู้สร้างแบบเสียงอ้างอิง

	เปิด1	เปิด2	เปิด3	เปิด4	ปิด1	ปิด2	ปิด3	ปิด4	รีเซต	%
เปิด1	33	2	1	0	4	0	0	0	0	82.5
เปิด2	0	25	5	3	0	4	1	2	0	62.5
เปิด3	2	0	27	4	0	2	3	2	0	67.5
เปิด4	0	0	2	30	0	1	3	4	0	75
ปิด1	2	0	0	0	32	0	0	2	4	80
ปิด2	0	4	3	1	0	29	3	0	0	72.5
ปิด3	0	0	5	0	3	0	28	3	1	70
ปิด4	0	0	0	4	0	5	2	22	0	72.5
รีเซต	0	0	0	2	0	2	0	0	27	90
MEAN										72.81

(b) ผู้พูดไม่ได้เป็นผู้สร้างแบบเสียงอ้างอิง

เอกสารนี้เป็นเอกสารที่สงวนไว้สำหรับการใช้งานเพื่อการศึกษาเท่านั้น ไม่อนุญาตให้นำไปใช้ประโยชน์ด้านการค้า ไม่ว่าจะกรณีใดๆ ทั้งสิ้น อีกทั้งห้ามมิให้ดัดแปลงเนื้อหา และต้องอ้างอิงถึงเจ้าของเอกสารทุกครั้งที่มีการนำไปใช้

ผลการทดสอบแบบอ้างอิงโดยผู้พูดที่เป็นผู้สร้างแบบอ้างอิงในตารางที่ 4.1(a) นั้นได้เปอร์เซ็นต์ความถูกต้องรวมอยู่ที่ประมาณ 92.18 เปอร์เซ็นต์ โดยคำว่า เปิด หนึ่ง และ รีเซต มีความถูกต้องสูง ส่วนคำที่มีลักษณะใกล้เคียงกันมาก เช่น ปิดสอง ปิดสาม หรือ เปิดสอง จะมีความถูกต้องที่ต่ำกว่า อาจเนื่องมาจากลักษณะของคำที่มีสัญญาณเสียงที่แตกต่างกันอย่างไม่ชัดเจนนั่นเอง

ส่วนผลการทดสอบแบบอ้างอิงโดยผู้พูดที่ไม่ได้เป็นผู้สร้างแบบอ้างอิง นั้นในตารางที่ 4.1(b) จะให้เปอร์เซ็นต์ความถูกต้อง ที่ต่ำกว่า คือ ให้เปอร์เซ็นต์ความถูกต้องอยู่ที่ประมาณ 72.81 เปอร์เซ็นต์ แต่ในคำว่าเปิดหนึ่งและรีเซต ยังคงให้เปอร์เซ็นต์ความถูกต้องที่สูงเช่นเดิม



เอกสารนี้เป็นเอกสารที่สงวนไว้สำหรับการใช้งานเพื่อการศึกษาเท่านั้น ไม่อนุญาตให้นำไปใช้ประโยชน์ด้านการค้า ไม่ว่าจะกรณีใดๆ ทั้งสิ้น อีกทั้งห้ามมิให้ดัดแปลงเนื้อหา และต้องอ้างอิงถึงเจ้าของเอกสารทุกครั้งที่มีการนำไปใช้

บทที่ 5

บทสรุปและวิจารณ์

ในส่วนของฮาร์ดแวร์ จากการทดลองพบว่าวงจรที่ออกแบบสามารถควบคุมการเปิดปิดอุปกรณ์ไฟฟ้า เช่น หลอดไฟ, พัดลม หรือ โคมไฟได้จริง ซึ่งในวงจรนี้ สามารถเลือกการควบคุมได้ 2 ทางคือ เลือกการควบคุมโดยสวิทช์ในวงจร หรือควบคุมด้วยเสียงผ่านพอร์ตอนุกรมของคอมพิวเตอร์ส่วนบุคคล

ในส่วนของซอฟต์แวร์ เมื่อสัญญาณเสียงที่เป็นข้อมูลดิบในการวิเคราะห์ผ่านกระบวนการต่างๆจนได้ค่าสัมประสิทธิ์แอลพีซีแล้ว จากนั้นจะนำสัมประสิทธิ์แอลพีซีไปแสดงบนสเกลบาร์ค และทำการคำนวณหาความเข้มสัญญาณในแต่ละแถบความถี่วิกฤตบนสเกลบาร์คแล้วจึงนำความเข้มของสัญญาณในทุกแถบความถี่วิกฤต ซึ่งในจำนวนนี้มี 18 แถบความถี่วิกฤต มาใช้เป็น Feature Vector

ส่วนในการทดสอบโมเดลอ้างอิงที่สร้างขึ้นด้วยวิธีการของ HMM นั้นได้แบ่งเป็น 2 แบบ คือ การทดสอบจากผู้พูดที่เป็นผู้สร้างแบบอ้างอิง และการทดสอบจากผู้พูดที่ไม่ได้เป็นผู้สร้างแบบอ้างอิง ซึ่งให้ค่าความถูกต้อง ในการรู้จำประมาณ 92.18 และ 72.81 เปอร์เซ็นต์ ตามลำดับ โดยความผิดพลาดส่วนใหญ่จะเกิดขึ้นจากคำพูดที่มีลักษณะที่ใกล้เคียงกัน ซึ่งจากผลการทดลองจะพบความผิดพลาดในคำว่า ปิดสวิตซ์ ปิดสอง ซึ่งคำว่า สี่ และสอง มีลักษณะที่คล้ายกันมาก เป็นต้น

ปัญหาที่พบในการทดลอง

ในส่วนของฮาร์ดแวร์

1. พิวส์ที่ใช้ในวงจรจะต้องมีการคำนวณให้เหมาะสมกับกระแสของโหลดทั้งหมด
2. การใช้แผ่นระบายความร้อน ที่มีขนาดเหมาะสมเพื่อป้องกันไม่ให้ไดรแอกหรืออื่นจนเกิดความเสียหาย
3. ในการใช้งานจริง ถ้าระดับแรงดันไม่คงที่ เช่น การเกิดไฟตก หรือการเปลี่ยนระดับแรงดันของอุปกรณ์ไฟฟ้า จะทำให้วงจรไม่สามารถทำงานได้

ในส่วนซอฟต์แวร์

1. ปัญหาที่สำคัญที่สุดคือ วิธีการในการอัดเสียงที่ใช้เป็นข้อมูลดิบนั้น ต้องมีสัญญาณรบกวนที่น้อยที่สุด อีกทั้งยังต้องพูดให้อยู่ในช่วงเวลาตามที่กำหนดไว้ด้วย
2. การใช้ค่าในการทดลองมีความใกล้เคียงกันบ้างบางค่าทำให้การตัดสินใจเลือกแบบอ้างอิงมีความถูกต้องลดลง
3. ในการออกเสียงคำสั่งจะต้องพูดด้วยน้ำเสียงปกติและชัดเจนเพื่อความถูกต้องในการประมวลผล

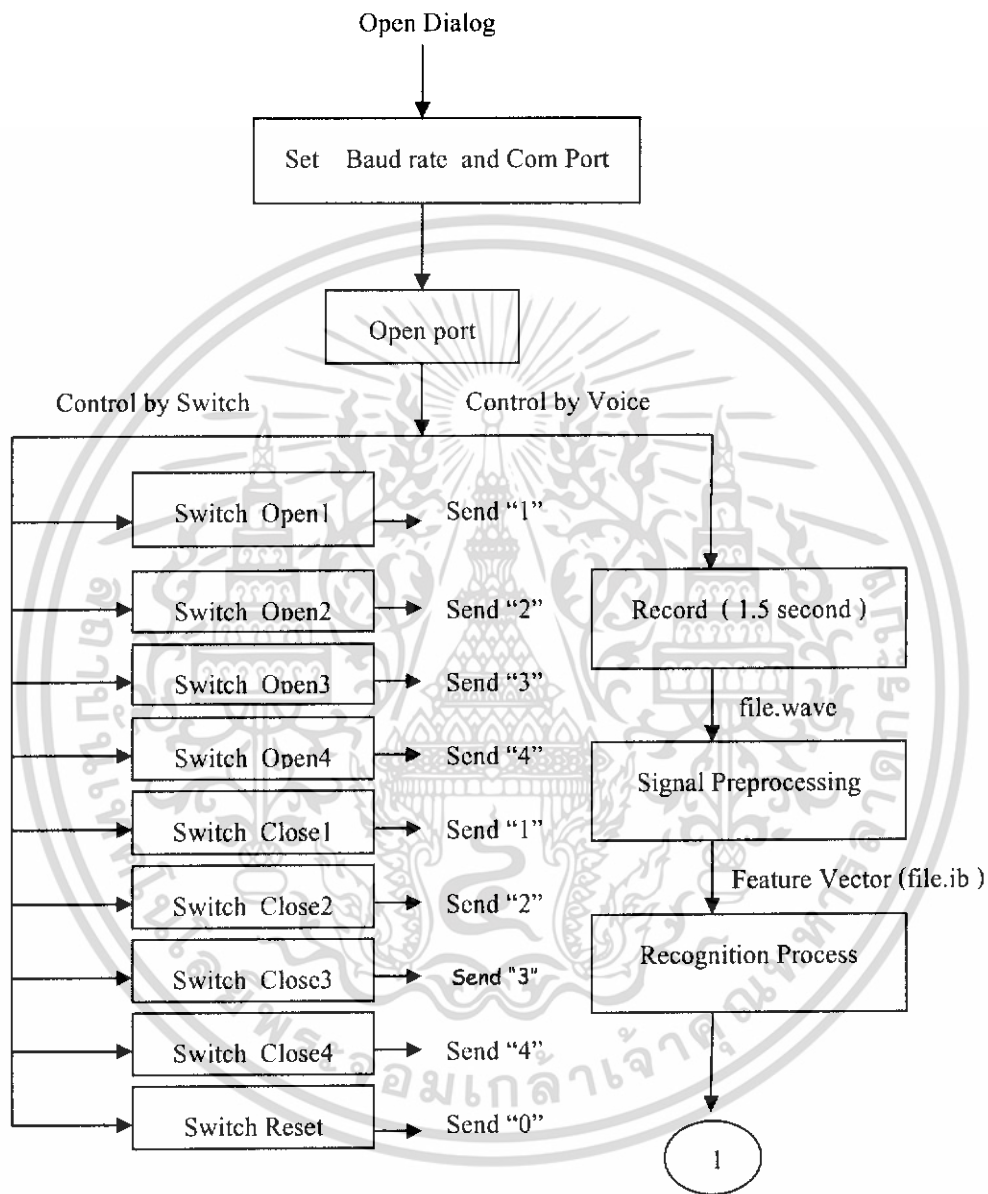
หนังสืออ้างอิง

- [1] วรา คงควิจุฑุรย์. “การรู้จำเสียงสระเสียงเดี่ยวในภาษาไทยโดยใช้ทรานส์เฟอร์ฟังก์ชันบนสเกลบาร์ท”, วิทยานิพนธ์วิศวกรรมศาสตรมหาบัณฑิต สาขาวิศวกรรมไฟฟ้า บัณฑิตวิทยาลัย, สถาบันเทคโนโลยีพระจอมเกล้าเจ้าคุณทหารลาดกระบัง, 2542.
- [2] ทศเวท วีระวัฒน์. “การรู้จำเสียงคำไทยเฉพาะบุคคล” วิทยานิพนธ์วิศวกรรมศาสตรมหาบัณฑิต สาขาวิศวกรรมไฟฟ้า บัณฑิตวิทยาลัย, สถาบันเทคโนโลยีพระจอมเกล้าเจ้าคุณทหารลาดกระบัง, 2541.
- [3] วิไลวรรณ ขนิษฐนันท์. “ภาษาและภาษาศาสตร์”, พิมพ์ครั้งที่ 5. กรุงเทพฯ: สำนักพิมพ์มหาวิทยาลัยธรรมศาสตร์, 2533.
- [4] สุนทร อรอินทร์, อัฐ เครือฟัก. “การประมวลเสียงพูดโดยการประมาณเชิงเส้น”, วิทยานิพนธ์ภาควิศวกรรมไฟฟ้า สาขาวิชาวิศวกรรมโทรคมนาคม คณะวิศวกรรมศาสตร์ สถาบันเทคโนโลยีพระจอมเกล้าเจ้าคุณทหารลาดกระบัง, 2538.
- [5] กัญจน์ สิทธิประเสริฐ. “การแยกสระเสียงสั้น และสระเสียงยาวในภาษาไทยโดยใช้การฟิตเคิร์ฟพหุนามอันดับสอง บนฟังก์ชันพลังงานเสียง”, วิทยานิพนธ์วิศวกรรมศาสตรมหาบัณฑิต สาขาวิศวกรรมไฟฟ้า บัณฑิตวิทยาลัย, สถาบันเทคโนโลยีพระจอมเกล้าเจ้าคุณทหารลาดกระบัง, 2547
- [6] นงนุช สุขตั้งมั่น. “การรู้จำสระเสียงเดี่ยวและสระเสียงประสมในภาษาไทยโดยใช้สเปกตรัม แอลพีซีบนสเกลบาร์ท”, วิทยานิพนธ์วิศวกรรมศาสตรมหาบัณฑิต สาขาวิศวกรรมไฟฟ้า บัณฑิตวิทยาลัย, สถาบันเทคโนโลยีพระจอมเกล้าเจ้าคุณทหารลาดกระบัง, 2547

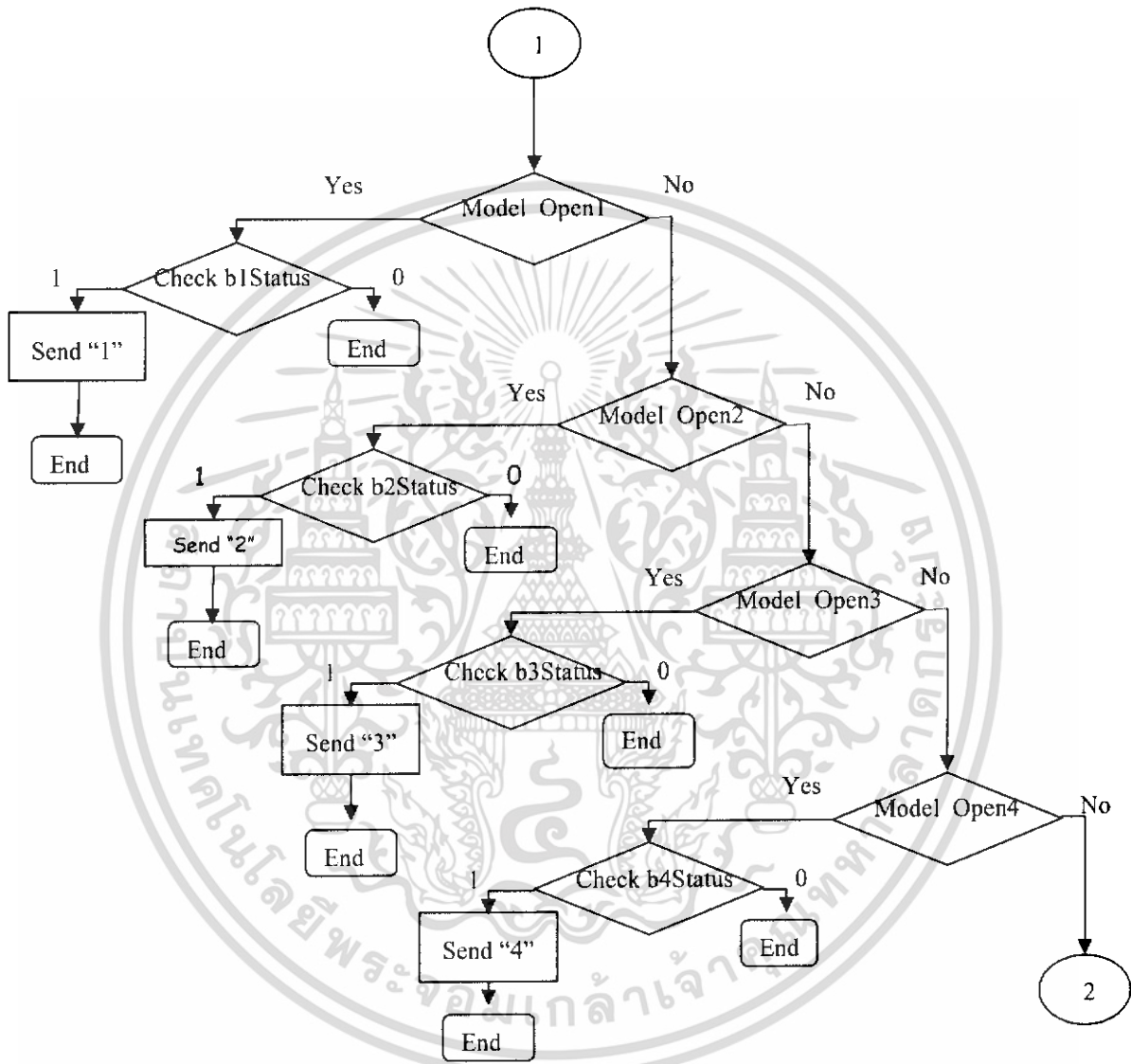


ภาคผนวก

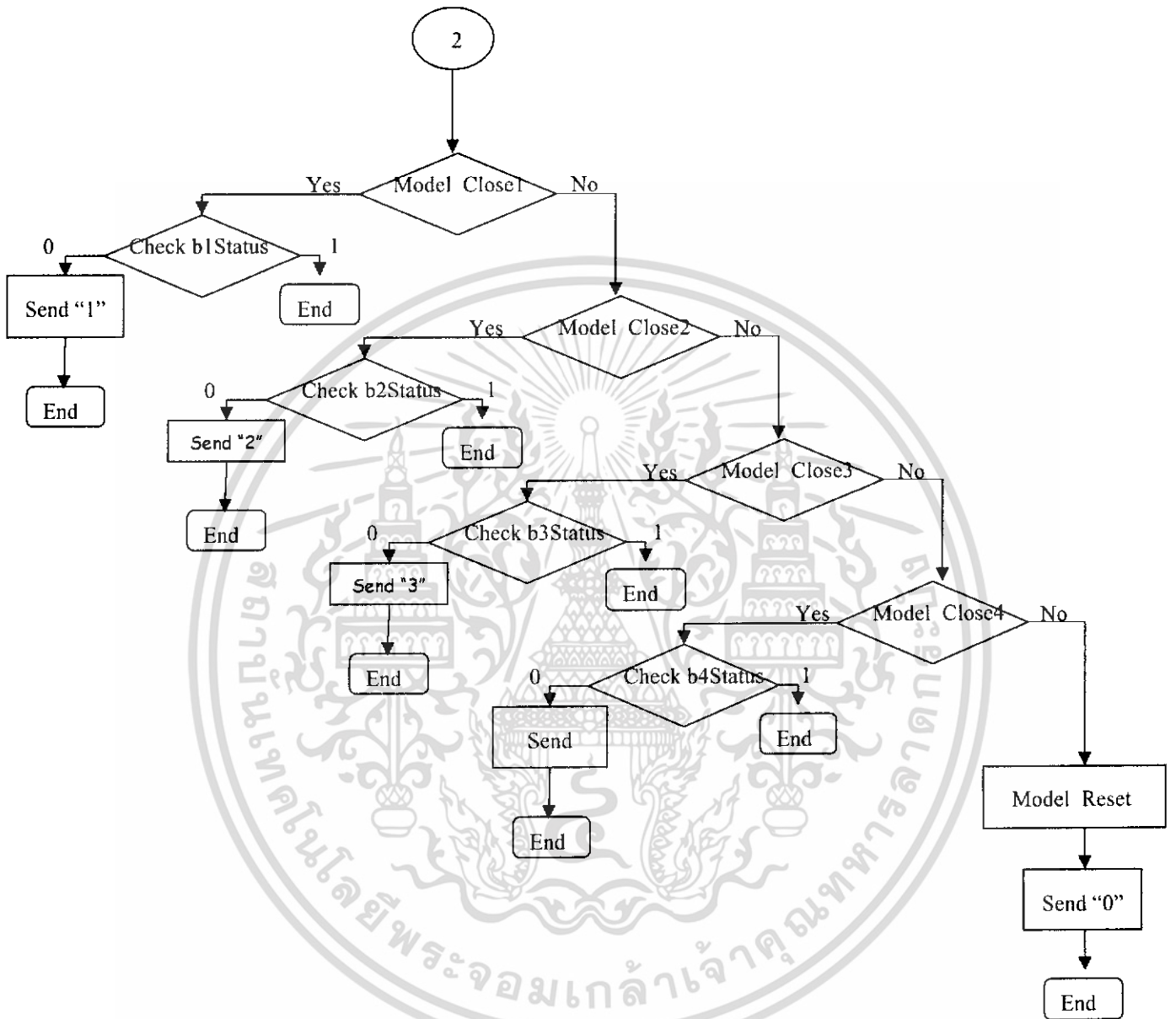
เอกสารนี้เป็นเอกสารที่สงวนไว้สำหรับการใช้งานเพื่อการศึกษาเท่านั้น ไม่อนุญาตให้นำไปใช้ประโยชน์ด้านการค้า
ไม่ว่ากรณีใดๆ ทั้งสิ้น อีกทั้งห้ามมิให้ดัดแปลงเนื้อหา และต้องอ้างอิงถึงเจ้าของเอกสารทุกครั้งที่มีการนำไปใช้



เอกสารนี้เป็นเอกสารที่สงวนไว้สำหรับการใช้งานเพื่อการศึกษาเท่านั้น ไม่อนุญาตให้นำไปใช้ประโยชน์ด้านการค้า
ไม่ว่ากรณีใดๆ ทั้งสิ้น อีกทั้งห้ามมิให้ดัดแปลงเนื้อหา และต้องอ้างอิงถึงเจ้าของเอกสารทุกครั้งที่มีการนำไปใช้

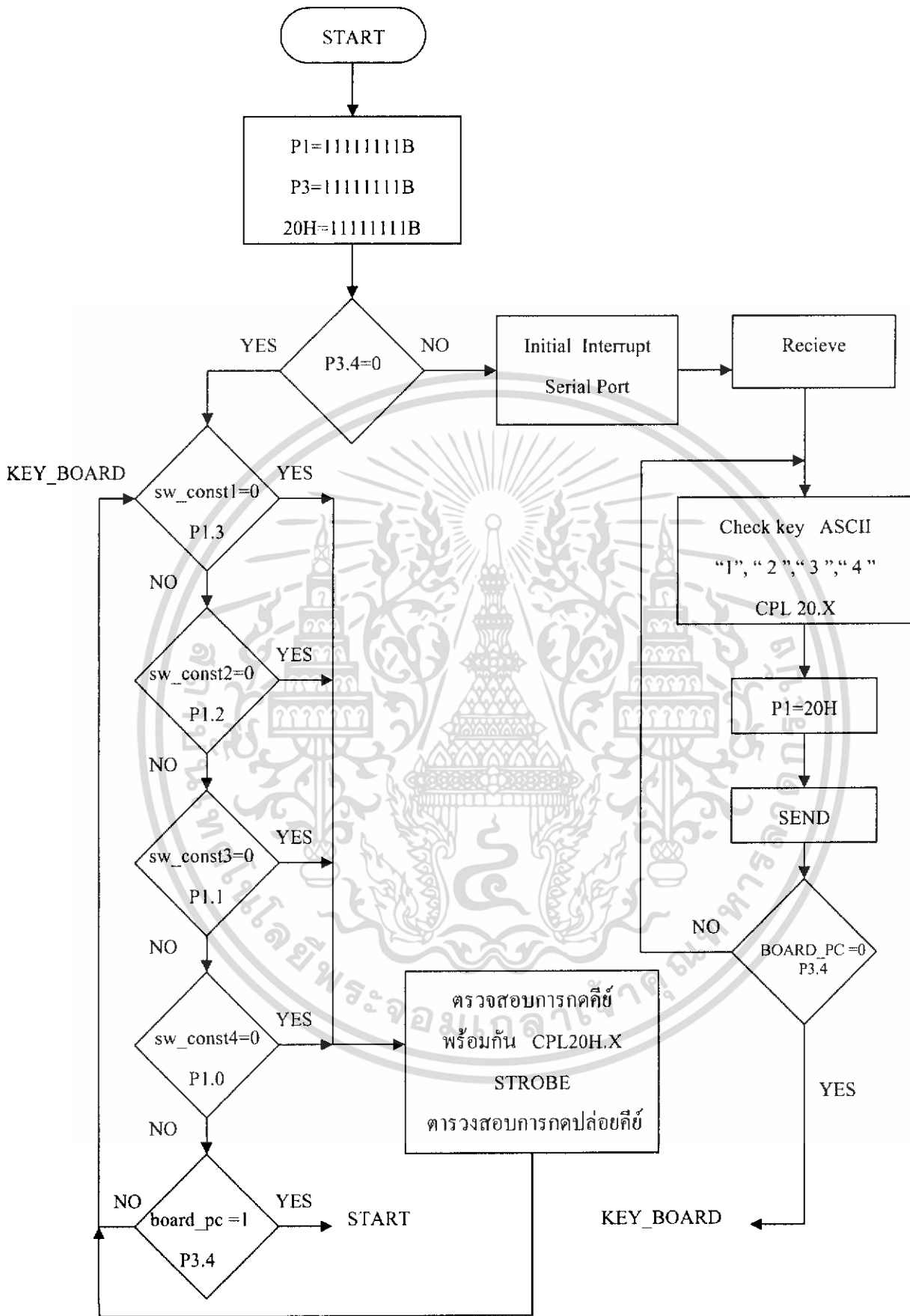


เอกสารนี้เป็นเอกสารที่สงวนไว้สำหรับการใช้งานเพื่อการศึกษาเท่านั้น ไม่อนุญาตให้นำไปใช้ประโยชน์ด้านการค้า
ไม่ว่ากรณีใดๆ ทั้งสิ้น อีกทั้งห้ามมิให้ดัดแปลงเนื้อหา และต้องอ้างอิงถึงเจ้าของเอกสารทุกครั้งที่มีการนำไปใช้



Flow chart แสดงขั้นตอนการทำงานของโครงการนี้

เอกสารนี้เป็นเอกสารที่สงวนไว้สำหรับการใช้งานเพื่อการศึกษาเท่านั้น ไม่อนุญาตให้นำไปใช้ประโยชน์ด้านการค้า ไม่ว่าจะกรณีใดๆ ทั้งสิ้น อีกทั้งห้ามมิให้ดัดแปลงเนื้อหา และต้องอ้างอิงถึงเจ้าของเอกสารทุกครั้งที่มีการนำไปใช้



Flow chart แสดงขั้นตอนการทำงานของโปรแกรมสวิตช์เปิดปิด 4 ช่อง

เอกสารนี้เป็นเอกสารที่สงวนไว้สำหรับการใช้งานเพื่อการศึกษาเท่านั้น ไม่อนุญาตให้นำไปใช้ประโยชน์ด้านการค้า ไม่ว่าจะกรณีใดๆ ทั้งสิ้น อีกทั้งห้ามมิให้ดัดแปลงเนื้อหา และต้องอ้างอิงถึงเจ้าของเอกสารทุกครั้งที่มีการนำไปใช้

```

;*****
;***** RS232 AND MCS 51 CONTROL PORT *****
;*****
LOAD1      BIT          07H
LOAD2      BIT          06H
LOAD3      BIT          05H
LOAD4      BIT          04H
STORBE     BIT          P3.7
SW_CONT1   BIT          P1.3
SW_CONT2   BIT          P1.2
SW_CONT3   BIT          P1.1
SW_CONT4   BIT          P1.0
BOARD_PC   BIT          P3.4
CR         EQU          0DH
LF         EQU          0AH
;*****
ORG        0000H
START:     MOV          P1,#0FFH
           MOV          P3,#0FFH
           MOV          20H,#0FFH
           JNB         BOARD_PC,KEY_BOARD
           ACALL        INIT
           MOV          DPTR,#SHOW
           ACALL        DISPLAY
MAIN:      ACALL        RECEIVE
           ;ACALL       SEND
           JNB         BOARD_PC,KEY_BOARD
           SJMP        MAIN
;*****
INIT:      ;MOV         IE,#00000000B
           ;MOV         TL1,#0FDH
           MOV          PCON,#00H
           MOV          SCON,#50H
           MOV          TMOD,#20H
           MOV          TH1,#0FDH
           SETB        TR1
           RET
CHECK_KEY: CJNE        R1,#31H,LOAD_2
           CPL          LOAD1
           ACALL        SIG_STORBE
           SJMP        END_CHK
LOAD_2:    CJNE        R1,#32H,LOAD_3
           CPL          LOAD2
           ACALL        SIG_STORBE
           SJMP        END_CHK
LOAD_3:    CJNE        R1,#33H,LOAD_4
           CPL          LOAD3
           ACALL        SIG_STORBE
           SJMP        END_CHK
LOAD_4:    CJNE        R1,#34H,CLR_DATA
           CPL          LOAD4
CLR_DATA:  CJNE        R1,#30H,END_CHK
           MOV          20H,#0FFH
           ACALL        SIG_STORBE
END_CHK:   MOV          P1,20H
           RET

```

เอกสารนี้เป็นเอกสารลิขสิทธิ์ของมหาวิทยาลัยเทคโนโลยีพระจอมเกล้าเจ้าคุณทหารลาดกระบัง
 ไม่ควรเผยแพร่โดยไม่ได้รับอนุญาต
 ไม่ควรนำเอกสารนี้ไปใช้ประโยชน์ด้านการค้า
 ไม่ว่ากรณีใดๆ ทั้งสิ้น อีกทั้งห้ามมิให้ดัดแปลงเนื้อหา และต้องอ้างอิงถึงเจ้าของเอกสารทุกครั้งที่มีการนำไปใช้

```

KEY_BOARD:  MOV      P1,20H
SW_1:      JNB      SW_CONT1,CHK_LOAD1
SW_2:      JNB      SW_CONT2,CHK_LOAD2
SW_3:      JNB      SW_CONT3,CHK_LOAD3
SW_4:      JNB      SW_CONT4,CHK_LOAD4
           JB       BOARD_PC,START
           SJMP     SW_1
CHK_LOAD1: ACALL    DELAY_D
           JB       SW_CONT1,SW_2
           JNB     SW_CONT2,SW_1
           JNB     SW_CONT3,SW_1
           JNB     SW_CONT4,SW_1
           CPL     LOAD1
           ACALL   SIG_STORBE
           JNB     SW_CONT1,$
           SJMP   KEY_BOARD
CHK_LOAD2: ACALL    DELAY_D
           JB       SW_CONT2,SW_3
           JNB     SW_CONT1,SW_1
           JNB     SW_CONT3,SW_1
           JNB     SW_CONT4,SW_1
           CPL     LOAD2
           ACALL   SIG_STORBE
           JNB     SW_CONT2,$
           SJMP   KEY_BOARD
CHK_LOAD3: ACALL    DELAY_D
           JB       SW_CONT3,SW_4
           JNB     SW_CONT1,SW_1
           JNB     SW_CONT2,SW_1
           JNB     SW_CONT4,SW_1
           CPL     LOAD3
           ACALL   SIG_STORBE
           JNB     SW_CONT3,$
           SJMP   KEY_BOARD
CHK_LOAD4: ACALL    DELAY_D
           JB       SW_CONT4,SW_1
           JNB     SW_CONT1,SW_1
           JNB     SW_CONT2,SW_1
           JNB     SW_CONT3,SW_1
           CPL     LOAD4
           ACALL   SIG_STORBE
           JNB     SW_CONT4,$
           SJMP   KEY_BOARD
;*****
SIG_STORBE: CLR     STORBE
           ACALL   DELAY_D
           SETB   STORBE
           RET
;*****
;*** RECEIVE DATA FORM RS232 TO MCS51 *****
;*****
RECEIVE:   JNB     RI,$
           CLR     RI
           MOV     A,SBUF
           ACALL   SEND
           MOV     R1,A
           ACALL   CHECK_KEY
           RET

```

เอกสารนี้เป็นเอกสารที่จัดทำขึ้นไว้สำหรับการใช้งานเพื่อการศึกษาเท่านั้น ไม่อนุญาตให้นำไปใช้ประโยชน์ด้านการค้า
ไม่ว่ากรณีใดๆ ทั้งสิ้น อีกทั้งห้ามมิให้ดัดแปลงเนื้อหา และต้องอ้างอิงถึงเจ้าของเอกสารทุกครั้งที่มีการนำไปใช้

```

;*****
;***** SENT DATA FROM MCS51 TO RS232 *****
;*****
SEND:      MOV          SBUF,A
           JNB          TI,$
           CLR          TI
           RET

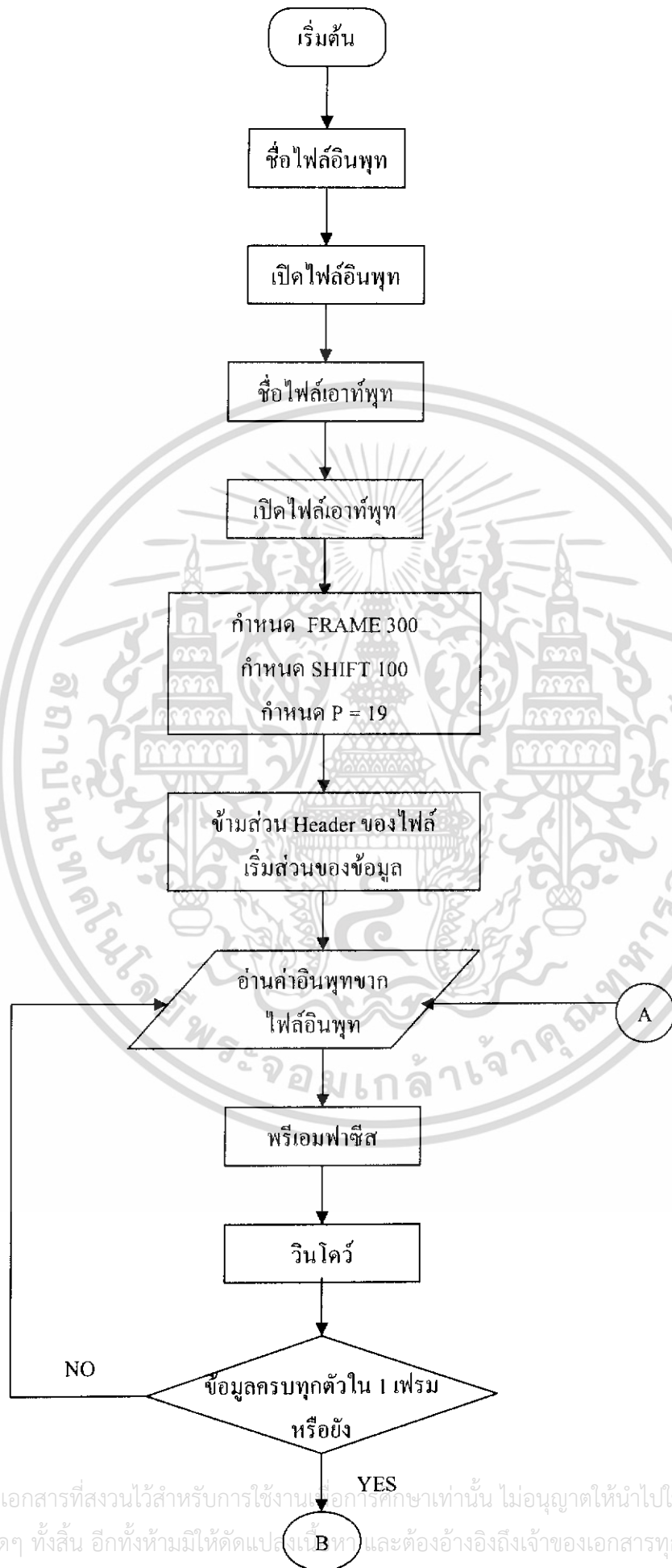
;*****
DELAY_D:   MOV          R1,#90H
DELAY_1:   MOV          R2,#0FFH
           DJNZ         R2,$
           DJNZ         R1,DELAY_1
           RET

;*****
DISPLAY:   MOV          A,#00
           MOVC         A,@A+DPTR
           ACALL        SEND
           INC          DPTR
           JZ           END_SHOW
           SJMP        DISPLAY
END_SHOW:  RET
SHOW:     DB            CR,LF,'VOICE RECONITION BY 4A',CR,LF
           DB            00H
           END

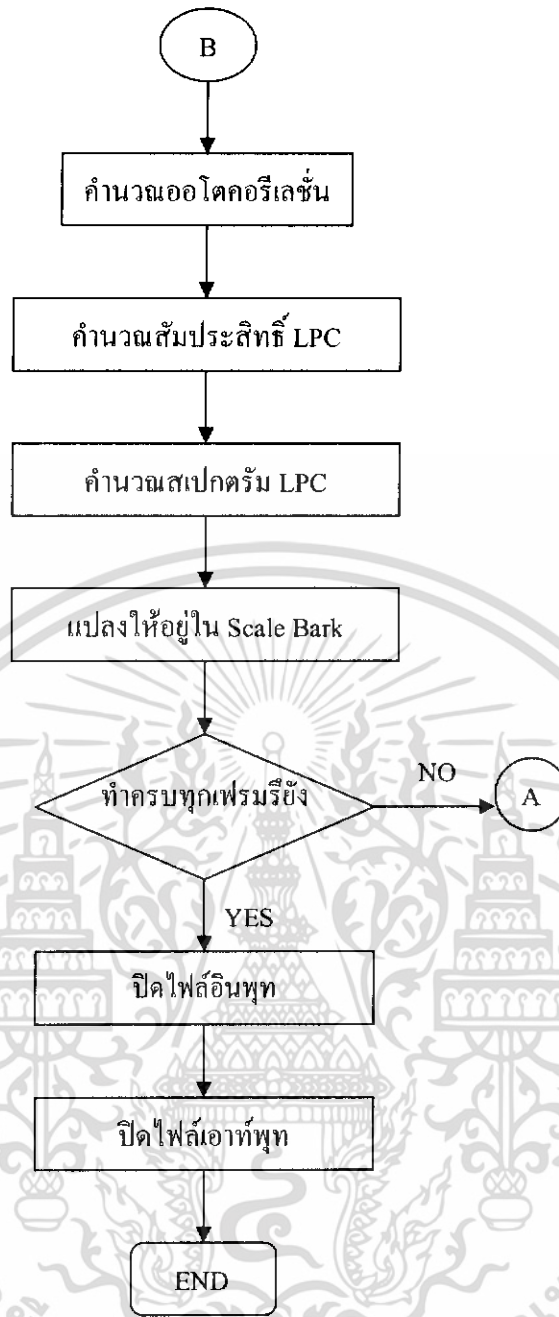
```



เอกสารนี้เป็นเอกสารที่สงวนไว้สำหรับการใช้งานเพื่อการศึกษาเท่านั้น ไม่อนุญาตให้นำไปใช้ประโยชน์ด้านการค้า
ไม่ว่ากรณีใดๆ ทั้งสิ้น อีกทั้งห้ามมิให้ดัดแปลงเนื้อหา และต้องอ้างอิงถึงเจ้าของเอกสารทุกครั้งที่มีการนำไปใช้



เอกสารนี้เป็นเอกสารที่สงวนไว้สำหรับการใช้งานเพื่อการศึกษเท่านั้น ไม่อนุญาตให้นำไปใช้ประโยชน์ด้านการค้า
ไม่ว่ากรณีใดๆ ทั้งสิ้น อีกทั้งห้ามมิให้ดัดแปลงแก้ไข และต้องอ้างอิงถึงเจ้าของเอกสารทุกครั้งที่มีการนำไปใช้



Flow chart แสดงขั้นตอนการหาค่า Feature Vector

เอกสารนี้เป็นเอกสารที่สงวนไว้สำหรับการใช้งานเพื่อการศึกษาเท่านั้น ไม่อนุญาตให้นำไปใช้ประโยชน์ด้านการค้า ไม่ว่าจะกรณีใดๆ ทั้งสิ้น อีกทั้งห้ามมิให้ตัดแปลงเนื้อหา และต้องอ้างอิงถึงเจ้าของเอกสารทุกครั้งที่มีการนำไปใช้

Features

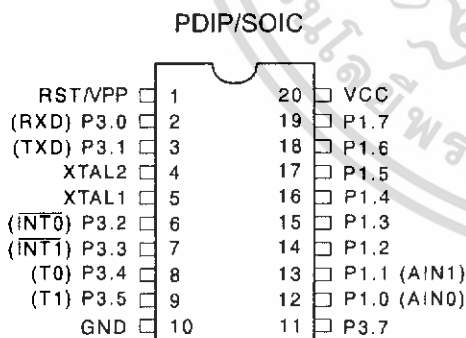
- Compatible with MCS-51™ Products
- 2K Bytes of Reprogrammable Flash Memory
 - Endurance: 1,000 Write/Erase Cycles
- 2.7V to 6V Operating Range
- Fully Static Operation: 0 Hz to 24 MHz
- Two-Level Program Memory Lock
- 128 x 8-Bit Internal RAM
- 15 Programmable I/O Lines
- Two 16-Bit Timer/Counters
- Six Interrupt Sources
- Programmable Serial UART Channel
- Direct LED Drive Outputs
- On-Chip Analog Comparator
- Low Power Idle and Power Down Modes

Description

The AT89C2051 is a low-voltage, high-performance CMOS 8-bit microcomputer with 2K Bytes of Flash programmable and erasable read only memory (PEROM). The device is manufactured using Atmel's high density nonvolatile memory technology and is compatible with the industry standard MCS-51™ instruction set. By combining a versatile 8-bit CPU with Flash on a monolithic chip, the Atmel AT89C2051 is a powerful microcomputer which provides a highly flexible and cost effective solution to many embedded control applications.

The AT89C2051 provides the following standard features: 2K Bytes of Flash, 128 bytes of RAM, 15 I/O lines, two 16-bit timer/counters, a five vector two-level interrupt architecture, a full duplex serial port, a precision analog comparator, on-chip oscillator and clock circuitry. In addition, the AT89C2051 is designed with static logic for operation down to zero frequency and supports two software selectable power saving modes. The Idle Mode stops the CPU while allowing the RAM, timer/counters, serial port and interrupt system to continue functioning. The Power Down Mode saves the RAM contents but freezes the oscillator disabling all other chip functions until the next hardware reset.

Pin Configuration



8-Bit Microcontroller with 2K Bytes Flash

AT89C2051

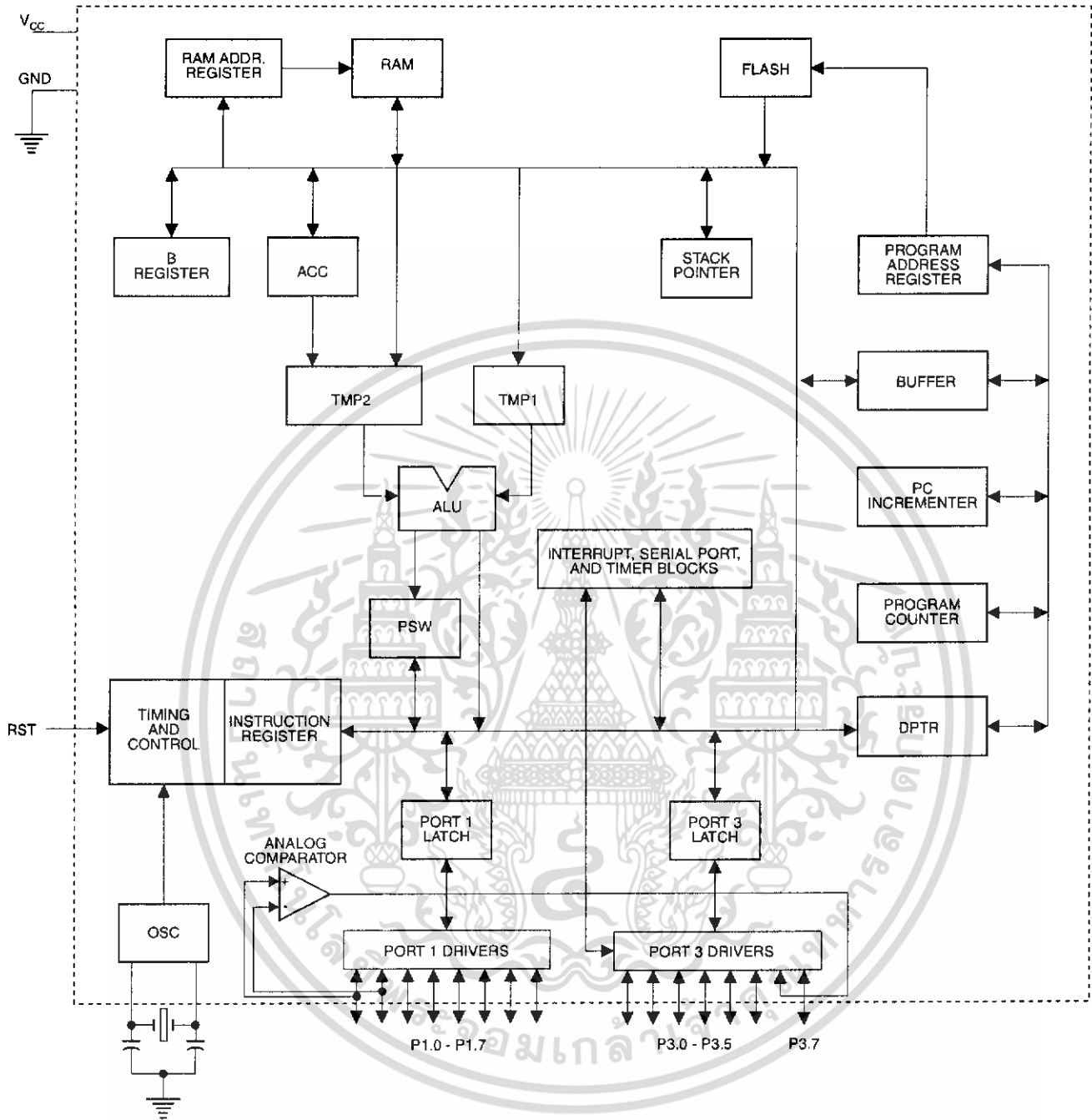
0368D-B-12/97



4-15

เอกสารนี้เป็นเอกสารที่สงวนไว้สำหรับการใช้งานเพื่อการศึกษาเท่านั้น ไม่อนุญาตให้นำไปใช้ประโยชน์ด้านการค้า
ไม่ว่ากรณีใดๆ ทั้งสิ้น อีกทั้งห้ามมิให้ดัดแปลงเนื้อหา และต้องอ้างอิงถึงเจ้าของเอกสารทุกครั้งที่มีการนำไปใช้

Block Diagram



Pin Description

V_{CC}
Supply voltage.

GND
Ground.

Port 1

Port 1 is an 8-bit bidirectional I/O port. Port pins P1.2 to P1.7 provide internal pullups. P1.0 and P1.1 require external pullups. P1.0 and P1.1 also serve as the positive input (AIN0) and the negative input (AIN1), respectively, of the on-chip precision analog comparator. The Port 1 output buffers can sink 20 mA and can drive LED displays directly. When 1s are written to Port 1 pins, they can be used as inputs. When pins P1.2 to P1.7 are used as inputs and are externally pulled low, they will source current (I_{IL}) because of the internal pullups.

Port 1 also receives code data during Flash programming and verification.

Port 3

Port 3 pins P3.0 to P3.5, P3.7 are seven bidirectional I/O pins with internal pullups. P3.6 is hard-wired as an input to the output of the on-chip comparator and is not accessible as a general purpose I/O pin. The Port 3 output buffers can sink 20 mA. When 1s are written to Port 3 pins they are pulled high by the internal pullups and can be used as inputs. As inputs, Port 3 pins that are externally being pulled low will source current (I_{IL}) because of the pullups.

Port 3 also serves the functions of various special features of the AT89C2051 as listed below:

Port Pin	Alternate Functions
P3.0	RXD (serial input port)
P3.1	TXD (serial output port)
P3.2	INT0 (external interrupt 0)
P3.3	INT1 (external interrupt 1)
P3.4	T0 (timer 0 external input)
P3.5	T1 (timer 1 external input)

Port 3 also receives some control signals for Flash programming and verification.

RST

Reset input. All I/O pins are reset to 1s as soon as RST goes high. Holding the RST pin high for two machine cycles while the oscillator is running resets the device.

Each machine cycle takes 12 oscillator or clock cycles.

XTAL1

Input to the inverting oscillator amplifier and input to the internal clock operating circuit.

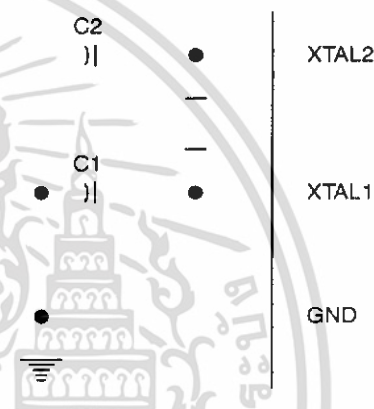
XTAL2

Output from the inverting oscillator amplifier.

Oscillator Characteristics

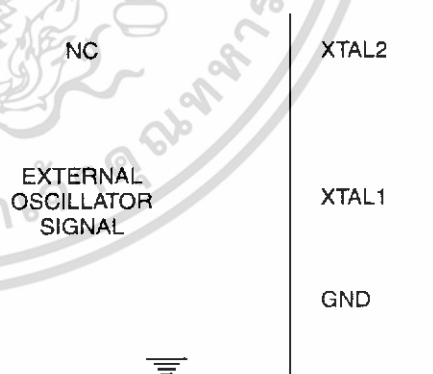
XTAL1 and XTAL2 are the input and output, respectively, of an inverting amplifier which can be configured for use as an on-chip oscillator, as shown in Figure 1. Either a quartz crystal or ceramic resonator may be used. To drive the device from an external clock source, XTAL2 should be left unconnected while XTAL1 is driven as shown in Figure 2. There are no requirements on the duty cycle of the external clock signal, since the input to the internal clocking circuitry is through a divide-by-two flip-flop, but minimum and maximum voltage high and low time specifications must be observed.

Figure 1. Oscillator Connections



Note: C1, C2 = 30 pF ± 10 pF for Crystals
= 40 pF ± 10 pF for Ceramic Resonators

Figure 2. External Clock Drive Configuration



Special Function Registers

A map of the on-chip memory area called the Special Function Register (SFR) space is shown in the table below.

Note that not all of the addresses are occupied, and unoccupied addresses may not be implemented on the chip. Read accesses to these addresses will in general return random data, and write accesses will have an indeterminate effect.

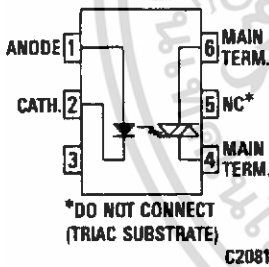
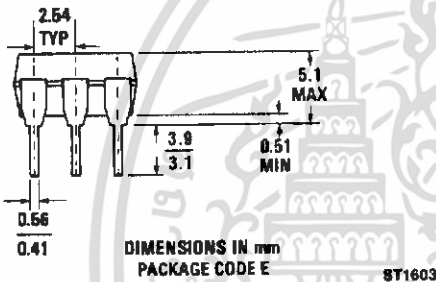
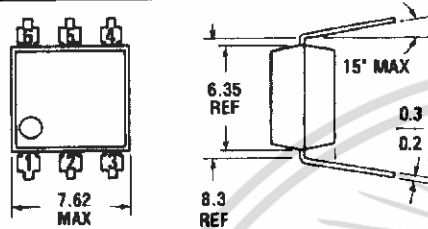
User software should not write 1s to these unlisted locations, since they may be used in future products to invoke new features. In that case, the reset or inactive values of the new bits will always be 0.

Table 1. AT89C2051 SFR Map and Reset Values

0F8H								0FFH
0F0H	B 00000000							0F7H
0E8H								0EFH
0E0H	ACC 00000000							0E7H
0D8H								0DFH
0D0H	PSW 00000000							0D7H
0C8H								0CFH
0C0H								0C7H
0B8H	IP XXX00000							0BFH
0B0H	P3 11111111							0B7H
0A8H	IE 0XX00000							0AFH
0A0H								0A7H
98H	SCON 00000000	SBUF XXXXXXXX						9FH
90H	P1 11111111							97H
88H	TCON 00000000	TMOD 00000000	TL0 00000000	TL1 00000000	TH0 00000000	TH1 00000000		8FH
80H		SP 00000111	DPL 00000000	DPH 00000000			PCON 0XXX0000	87H

**MOC3020 MOC3021
MOC3022 MOC3023**

PACKAGE DIMENSIONS



Equivalent Circuit

DESCRIPTION

The MOC3020, MOC3021, MOC3022 and MOC3023 are optically isolated triac driver devices. These devices contain a GaAs infrared emitting diode and a light activated silicon bilateral switch, which functions like a triac. This is designed for interfacing between electronic controls and power triacs to control resistive and inductive loads for 240 VAC operations.

FEATURES

- Excellent I_r stability—IR emitting diode has low degradation
- High isolation voltage—minimum 7500 VAC peak
- Underwriters Laboratory (UL) recognized—File #E90700

APPLICATIONS

- European applications for 240 VAC
- Triac driver
- Industrial controls
- Traffic lights
- Vending machines
- Motor control
- Solid state relay

ABSOLUTE MAXIMUM RATINGS	
TOTAL PACKAGE	INPUT DIODE
Storage temperature -55°C to 150°C	Forward DC current 50 mA
Operating temperature -40°C to 100°C	Reverse voltage 3 V
Lead temperature	Peak forward current
(soldering, 10 sec) 260°C	(1 μ s pulse, 300 pps) 3.0 A
	Power dissipation (25°C ambient) 100 mW
	Derate linearly (above 25°C ambient) 1.33 mW/°C
	OUTPUT DRIVER
	Off-state output terminal voltage 400 Volts
	On-state RMS current $T_a=25^\circ\text{C}$ 100 mA
	(Full cycle, 50 to 60 Hz) $T_a=70^\circ\text{C}$ 50 mA
	Peak nonrepetitive surge current 1.2 A
	(PW=10 ms, DC=10%)
	Total power dissipation (25°C ambient) 300 mW
	Derate above 25°C 4.0 mW/°C

ELECTRO-OPTICAL CHARACTERISTICS (25°C Temperature Unless Otherwise Specified)
INDIVIDUAL COMPONENT CHARACTERISTICS

CHARACTERISTIC	SYMBOL	MIN.	TYP.	MAX.	UNITS	TEST CONDITIONS
INPUT DIODE						
Forward voltage	V_f		1.2	1.50	V	$I_f = 10 \text{ mA}$
Junction capacitance	C_j		50		pF	$V_f = 0 \text{ V}, f = 1 \text{ MHz}$
Reverse leakage current	I_r			100	μA	$V_r = 3.0 \text{ V}$
OUTPUT DETECTOR						
Peak blocking current, either direction	I_{OBV}	—	10	100	nA	$V_{\text{OBV}} = 400 \text{ V}$, Note 1
Peak on-state voltage, either direction	V_{TM}	—	2.5	3.0	Volts	$I_{\text{TM}} = 100 \text{ mA Peak}$

Note 1. Test voltage must be applied within dv/dt rating.

TRANSFER CHARACTERISTICS

DC CHARACTERISTICS	SYMBOL	MIN.	TYP.	MAX.	UNITS	TEST CONDITIONS
LED trigger current (current required to latch output)	MOC3020	I_{FT}	—	30	mA	Main terminal voltage = 3.0 V, $R_L = 150\Omega$
	MOC3021	I_{FT}	—	15	mA	
	MOC3022	I_{FT}	—	10	mA	
	MOC3023	I_{FT}	—	5	mA	
Holding current	I_H	—	100	—	μA	Either direction

TRANSFER CHARACTERISTICS

CHARACTERISTICS	SYMBOL	MIN.	TYP.	MAX.	UNITS	TEST CONDITIONS
dv/dt RATING						
Critical rate of rise of off-state voltage	dv/dt	—	12	—	V/ μs	Static dv/dt, $T_A = 85^\circ\text{C}$ (see Fig. 3)
Critical rate of rise of commutating voltage	dv/dt	—	0.2	—	V/ μs	Commutating dv/dt, $I_{\text{LOAD}} = 15 \text{ mA}$ (see Fig. 4)

ISOLATION CHARACTERISTICS

CHARACTERISTICS	SYMBOL	MIN.	TYP.	MAX.	UNITS	TEST CONDITIONS
Isolation voltage	V_{ISO}	5300			$V_{\text{AC-RMS}}$	$I_{\text{IO}} < 1 \mu\text{A}$, 1 Minute
	V_{ISO}	7500			$V_{\text{AC-PEAK}}$	$I_{\text{IO}} < 1 \mu\text{A}$, 1 Minute
Isolation resistance	R_{ISO}	10^{11}			ohms	$V_{\text{IO}} = 500 \text{ VDC}$
Isolation capacitance	C_{ISO}		0.5		pF	$f = 1 \text{ MHz}$

Note 1: Ratings apply to either polarity of pin 6 — referenced to pin 4. Voltages must be applied within dv/dt rating.

เอกสารนี้เป็นเอกสารที่สงวนไว้สำหรับการใช้งานเพื่อการศึกษาเท่านั้น ไม่อนุญาตให้นำไปใช้ประโยชน์ด้านการค้า ไม่ว่าจะกรณีใดๆ ทั้งสิ้น อีกทั้งห้ามมิให้ดัดแปลงเนื้อหา และต้องอ้างอิงถึงเจ้าของเอกสารทุกครั้งที่มีการนำไปใช้

TYPICAL ELECTRICAL CHARACTERISTIC CURVES
(25°C Free Air Temperature Unless Otherwise Specified)

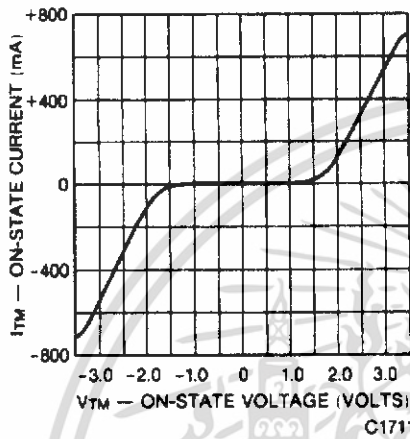


Fig. 1. On-State Characteristics

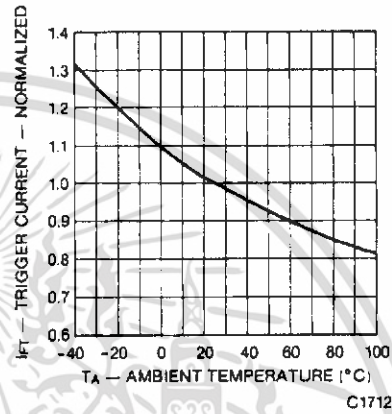


Fig. 2. Trigger Current vs. Temperature

TEST CIRCUITS FOR dV/dt MEASUREMENTS

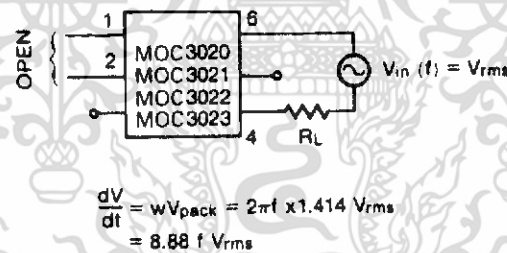


Fig. 3. Static dV/dt

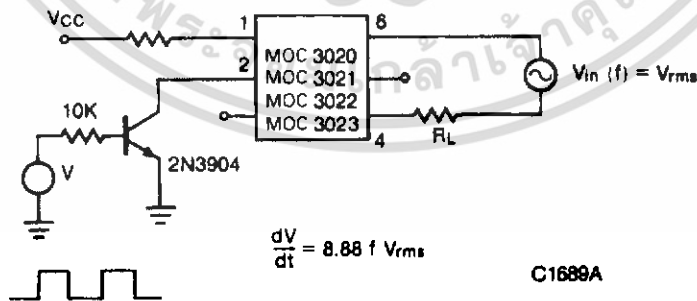


Fig. 4. Commutating dV/dt

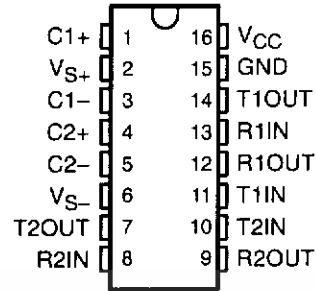
เอกสารนี้เป็นเอกสารที่สงวนไว้สำหรับการใช้งานเพื่อการศึกษาเท่านั้น ไม่อนุญาตให้นำไปใช้ประโยชน์ด้านการค้า ไม่ว่าจะกรณีใดๆ ทั้งสิ้น อีกทั้งห้ามมิให้ดัดแปลงเนื้อหา และต้องอ้างอิงถึงเจ้าของเอกสารทุกครั้งที่มีการนำไปใช้

MAX232, MAX232I DUAL EIA-232 DRIVERS/RECEIVERS

SLLS0471 – FEBRUARY 1989 – REVISED OCTOBER 2002

- Meet or Exceed TIA/EIA-232-F and ITU Recommendation V.28
- Operate With Single 5-V Power Supply
- Operate Up to 120 kbit/s
- Two Drivers and Two Receivers
- ± 30 -V Input Levels
- Low Supply Current . . . 8 mA Typical
- Designed to be Interchangeable With Maxim MAX232
- ESD Protection Exceeds JESD 22 – 2000-V Human-Body Model (A114-A)
- Applications
 - TIA/EIA-232-F
 - Battery-Powered Systems
 - Terminals
 - Modems
 - Computers

MAX232 . . . D, DW, N, OR NS PACKAGE
MAX232I . . . D, DW, OR N PACKAGE
(TOP VIEW)



description/ordering information

The MAX232 is a dual driver/receiver that includes a capacitive voltage generator to supply EIA-232 voltage levels from a single 5-V supply. Each receiver converts EIA-232 inputs to 5-V TTL/CMOS levels. These receivers have a typical threshold of 1.3 V and a typical hysteresis of 0.5 V, and can accept ± 30 -V inputs. Each driver converts TTL/CMOS input levels into EIA-232 levels. The driver, receiver, and voltage-generator functions are available as cells in the Texas Instruments LinASIC™ library.

ORDERING INFORMATION

TA	PACKAGE†		ORDERABLE PART NUMBER	TOP-SIDE MARKING
0°C to 70°C	PDIP (N)	Tube	MAX232N	MAX232N
	SOIC (D)	Tube	MAX232D	MAX232
		Tape and reel	MAX232DR	
	SOIC (DW)	Tube	MAX232DW	MAX232
		Tape and reel	MAX232DWR	
SOP (NS)	Tape and reel	MAX232NSR	MAX232	
-40°C to 85°C	PDIP (N)	Tube	MAX232IN	MAX232IN
	SOIC (D)	Tube	MAX232ID	MAX232I
		Tape and reel	MAX232IDR	
	SOIC (DW)	Tube	MAX232IDW	MAX232I
		Tape and reel	MAX232IDWR	

† Package drawings, standard packing quantities, thermal data, symbolization, and PCB design guidelines are available at www.ti.com/sc/package.



Please be aware that an important notice concerning availability, standard warranty, and use in critical applications of Texas Instruments semiconductor products and disclaimers thereto appears at the end of this data sheet.

LinASIC is a trademark of Texas Instruments.

PRODUCTION DATA information is current as of publication date. Products conform to specifications per the terms of Texas Instruments standard warranty. Production processing does not necessarily include testing of all parameters.

Copyright © 2002, Texas Instruments Incorporated

**TEXAS
INSTRUMENTS**

POST OFFICE BOX 855303 • DALLAS, TEXAS 75265

เอกสารนี้เป็นเอกสารที่สงวนไว้สำหรับการใช้งานเพื่อการศึกษาเท่านั้น ไม่อนุญาตให้นำไปใช้ประโยชน์ด้านการค้า
ไม่ว่ากรณีใดๆ ทั้งสิ้น อีกทั้งห้ามมิให้ดัดแปลงเนื้อหา และต้องอ้างอิงถึงเจ้าของเอกสารทุกครั้งที่มีการนำไปใช้

MAX232, MAX232I DUAL EIA-232 DRIVERS/RECEIVERS

SLLS047I – FEBRUARY 1989 – REVISED OCTOBER 2002

Function Tables

EACH DRIVER

INPUT TIN	OUTPUT TOUT
L	H
H	L

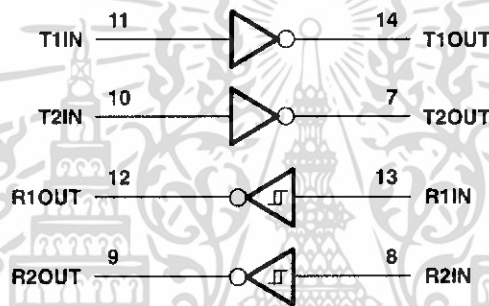
H = high level, L = low level

EACH RECEIVER

INPUT RIN	OUTPUT ROUT
L	H
H	L

H = high level, L = low level

logic diagram (positive logic)



MAX232, MAX232I DUAL EIA-232 DRIVERS/RECEIVERS

SLLS047I – FEBRUARY 1989 – REVISED OCTOBER 2002

absolute maximum ratings over operating free-air temperature range (unless otherwise noted)†

Input supply voltage range, V_{CC} (see Note 1)	-0.3 V to 6 V
Positive output supply voltage range, V_{S+}	$V_{CC} - 0.3$ V to 15 V
Negative output supply voltage range, V_{S-}	-0.3 V to -15 V
Input voltage range, V_I : Driver	-0.3 V to $V_{CC} + 0.3$ V
Receiver	± 30 V
Output voltage range, V_O : T1OUT, T2OUT	$V_{S-} - 0.3$ V to $V_{S+} + 0.3$ V
R1OUT, R2OUT	-0.3 V to $V_{CC} + 0.3$ V
Short-circuit duration: T1OUT, T2OUT	Unlimited
Package thermal impedance, θ_{JA} (see Note 2): D package	73°C/W
DW package	57°C/W
N package	67°C/W
NS package	64°C/W
Lead temperature 1,6 mm (1/16 inch) from case for 10 seconds	260°C
Storage temperature range, T_{stg}	-65°C to 150°C

† Stresses beyond those listed under "absolute maximum ratings" may cause permanent damage to the device. These are stress ratings only, and functional operation of the device at these or any other conditions beyond those indicated under "recommended operating conditions" is not implied. Exposure to absolute-maximum-rated conditions for extended periods may affect device reliability.

- NOTE 1: All voltage values are with respect to network ground terminal.
2. The package thermal impedance is calculated in accordance with JESD 51-7.

recommended operating conditions

		MIN	NOM	MAX	UNIT
V_{CC}	Supply voltage	4.5	5	5.5	V
V_{IH}	High-level input voltage (T1IN, T2IN)	2			V
V_{IL}	Low-level input voltage (T1IN, T2IN)			0.8	V
R1IN, R2IN	Receiver input voltage			± 30	V
T_A	Operating free-air temperature	MAX232	0	70	°C
		MAX232I	-40	85	

electrical characteristics over recommended ranges of supply voltage and operating free-air temperature (unless otherwise noted) (see Note 3 and Figure 4)

PARAMETER	TEST CONDITIONS	MIN	TYP‡	MAX	UNIT
I_{CC} Supply current	$V_{CC} = 5.5$ V, All outputs open, $T_A = 25^\circ\text{C}$		8	10	mA

‡ All typical values are at $V_{CC} = 5$ V and $T_A = 25^\circ\text{C}$.

NOTE 3: Test conditions are C1–C4 = 1 μF at $V_{CC} = 5$ V ± 0.5 V.



POST OFFICE BOX 655303 • DALLAS, TEXAS 75265

เอกสารนี้เป็นเอกสารที่สงวนไว้สำหรับการใช้งานเพื่อการศึกษาเท่านั้น ไม่อนุญาตให้นำไปใช้ประโยชน์ด้านการค้า
ไม่ว่ากรณีใดๆ ทั้งสิ้น อีกทั้งห้ามมิให้ดัดแปลงเนื้อหา และต้องอ้างอิงถึงเจ้าของเอกสารทุกครั้งที่มีการนำไปใช้

MAX232, MAX232I DUAL EIA-232 DRIVERS/RECEIVERS

SLLS047I – FEBRUARY 1989 – REVISED OCTOBER 2002

DRIVER SECTION

electrical characteristics over recommended ranges of supply voltage and operating free-air temperature range (see Note 3)

PARAMETER		TEST CONDITIONS	MIN	TYP†	MAX	UNIT
V _{OH}	High-level output voltage	T1OUT, T2OUT R _L = 3 kΩ to GND	5	7		V
V _{OL}	Low-level output voltage‡	T1OUT, T2OUT R _L = 3 kΩ to GND		-7	-5	V
r _o	Output resistance	T1OUT, T2OUT V _{S+} = V _{S-} = 0, V _O = ±2 V	300			Ω
I _{OS} §	Short-circuit output current	T1OUT, T2OUT V _{CC} = 5.5 V, V _O = 0		±10		mA
I _{IS}	Short-circuit input current	T1IN, T2IN V _I = 0			200	μA

† All typical values are at V_{CC} = 5 V, T_A = 25°C.

‡ The algebraic convention, in which the least positive (most negative) value is designated minimum, is used in this data sheet for logic voltage levels only.

§ Not more than one output should be shorted at a time.

NOTE 3: Test conditions are C1–C4 = 1 μF at V_{CC} = 5 V ± 0.5 V.

switching characteristics, V_{CC} = 5 V, T_A = 25°C (see Note 3)

PARAMETER		TEST CONDITIONS	MIN	TYP	MAX	UNIT
SR	Driver slew rate	R _L = 3 kΩ to 7 kΩ, See Figure 2			30	V/μs
SR(t)	Driver transition region slew rate	See Figure 3		3		V/μs
	Data rate	One TOUT switching		120		kbit/s

NOTE 3: Test conditions are C1–C4 = 1 μF at V_{CC} = 5 V ± 0.5 V.

RECEIVER SECTION

electrical characteristics over recommended ranges of supply voltage and operating free-air temperature range (see Note 3)

PARAMETER		TEST CONDITIONS	MIN	TYP†	MAX	UNIT
V _{OH}	High-level output voltage	R1OUT, R2OUT I _{OH} = -1 mA	3.5			V
V _{OL}	Low-level output voltage‡	R1OUT, R2OUT I _{OL} = 3.2 mA			0.4	V
V _{IT+}	Receiver positive-going input threshold voltage	R1IN, R2IN V _{CC} = 5 V, T _A = 25°C		1.7	2.4	V
V _{IT-}	Receiver negative-going input threshold voltage	R1IN, R2IN V _{CC} = 5 V, T _A = 25°C	0.8	1.2		V
V _{hys}	Input hysteresis voltage	R1IN, R2IN V _{CC} = 5 V	0.2	0.5	1	V
r _i	Receiver input resistance	R1IN, R2IN V _{CC} = 5 V, T _A = 25°C	3	5	7	kΩ

† All typical values are at V_{CC} = 5 V, T_A = 25°C.

‡ The algebraic convention, in which the least positive (most negative) value is designated minimum, is used in this data sheet for logic voltage levels only.

NOTE 3: Test conditions are C1–C4 = 1 μF at V_{CC} = 5 V ± 0.5 V.

switching characteristics, V_{CC} = 5 V, T_A = 25°C (see Note 3 and Figure 1)

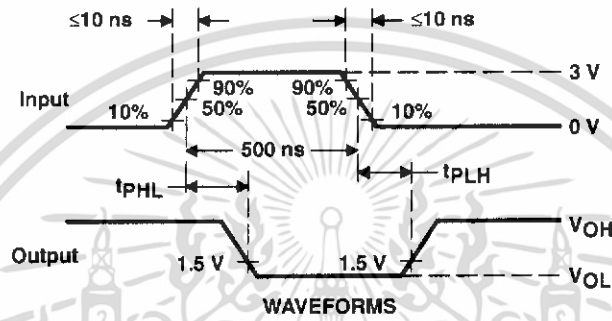
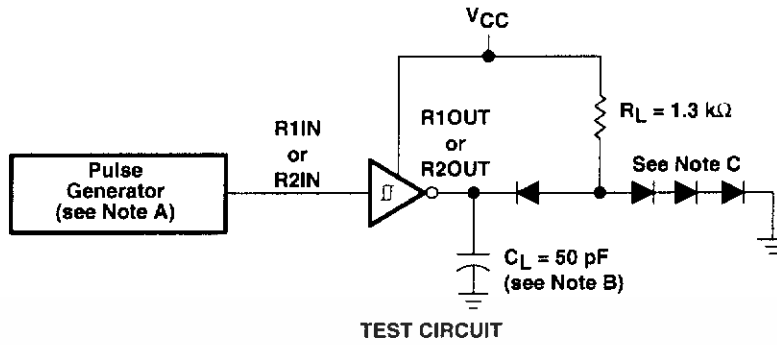
PARAMETER		TYP	UNIT
t _{PLH(R)}	Receiver propagation delay time, low- to high-level output	500	ns
t _{PHL(R)}	Receiver propagation delay time, high- to low-level output	500	ns

NOTE 3: Test conditions are C1–C4 = 1 μF at V_{CC} = 5 V ± 0.5 V.



POST OFFICE BOX 655303 • DALLAS, TEXAS 75265

PARAMETER MEASUREMENT INFORMATION



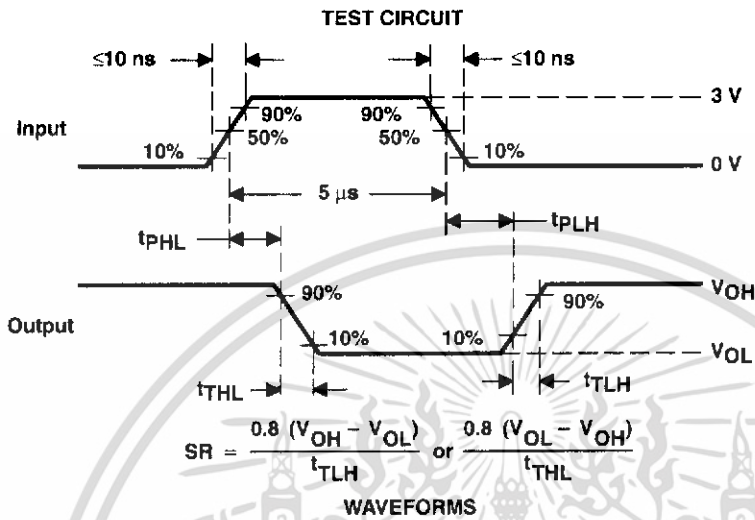
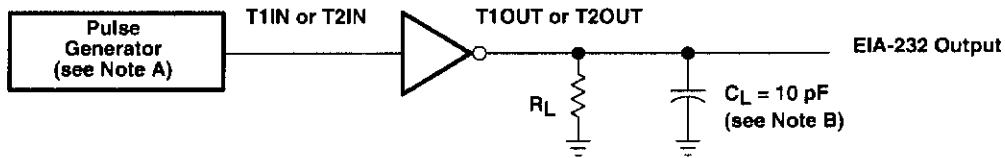
- NOTES: A. The pulse generator has the following characteristics: $Z_O = 50 \Omega$, duty cycle $\leq 50\%$.
 B. C_L includes probe and jig capacitance.
 C. All diodes are 1N3064 or equivalent.

Figure 1. Receiver Test Circuit and Waveforms for t_{PHL} and t_{PLH} Measurements

MAX232, MAX2321 DUAL EIA-232 DRIVERS/RECEIVERS

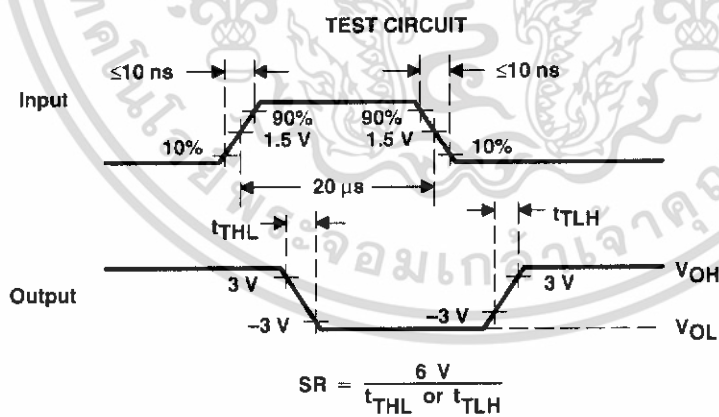
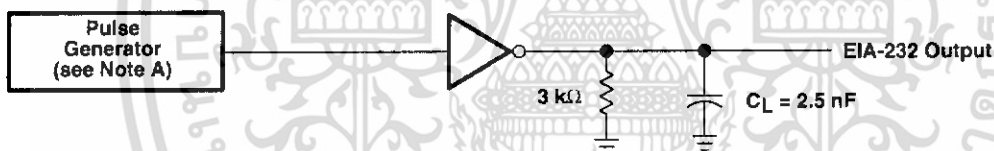
SLLS0471 – FEBRUARY 1989 – REVISED OCTOBER 2002

PARAMETER MEASUREMENT INFORMATION



- NOTES: A. The pulse generator has the following characteristics: $Z_O = 50 \Omega$, duty cycle $\leq 50\%$.
B. C_L includes probe and jig capacitance.

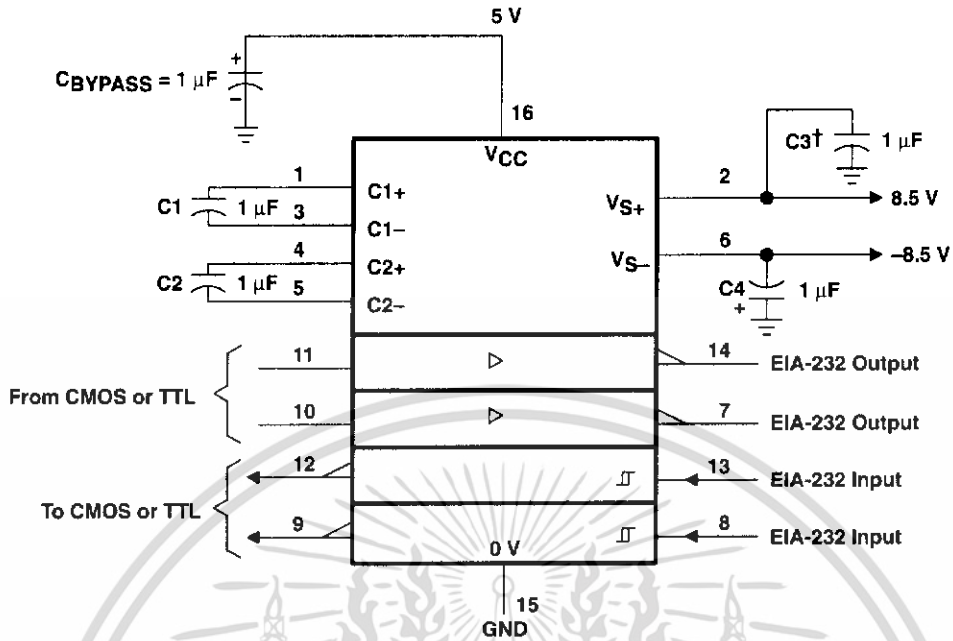
Figure 2. Driver Test Circuit and Waveforms for t_{PHL} and t_{PLH} Measurements (5- μs Input)



- NOTE A: The pulse generator has the following characteristics: $Z_O = 50 \Omega$, duty cycle $\leq 50\%$.

Figure 3. Test Circuit and Waveforms for t_{THL} and t_{TLH} Measurements (20- μs Input)

APPLICATION INFORMATION



† C3 can be connected to V_{CC} or GND.

Figure 4. Typical Operating Circuit



POST OFFICE BOX 655303 • DALLAS, TEXAS 75265

เอกสารนี้เป็นเอกสารที่สงวนไว้สำหรับการใช้งานเพื่อการศึกษาเท่านั้น ไม่อนุญาตให้นำไปใช้ประโยชน์ด้านการค้า
ไม่ว่ากรณีใดๆ ทั้งสิ้น อีกทั้งห้ามมิให้ดัดแปลงเนื้อหา และต้องอ้างอิงถึงเจ้าของเอกสารทุกครั้งที่มีการนำไปใช้

IMPORTANT NOTICE

Texas Instruments Incorporated and its subsidiaries (TI) reserve the right to make corrections, modifications, enhancements, improvements, and other changes to its products and services at any time and to discontinue any product or service without notice. Customers should obtain the latest relevant information before placing orders and should verify that such information is current and complete. All products are sold subject to TI's terms and conditions of sale supplied at the time of order acknowledgment.

TI warrants performance of its hardware products to the specifications applicable at the time of sale in accordance with TI's standard warranty. Testing and other quality control techniques are used to the extent TI deems necessary to support this warranty. Except where mandated by government requirements, testing of all parameters of each product is not necessarily performed.

TI assumes no liability for applications assistance or customer product design. Customers are responsible for their products and applications using TI components. To minimize the risks associated with customer products and applications, customers should provide adequate design and operating safeguards.

TI does not warrant or represent that any license, either express or implied, is granted under any TI patent right, copyright, mask work right, or other TI intellectual property right relating to any combination, machine, or process in which TI products or services are used. Information published by TI regarding third-party products or services does not constitute a license from TI to use such products or services or a warranty or endorsement thereof. Use of such information may require a license from a third party under the patents or other intellectual property of the third party, or a license from TI under the patents or other intellectual property of TI.

Reproduction of information in TI data books or data sheets is permissible only if reproduction is without alteration and is accompanied by all associated warranties, conditions, limitations, and notices. Reproduction of this information with alteration is an unfair and deceptive business practice. TI is not responsible or liable for such altered documentation.

Resale of TI products or services with statements different from or beyond the parameters stated by TI for that product or service voids all express and any implied warranties for the associated TI product or service and is an unfair and deceptive business practice. TI is not responsible or liable for any such statements.

Mailing Address:

Texas Instruments
Post Office Box 655303
Dallas, Texas 75265

Copyright © 2002, Texas Instruments Incorporated

เอกสารนี้เป็นเอกสารที่สงวนไว้สำหรับการใช้งานเพื่อการศึกษาเท่านั้น ไม่อนุญาตให้นำไปใช้ประโยชน์ด้านการค้า
ไม่ว่ากรณีใดๆ ทั้งสิ้น อีกทั้งห้ามมิให้ดัดแปลงเนื้อหา และต้องอ้างอิงถึงเจ้าของเอกสารทุกครั้งที่มีการนำไปใช้



Z00607MA

STANDARD

0.8A TRIAC

Table 1: Main Features

Symbol	Value	Unit
$I_{T(RMS)}$	0.8	A
V_{DRM}/V_{RRM}	600	V
$I_{GT} (Q_1)$	5	mA

DESCRIPTION

The Z00607MA is suitable for low power AC switching applications, such as fan speed, small light controllers...

Thanks to low gate triggering current, it can be directly driven by microcontrollers.

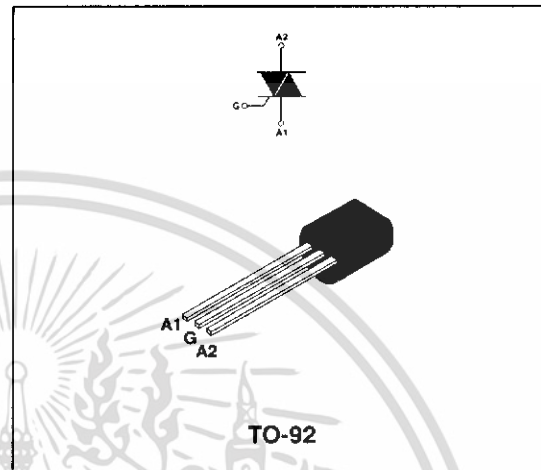


Table 2: Order Codes

Part Numbers	Marking
Z00607MA 1BA2	Z0607MA
Z00607MA 2BL2	Z0607MA
Z00607MA 5BL2	Z0607MA

Table 3: Absolute Maximum Ratings

Symbol	Parameter	Value	Unit	
$I_{T(RMS)}$	RMS on-state current (full sine wave)	$T_j = 50^\circ\text{C}$ 0.8	A	
I_{TSM}	Non repetitive surge peak on-state current (full cycle, T_j initial = 25°C)	F = 50 Hz t = 20 ms	9	A
		F = 60 Hz t = 16.7 ms	9.5	
i^2t	i^2t Value for fusing	$t_p = 10$ ms	0.45	A^2s
dI/dt	Critical rate of rise of on-state current $I_G = 2 \times I_{GT}$, $t_r \leq 100$ ns	F = 120 Hz $T_j = 110^\circ\text{C}$	20	A/ μs
I_{GM}	Peak gate current	$t_p = 20$ μs $T_j = 110^\circ\text{C}$	1	A
$P_{G(AV)}$	Average gate power dissipation	$T_j = 110^\circ\text{C}$	0.1	W
T_{stg} T_j	Storage junction temperature range Operating junction temperature range		- 40 to + 150 - 40 to + 110	$^\circ\text{C}$

Tables 4: Electrical Characteristics (T_j = 25°C, unless otherwise specified)

Symbol	Test Conditions	Quadrant		Value	Unit
I _{GT} (1)	V _D = 12 V R _L = 30 Ω	I - II - III	MAX.	5	mA
		IV		7	
V _{GT}		ALL	MAX.	1.3	V
V _{GD}	V _D = V _{DRM} R _L = 3.3 kΩ T _j = 110°C	ALL	MIN.	0.2	V
I _H (2)	I _T = 200 mA		MAX.	5	mA
I _L	I _G = 1.2 I _{GT}	I - III - IV	MAX.	10	mA
		II		20	
dV/dt (2)	V _D = 67 %V _{DRM} gate open T _j = 110°C		MIN.	10	V/μs
(dl/dt) _c (2)	(dV/dt) _c = 0.35 A/ms T _j = 110°C		MIN.	1.5	A/ms

Table 5: Static Characteristics

Symbol	Test Conditions		Value	Unit		
V _{TM} (2)	I _{TM} = 1.1 A	t _p = 380 μs	T _j = 25°C	MAX.	1.5	V
V _{to} (2)	Threshold voltage		T _j = 110°C	MAX.	0.95	V
R _d (2)	Dynamic resistance		T _j = 110°C	MAX.	420	mΩ
I _{DRM} I _{RRM}	V _{DRM} = V _{RRM} = 600 V		T _j = 25°C	MAX.	5	μA
			T _j = 110°C		0.1	mA

Note 1: minimum I_{GT} is guaranteed at 5% of I_{GT} max.

Note 2: for both polarities of A2 referenced to A1.

Table 6: Thermal resistances

Symbol	Parameter	Value	Unit
R _{th(j-l)}	Junction to lead (A.C.)	60	°C/W
R _{th(j-a)}	Junction to ambient	150	°C/W

Figure 1: Maximum power dissipation versus RMS on-state current (full cycle)

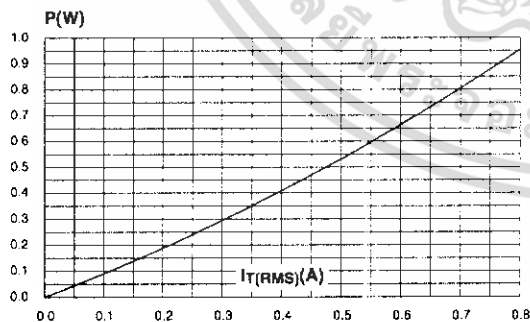


Figure 2: RMS on-state current versus ambient temperature (full cycle)

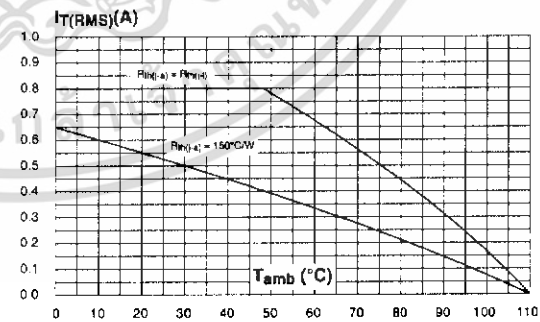


Figure 3: Relative variation of thermal impedance versus pulse duration

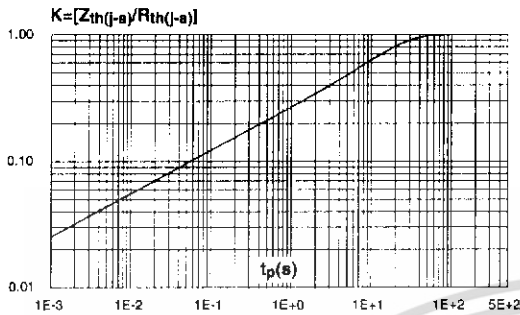


Figure 4: Relative variation of gate trigger current, holding current and latching current versus junction temperature (typical values)

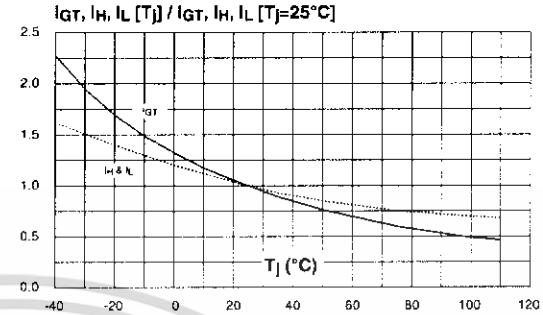


Figure 5: Surge peak on-state current versus number of cycles

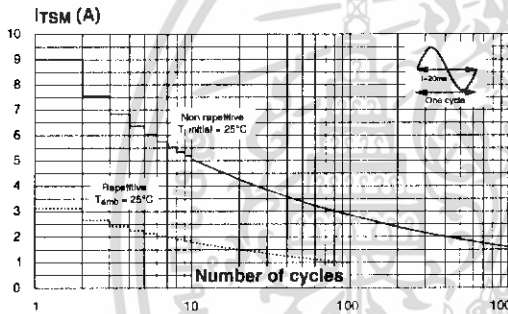


Figure 6: Non-repetitive surge peak on-state current for a sinusoidal pulse with width tp < 10 ms and corresponding value of I²t

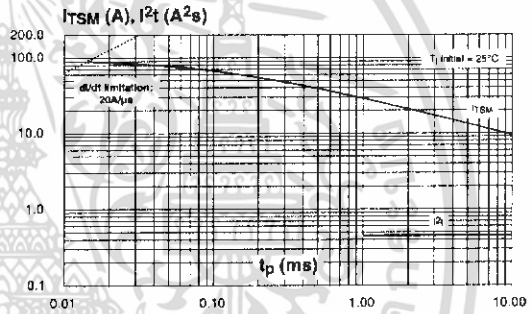


Figure 7: On-state characteristics (maximum values)

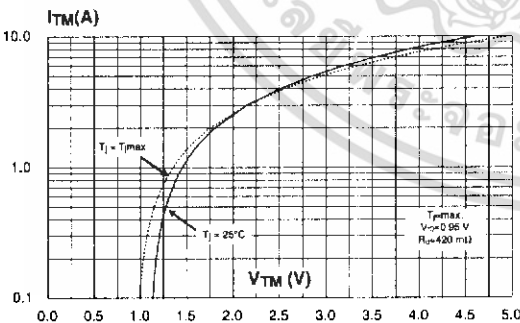


Figure 8: Relative variation of critical rate of decrease of main current versus (dV/dt)c (typical values)

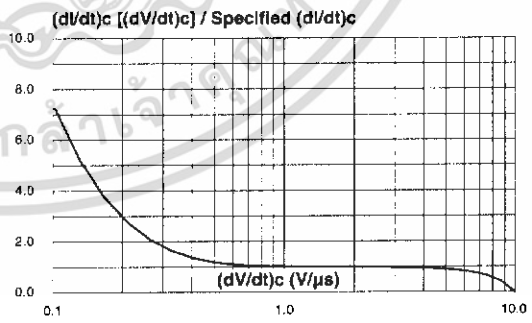


Figure 9: Relative variation of critical rate of decrease of main current versus junction temperature

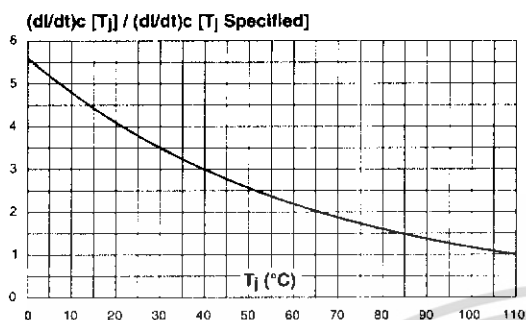


Figure 10: Ordering Information Scheme

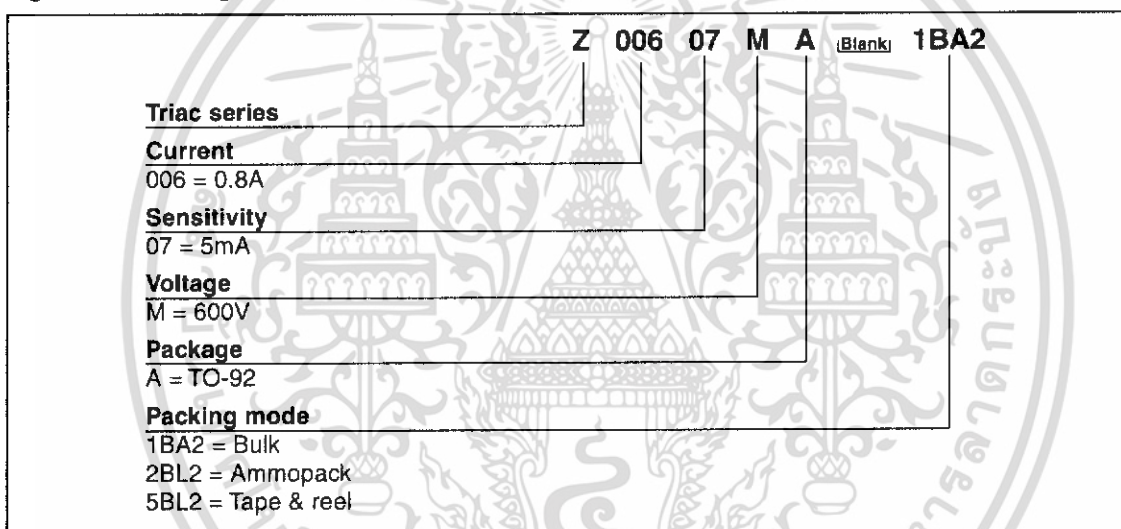


Table 7: Product Selector

Part Number	Voltage	Sensitivity	Type	Package
Z00607MA	600 V	5 mA	Standard	TO-92

Figure 11: TO-92 Package Mechanical Data

REF.	DIMENSIONS					
	Millimeters			Inches		
	Min.	Typ.	Max.	Min.	Typ.	Max.
A		1.35			0.053	
B			4.70			0.185
C		2.54			0.100	
D	4.40			0.173		
E	12.70			0.500		
F			3.70			0.146
a			0.50			0.019

Table 8: Ordering Information

Ordering type	Marking	Package	Weight	Base qty	Delivery mode
Z00607MA 1BA2	Z0607MA	TO-92	0.2 g	2500	Bulk
Z00607MA 2BL2	Z0607MA			2000	Ammopack
Z00607MA 5BL2	Z0607MA			2000	Tape & reel

Table 9: Revision History

Date	Revision	Description of Changes
Oct-2001	4	Last update.
25-Mar-2005	5	Package: TO-92 tape & reel delivery mode 5BL2 added.
21-Jun-2005	6	Markings updated from Z006xxxx to Z06xxxx
13-Sep-2005	7	Z00607MA 2BL2: marking corrected from 00607mA to Z0607MA